

# สูนย์บริการเทดโนโลยีน้ำบาดาล ดณะวิทยาสาสตร์ มหาวิทยาลัยเชียงใหม่

239 กนนหัวยแก้ว ตำบลสุเทพ อำเภอเมือง จังหวัดเชียงใหม่ 50200

โทรศัพท์/โทรสาร 053-943480

URL: www.gtsc.science.cmu.ac.th

E mail: gtsc@science.cmu.ac.th

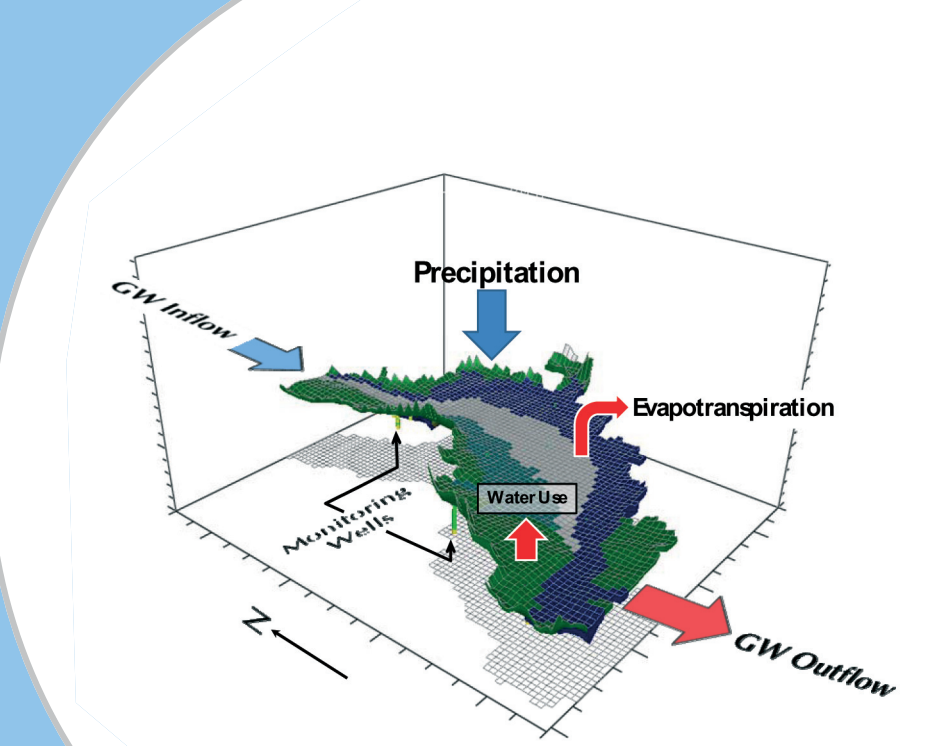
# ธายงานสรุปสำหรับผู้บริหาร

### **Executive summary Report**

โดรงการติดตามตรวจสอบการปนเปื้อนของน้ำบาดาลจากสารอินทรีย์ใอระเหย บริเวณนิดมอุตสาหกรรมภาดเหนือ อำเภอเมือง จังหวัดลำพูน

**Monitoring of Groundwater Contamination from Volatile Organic Compounds in** 

Northern Region Industrial Estate, Mueang District, Lamphun Province













เสนอ

กรมทรัพยากรน้ำบาดาล



โดย

มหาวิทยาลัยเชียงใหม่

มีนาคม 2551

## โครงการติดตามตรวจสอบการปนเปื้อนของน้ำบาดาลจากสารอินทรีย์ใอระเหย บริเวณนิอุตสาหกรรมภาคเหนือ อำเภอเมือง จังหวัดลำพูน

ผู้จัดทำ กรมทรัพยากรน้ำบาดาล

อาคารกรมส่งเสริมคุณภาพสิ่งแวดล้อม ชั้น 8, 9 เลขที่ 49 ซอย 30 เขตพญาไท กรุงเทพฯ 10400 โทรศัพท์ 0-2299-3900 โทรสาร 0-2299-3927

http:www.dgr.go.th

ผู้ศึกษา ศูนย์บริการเทคโนโลยีน้ำบาดาล มหาวิทยาลัยเชียงใหม่

239 ถนนหัวยแก้ว ตำบลสุเทพ อำเภอเมือง จังหวัดเชียงใหม่

โทรศัพท์/โทรสาร 0-5394-3480 http:www.gtsc.science.cmu.ac.th

การอ้างอิง กรมทรัพยากรน้ำบาดาล 2551.

โครงการติดตามตรวจสอบการปนเปื้อนของน้ำบาดาลจากสารอินทรีย์ใอระเหย

บริเวณนิคมอุตสาหกรรมภาคเหนือ อำเภอเมือง จังหวัดลำพูน 72 หน้า

ISBN 978-974-672-284-1

คำสืบค้น รายงานสรุปสำหรับผู้บริหาร สารอินทรีย์ใอระเหย VOC

พิมพ์เมื่อ มีนาคม 2551

จำนวนที่พิมพ์ 50 เล่ม

จำนวนหน้า 72 หน้า

ผู้พิมพ์ ปิยนุช

โทรศัพท์ 0-5394-3480

สงวนลิขสิทธิ์ในประเทศไทย ตาม พ.ร.บ. ลิขสิทธิ์ พ.ศ. 2537 โดยกรมทัพยากรน้ำบาดาล

# รายงานสรุปสำหรับผู้บริหาร

# โครงการติดตามตรวจสอบการปนเปื้อนของน้ำบาดาล จากสารอินทรีย์ใอระเหย บริเวณนิคมอุตสาหกรรมภาคเหนือ อำเภอเมือง จังหวัดลำพูน

เสนอต่อ กรมทรัพยากรน้ำบาดาล

มีนาคม 2551

โดย มหาวิทยาลัยเชียงใหม่





# รายงานสรุปสำหรับผู้บริหาร โครงการติดตามตรวจสอบการปนเปื้อนของน้ำบาดาล จากสารอินทรีย์ใอระเหย บริเวณนิคมอุตสาหกรรมภาคเหนือ อำเภอเมือง จังหวัดลำพูน

### คณะกรรมการ กรมทรัพยากรน้ำบาดาล

#### คณะกรรมการพิจารณาคัดเลือกที่ปรึกษา

นาง โศภิษฐ์ ภิรมย์เลิศ
 นาง อรนุช หล่อเพ็ญศรี
 นาย สุดใจ วงชารี
 นาย วีระพล เบ็ญจมาลา
 นาง อมรรัตน์ ภู่อิ่ม
 นักธรณีวิทยา 8ว.
 นักวิทยาศาสตร์ 8ว.
 นาง อมรรัตน์ ภู่อิ่ม
 เจ้าพนักงานธุรการ 5

#### คณะกรรมการตรวจรับการจ้าง

นาย ชัยยง คงคาอุดม นักธรณีวิทยา 7ว.
 นาย บรรจง พรมจันทร์ นักธรณีวิทยา 7ว.
 นาย วัฒนพงศ์ มนตรี วิศวกร 7ว.
 นางสาว หทัยรัตน์ ชัยปรีชาพล นักวิทยาศาสตร์ 7ว.
 นางสาว อุไร บางยี่ขัน เจ้าพนักงานพัสดุ 5

# รายงานสรุปสำหรับผู้บริหาร โครงการติดตามตรวจสอบการปนเปื้อนของน้ำบาดาล จากสารอินทรีย์ใอระเหย บริเวณนิคมอุตสาหกรรมภาคเหนือ อำเภอเมือง จังหวัดลำพูน

#### คณะทำงาน มหาวิทยาลัยเชียงใหม่

1. ผศ. คร. ฟองสวาท สุวคนธ์ สิงหราชวราพันธ์\* หัวหน้าโครงการและผู้เชี่ยวชาญด้านอุทกธรณีวิทยา

2. ผศ. คร.วุฒิ อุตตโม\* ผู้เชี่ยวชาญด้านธรณีวิทยา

3. ผศ. คร. จิตเทพ ประสิทธิ์อยู่ศีล\*\* ผู้เชี่ยวชาญด้านวิศวกรรมสิ่งแวคล้อม

4. คร. สุนันทา วังกานต์\* ผู้เชี่ยวชาญด้านเกมีวิเคราะห์

5. คร. ศตวรรษ แสนทน\* ผู้เชี่ยวชาญด้านแบบจำลองคณิตศาสตร์

6. คร. สราวุธ จันทรประเสริฐ\* นักธรณีวิทยาโครงสร้าง

7. นาย เอกจำเริญ จันทร์ดี\* นักธรณีฟิสิกส์

8. นาย บุญญูสิทธิ์ คิ้วควงตา\* นักอุทกธรณีวิทยา

9. นาย ภานุพงศ์ จึงสถิตย์พร\*\* วิศวกรสิ่งแวคล้อม

10. อ. ใพสิฐ พานิชย์กุล\*\*\* นักกฎหมายสิ่งแวดล้อม

11. นางสาว ปิยนุช โพธิเกิด\* ผู้ประสานงาน12. นางสาว ศุภรัตน์ ศรีลา\* เลขานุการ

หมายเหตุ: \* คณะวิทยาศาสตร์ มหาวิทยาลัยเชียงใหม่

\*\* คณะวิศวกรรมศาสตร์ มหาวิทยาลัยเชียงใหม่

\*\*\* คณะนิติศาสตร์ มหาวิทยาลัยเชียงใหม่

# รายงานสรุปสำหรับผู้บริหาร

#### 1. หลักการและเหตุผล

นิคมอุตสาหกรรมภาคเหนือ เป็นนิคมอุตสาหกรรมแห่งแรกในส่วนภูมิภาค ก่อสร้างแล้วเสร็จ เมื่อเดือนมีนาคม พ.ศ. 2528 ตั้งอยู่ที่ตำบลบ้านกลาง อำเภอเมือง จังหวัดลำพูน มีจำนวนคนงานที่ทำงาน อยู่ในโรงงานอุตสาหกรรมภายในพื้นที่มากกว่า 37,000 คน (ข้อมูลปี พศ. 2549) อุตสาหกรรมที่ประกอบ กิจการอยู่ ได้แก่ อุตสาหกรรมชิ้นส่วนอิเล็กทรอนิกส์ อุตสาหกรรมชิ้นส่วนเครื่องมือเครื่องจักร อุตสาหกรรมผลผลิตทางการเกษตร อุตสาหกรรมเครื่องหนัง อุตสาหกรรมอาหาร อุตสาหกรรมเครื่องไม้ อุตสาหกรรมเครื่องประดับ และอื่น ๆ

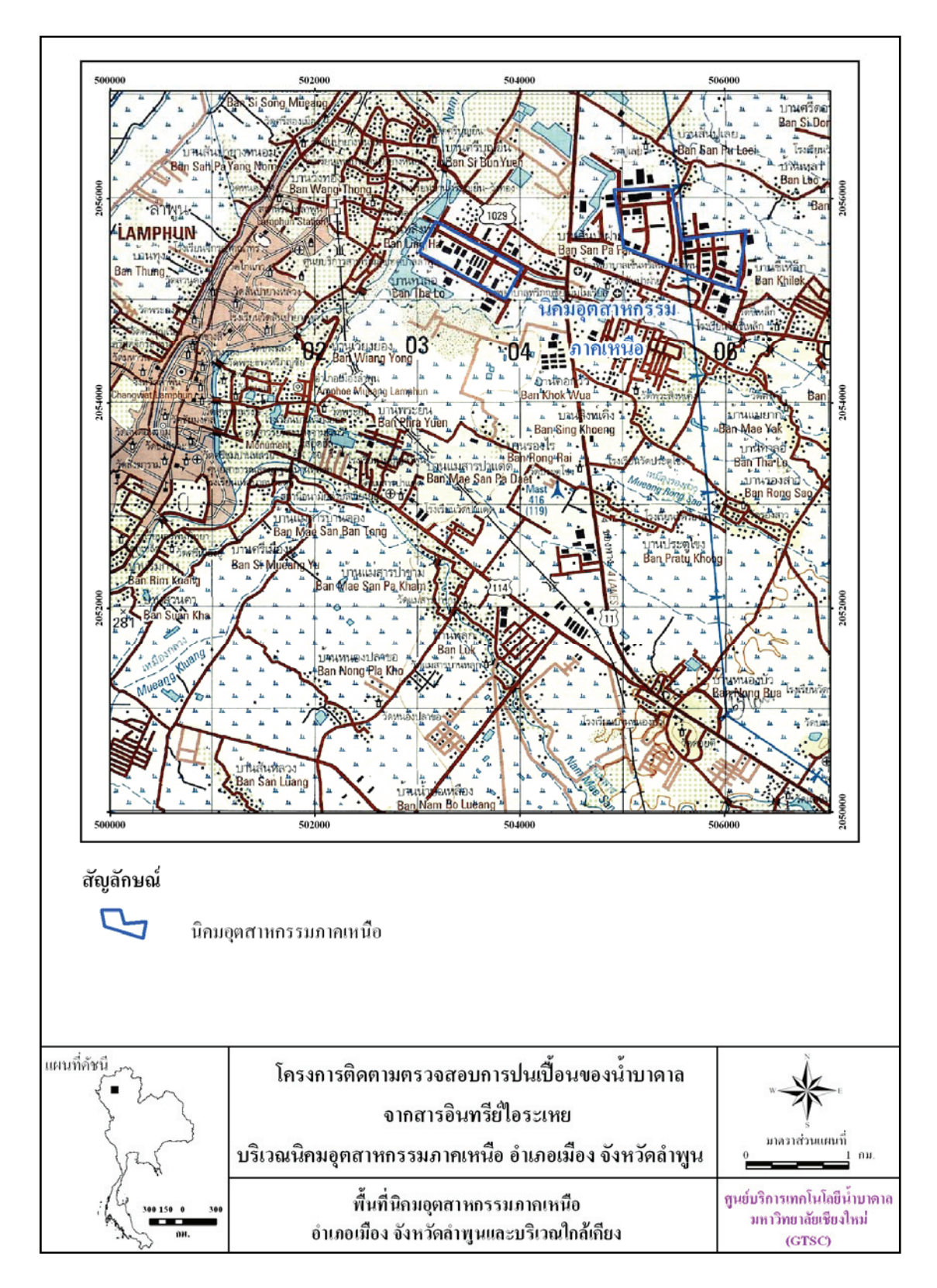
เมื่อปี พ.ศ. 2541 ศูนย์วิจัยและฝึกอบรมค้านสิ่งแวคล้อม (ERTC) กรมส่งเสริมคุณภาพ สิ่งแวคล้อม ได้ทำการสำรวจบริเวณนิคมอุตสาหกรรมภาคเหนือ และพบว่ามีการปนเปื้อนของคินและ น้ำใต้คินในระดับตื้นจากสารอินทรีย์ใอระเหยจำพวกใตรคลอโรเอธิลีน โทลูอีน เอทิลเมทิลคีโตน และอื่น ๆ (ทั้งนี้สารอินทรีย์ใอระเหย จำพวกใตรคลอโรเอธิลีน มีรายงานว่าเป็นสารก่อมะเร็ง) ซึ่งการ แก้ไขหรือบำบัคการปนเปื้อนของสารคังกล่าวนี้ทำใด้ยากมาก และใช้งบประมาณสูง ปัจจุบันยังไม่มีการ ดำเนินงานใดๆในพื้นที่ดังกล่าว ดังนั้นการติดตามตรวจสอบเพื่อประเมินการปนเปื้อนของสารอินทรีย์ ใอระเหย ในน้ำใต้ดินระดับตื้น และน้ำบาคาล บริเวณนิคมอุตสาหกรรมภาคเหนือ จึงจำเป็นอย่างยิ่ง เพื่อที่จะได้วางแผนการติดตามตรวจสอบในระยะยาว รวมทั้งการหามาตรการแนวทางในการป้องกันและ บำบัคฟื้นฟู

#### 2. วัตถุประสงค์ของการศึกษา

- 1) เพื่อตรวจสอบระดับและขอบเขตการปนเปื้อนของน้ำบาดาล จากสารประกอบอินทรีย์ ใอระเหย ในบริเวณนิคมอุตสาหกรรมภาคเหนือ จังหวัดลำพูน และพื้นที่ใกล้เคียง
- 2) เพื่อประเมินสถานการณ์การปนเปื้อน รวมทั้งแนวโน้มการกระจายตัว และคาดการณ์ ผลกระทบหรืออันตราย ที่มีต่อสุขภาพอนามัยของประชาชนที่มีโอกาสสัมผัสทั้งทางตรงและทางอ้อม
  - 3) เพื่อศึกษาหาแนวทางของการฟื้นฟูแหล่งน้ำบาดาลหากพบการปนเปื้อน

### พื้นที่ศึกษา

พื้นที่นิคมอุตสาหกรรมภาคเหนือ อำเภอเมือง จังหวัดลำพูนและบริเวณใกล้เคียง (รูปที่ 1)



รูปที่ 1 พื้นที่นิคมอุตสาหกรรมภาคเหนือ อำเภอเมือง จังหวัดลำพูนและบริเวณใกล้เคียง

#### 4. ขอบมขตการศึกษา

- 1) ทบทวนการศึกษาและข้อมูลการปนเปื้อนที่เคยศึกษามาก่อน ตลอดจนกระบวนการผลิตทาง อุตสาหกรรม
- 2) ศึกษาลักษณะทางธรณีวิทยาและอุทกธรณีวิทยาของบริเวณพื้นที่ศึกษา โดยเฉพาะในส่วนที่ เป็นชั้นน้ำที่ไม่มีแรงดัน
- 3) สำรวจสภาพการใช้น้ำของประชาชนในพื้นที่บริเวณที่ศึกษาและใกล้เคียง และสำรวจ ภาคสนามเพื่อหาทิศทางการไหลของน้ำในทุกชั้นน้ำบาดาล โดยมีการวัดระดับปากบ่อน้ำบาดาลด้วย เครื่องและวิธีการที่เป็นมาตรฐานทางด้านวิศวกรรมสำรวจ
- 4) สำรวจธรณีฟิสิกส์โดยวิธีการวัดความต้านทานไฟฟ้า ที่ความลึก (AB/2) ไม่น้อยกว่า 100 เมตร จำนวนอย่างน้อย 40 จุด
- 5) สร้างระบบเครือข่ายบ่อสังเกตการณ์เพื่อตรวจสอบระดับและคุณภาพของน้ำบาดาลของ พื้นที่ศึกษา โดยเจาะบ่อน้ำบาดาลขนาดเส้นผ่าศูนย์กลาง 4 นิ้ว ลงท่อพีวีซี ดังนี้

ความลึก 10 เมตร	จำนวน	10	บ่อ
ความลึ๊ก 30 เมตร	จำนวน	10	บ่อ
ความลึ๊ก 50 เมตร	จำนวน	10	บ่อ

และทำการหยั่งธรณีหลุมเจาะ โดยวิธี Resistivity, SP และ Gamma เพื่อศึกษาลักษณะชั้น ดิน/หิน ภายใต้ผิวดิน

- 6) ศึกษาลักษณะทางอุทกธรณีวิทยาเพื่อแบ่งชั้นน้ำ แล้วทำการหาสมบัติทางชลศาสตร์ของชั้น น้ำบาคาลโดยการสูบทคสอบ ไม่น้อยกว่า 10 บ่อ ระยะเวลาสูบไม่น้อยกว่า 12 ชั่วโมง โดยต้องวัดระดับน้ำ จากบ่อสังเกตการณ์ ในชั้นน้ำเดียวกันไม่น้อยกว่าชั้นละ 2 บ่อ รวมทั้งทำการทคสอบด้วยสารติคตาม (Tracer test) เพื่อยืนยันทิศทางและอัตราการไหลของน้ำบาคาล และศึกษาค่าสัมประสิทธิ์การแพร่กระจาย ของมลสารในน้ำใต้ดิน
- 7) การเก็บตัวอย่างน้ำจากบ่อตื้น (บ่อวงและบ่อความลึก 10 เมตร 30 เมตร และ 50 เมตร) จำนวนไม่น้อยกว่า 60 ตัวอย่าง โดยทำการเก็บ 2 ครั้ง ตามฤดูกาล รวมแล้วไม่น้อยกว่า 120 ตัวอย่าง เพื่อทำการวิเคราะห์หาสารอินทรีย์ใจระเหย (1,1-dichloroethylene ; trans-1,2-dichloroethylene ; cis-1,2-dichloroethylene ; chloroform ; 1,2-dichloroethane ; benzene ; trichloroethylene ; toluene ; 1,1,2-trichloroethane ; tetrachloroethylene ; ethylbenzene ; p-xylene และo-xylene) และวิเคราะห์กุณภาพน้ำตามมาตรฐานน้ำดื่ม วิเคราะห์โลหะหนัก พร้อมทั้งเปรียบเทียบข้อมูลผลการวิเคราะห์กับค่ามาตรฐานในน้ำเพื่อสรุปและประเมินสถานการณ์การปนเปื้อน
- 8) จัดทำแบบจำลองเชิงมโนทัศน์ (Conceptual model) ของพื้นที่ศึกษา แล้วพัฒนาเป็น แบบจำลองคณิตศาสตร์การใหลของน้ำใต้ดิน (Groundwater flow model) และแบบจำลองการเคลื่อนที่ ของมวลสาร (Solute transport model) เพื่อใช้ทำนายการปนเปื้อนและการแพร่กระจายของสารอินทรีย์



ใอระเหย โดยให้ที่ปรึกษาเสนอซอฟแวร์ที่จะใช้ในการศึกษาโมเคลที่ออกมาล่าสุด ไม่น้อยกว่า 3 โปรแกรม พร้อมมอบลิขสิทธิ์และอุปกรณ์การทำงานให้กับกรมทรัพยากรน้ำบาคาล

- 9) วิเคราะห์และประเมินสถานการณ์การปนเปื้อน
- 10) ศึกษาและประเมินมูลค่าความเสียหายต่อน้ำบาดาล ในกรณีที่ไม่มีการบำบัดฟื้นฟู
- 11) ในกรณีที่พบการปนเปื้อนในแหล่งน้ำบาดาลและจำเป็นต้องมีการฟื้นฟู ให้เสนอแนว ทางการฟื้นฟูและบำบัดแหล่งน้ำบาดาลนั้น รวมถึงประเมินงบประมาณ และข้อดีข้อเสียของแต่ละ แนวทางด้วย หากไม่พบการปนเปื้อน ให้เสนอแนวทางและระบบการเฝ้าระวัง เพื่อติดตามสถานการณ์น้ำ บาดาลอย่างใกล้ชิดต่อไป รวมทั้งสึกษาความเกี่ยวข้องในข้อกฎหมายทั้งเรื่องความรับผิดทางแพ่งและ อาญา

#### 5. วิธีการศึกษา

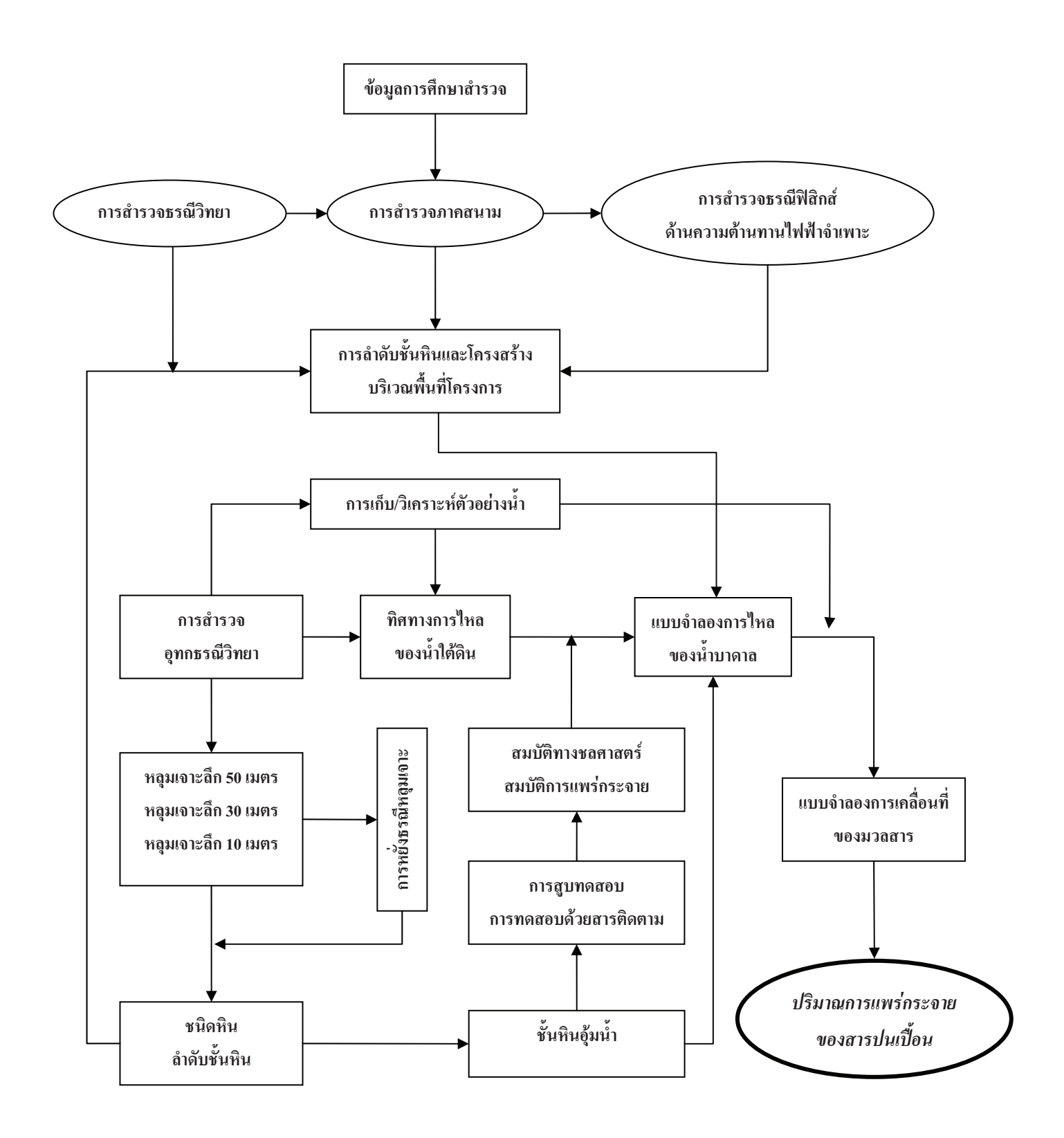
เริ่มจากขั้นตอนการศึกษารวบรวมข้อมูลเดิม การศึกษาสำรวจด้านธรณีวิทยา การศึกษาสำรวจ ด้านธรณีฟิสิกส์ และการศึกษาสำรวจด้านอุทกธรณีวิทยา แล้วนำข้อมูลทั้งหมดมาประมวลผลและสรุปผล จากนั้นจึงนำผลที่ได้มาจัดทำเป็นแบบจำลองคณิตศาสตร์ เพื่อนำไปสู่การประเมินผลในเรื่อง มูลค่าความ เสียหายต่อน้ำบาดาล รวมทั้งเสนอแนวทางการบำบัดฟื้นฟู และ/หรือ แนวทางการเฝ้าระวัง ดังแสดงในรูป ที่ 2

#### 6. สารอินทรีย์ใจระเหย

สารอินทรีย์ใอระเหย เป็นสารประกอบที่จัดอยู่ในกลุ่ม Non Aqueous Phase Liquids (NAPLs) หรือของเหลวที่ไม่ใช่น้ำ ซึ่งโดยทั่วไป NAPLs จะหมายถึง ของไหลที่มีลักษณะเป็นสารอินทรีย์ ที่มี ความสามารถในการละลายในน้ำได้ต่ำ NAPLs จะเคลื่อนที่ในลักษณะที่แยกออกมาต่างหาก และมักจะ มองเห็นได้ด้วยตาเปล่า ซึ่งตรงข้ามกับสารปนเปื้อนอื่นๆ ที่ละลายในน้ำได้ และเคลื่อนที่ไปพร้อมกับ น้ำใต้ดิน NAPLs ถูกใช้อย่างมากในอุตสาหกรรม ดังนั้นจึงถูกพบมากในบริเวณที่ทิ้งขยะหรือของเสียจาก โรงงานอุตสาหกรรม และเนื่องจาก NAPLs เป็นสารที่มีแนวโน้มของความเป็นพิษ จึงอาจเป็นปัญหาต่อ สภาวะแวดล้อมได้

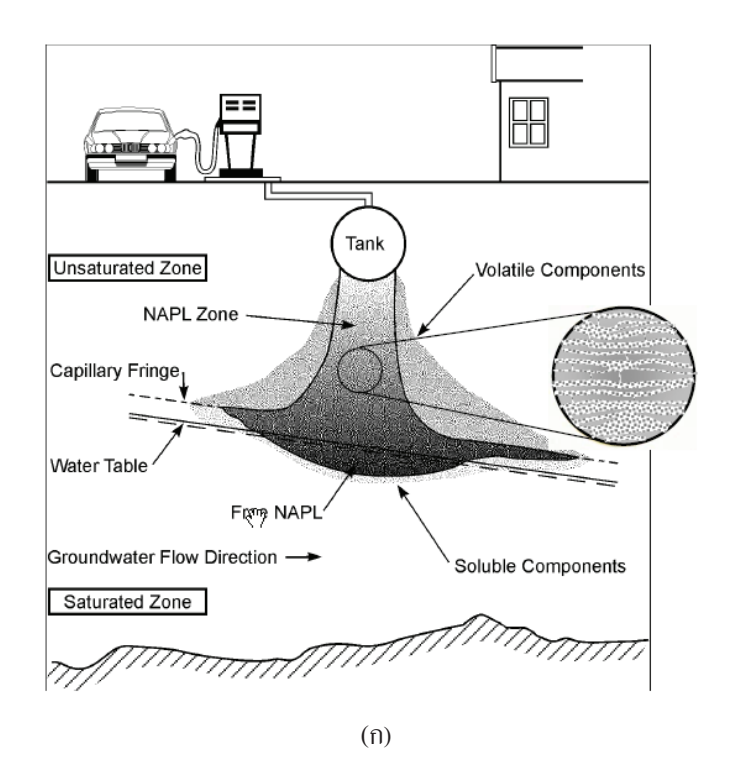
NAPLs แบ่งออกได้เป็น 2 กลุ่มย่อย คือ Light Non Aqeous Phase Liquid (LNAPL) ที่มีความ หนาแน่นน้อยกว่าน้ำ ดังนั้นจึงมักลอยอยู่และเคลื่อนที่ไปบนชั้นน้ำบาดาลที่อิ่มตัว ตัวอย่างของ LNAPL ได้แก่ gasoline benzene และ xylene อีกกลุ่มหนึ่งคือ Dense Non Aqueous Phase Liquid (DNAPL) ที่ มีความหนาแน่นมากกว่าน้ำ ดังนั้นจึงมักซึมผ่านระดับน้ำบาดาลลงไปและเคลื่อนตัวเข้าไปอยู่ในชั้นหิน อุ้มน้ำ ตัวอย่างของ DNAPL ได้แก่ TCE TCA และ PCE ทั้งนี้ลักษณะการปนเปื้อนของ NAPLs ใน ดินและในน้ำใต้ดินจะแตกต่างกันออกไป ดังแสดงในรูปที่ 3

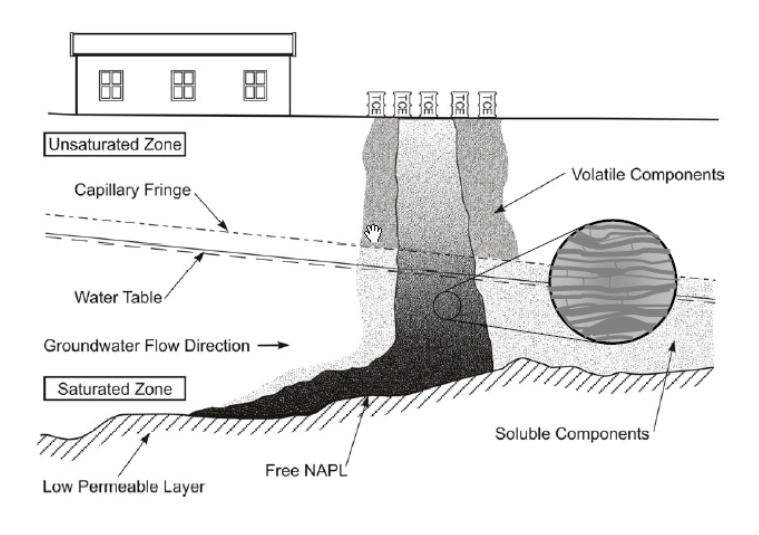




รูปที่ 2 แผนผังขั้นตอนการคำเนินงาน







 $(\mathfrak{V})$ 

รูปที่ 3 การเคลื่อนที่ของ (ก) LNAPL และ (ข) DNAPL (Mayer and Hassanizadeh, 2005)

ประเทศไทย มีมาตรฐานคณภาพน้ำใต้ดิน ซึ่งกำหนดเกณฑ์มาตรฐานของสารต่างๆ ที่อาจจะมีได้ ในน้ำบาดาล โดยไม่ส่งผลกระทบต่อสุขภาพอนามัยของประชาชน และสิ่งแวดล้อม ซึ่งในเกณฑ์มาตรฐาน ดังกล่าว ได้ระบุเกี่ยวกับปริมาณของสารอินทรีย์ใอระเหยไว้ด้วย ทั้งนี้ trichloroethylene (TCE) ซึ่งเป็น สารตัวทำละลายในน้ำยาซักแห้ง น้ำยาละลายคราบน้ำมัน หรือคราบไขมัน และเรซินต่างๆ ที่ใช้ใน พบปนเปื้อนได้บ่อยและได้รับการศึกษาค้นคว้าวิจัยมาอย่างต่อเนื่อง โดยเฉพาะใน ต่างประเทศ ในด้านผลกระทบต่อสขภาพของสัตว์ทคลองและมนษย์ TCE เป็นสารก่อมะเร็งร้ายแรงชนิด หนึ่ง (Group 2A carcinogen - probably carcinogenic to humans) ตามนิยามและการยอมรับของ International Agency for Research on Cancer (IARC) และ World Health Organization (WHO)

#### 7. การศึกษารวบรวมข้อมูลเดิม

Subtavewung and Singharajwarapan (2007) ได้ศึกษาเพื่อประเมินความเปราะบางต่อการ ปนเปื้อนของแหล่งน้ำใต้ดิน ในพื้นที่แอ่งเชียงใหม่ โดยใช้ข้อมูลทางอุทกธรณีวิทยา และใช้วิธีการ ประเมินแบบคราสติก ทั้งนี้เมื่อนำแผนที่แสคงความเปราะบางของชั้นน้ำใต้คินแอ่งเชียงใหม่ มาประยุกต์ กับพื้นที่ศึกษา พบว่า ส่วนใหญ่แล้ว ชั้นน้ำใต้ดิน มีความเปราะบางต่อการปนเปื้อนในระดับต่ำถึง ปานกลาง ยกเว้น พื้นที่บริเวณด้านตะวันตก ที่ชั้นน้ำใต้ดิน มีความเปราะบางต่อการปนเปื้อนในระดับสูง ทั้งนี้เนื่องจากบริเวณดังกล่าว มีสภาพธรณีวิทยาเป็นที่ราบน้ำท่วมถึง นอกจากนั้น หากมีการนำทิศ ทางการใหลของน้ำใต้ดินในภาพรวม ซึ่งมีทิศทางโดยประมาณ จากทิศตะวันออกไปตะวันตก หรือ ตะวันตกเฉียงใต้ เข้ามาพิจารณาร่วมด้วย จะทำให้พื้นที่บริเวณด้านตะวันตกของพื้นที่ศึกษา เป็นบริเวณที่ ควรมีการเฝ้าระวังและติดตามตรวจสอบคุณภาพน้ำอย่างสม่ำเสมอ เพื่อให้การบริหารจัดการน้ำบาดาลใน พื้นที่ดังกล่าว เป็นไปอย่างยั่งยืน

กลุ่มงานวิจัยและพัฒนาเทคโนโลยีสิ่งแวคล้อมค้านน้ำ ศูนย์วิจัยและฝึกอบรมค้านสิ่งแวคล้อม กรมส่งเสริมคณภาพสิ่งแวคล้อม โดยมีศักดิ์ มิลินทพิสมัย และคณะ (2544) รายงานถึงการพบการ ปนเปื้อนของคลอริเนทเต็ค เอ็ทธิลีน (Chlorinated Ethylene) ในน้ำใต้คินบริเวณพื้นที่นิคมอุตสาหกรรม ภาคเหนือ โดยผลการศึกษาเบื้องต้น พบว่ามีการปนเปื้อนของสารอินทรีย์ใอระเหยในดินและน้ำใต้ดิน ใน โรงงานอุตสาหกรรมอย่างน้อย 3 โรงงาน ซึ่งเป็นการปนเปื้อนของสาร trichloroethylene ; cis-1,2dichloroethylene; trans-1,2-dichloroethylene และ vinyl chloride ความเข้มข้น 7.22, 0.57, 0.35 และ 0.32 มิลลิกรัม/ลิตร ตามลำดับ โดยความเข้มข้นของสารเคมีดังกล่าวสูงกว่าที่กำหนดไว้ในมาตรฐาน คุณภาพ น้ำใต้ดิน พ.ศ. 2543

สถาบันธรรมรัฐเพื่อการพัฒนาสังคมและสิ่งแวคล้อม (2549) รายงานผลการศึกษาของ โครงการวิจัยเรื่อง "ธรรมาภิบาลและการมีส่วนร่วมของประชาชนในการจัดการด้านสิ่งแวดล้อม" พบ ปัญหาการเสื่อมโทรมของทรัพยากรธรรมชาติและสิ่งแวคล้อมจากโรงงานอุตสาหกรรม โดยเฉพาะอย่าง ยิ่งปัญหาของการปนเปื้อนที่เกิดจากการผลิตของอุตสาหกรรมอิเล็กทรอนิกส์ บริเวณพื้นที่



ฟองสวาท สุวคนธ์ สิงหราชวราพันธ์ และคณะ (2549) ได้ทำการวิเคราะห์ตัวอย่างน้ำใต้ดินระดับ ตื้น ในโครงการ "ข้อเสนอแนวทางการประเมินสถานการณ์การปนเปื้อนสารเคมีในดินและน้ำใต้ดิน กรณีตัวอย่างการปนเปื้อนสารประกอบอินทรีย์ใอระเหยในน้ำใต้ดิน บริเวณชุมชนรอบพื้นที่ อุตสาหกรรม จังหวัดลำพูน" และได้แสดงผลการวิเคราะห์ตัวอย่างน้ำใต้ดินระดับตื้น ที่เกีบจากชุมชนรอบนิคมอุตสาหกรรม จำนวน 16 ตำแหน่ง จากการเก็บ 3 ครั้ง พบว่า มีน้ำใต้ดินถึง 12 ตำแหน่งที่ถูก ปนเปื้อนด้วยสารอินทรีย์ใอระเหย โดยการปนเปื้อนในแต่ละตำแหน่งแตกต่างกันออกไป ทั้งชนิดและ ปริมาณของสารอินทรีย์ใอระเหยที่พบ

บริษัท เมทริกซ์ แอสโซสิเอทส์ จำกัด ได้ศึกษาและรวบรวมข้อมูลพื้นฐาน และจัดทำแผนป้องกัน และฟื้นฟูการปนเปื้อนของสารอินทรีย์ไอระเหยในดินและน้ำใต้ดิน โดยจัดทำแบบจำลองการไหลของ น้ำใต้ดิน บริเวณพื้นที่นิคมอุตสาหกรรม จังหวัดลำพูน (กรมส่งเสริมคุณภาพสิ่งแวดล้อม, 2547) ซึ่งผล การจำลองในสภาพธรรมชาติ พบว่าการไหลของน้ำใต้ดินของพื้นที่ศึกษามีทิศทางการไหลจากพื้นที่ทางทิศตะวันออกไปทางทิศตะวันตกผ่านนิคมอุตสาหกรรมภาคเหนือ ออกสู่น้ำแม่กวง และบางส่วนไหลลอด น้ำแม่กวงไปสู่ชั้นหินอุ้มน้ำในเขตตัวเมืองลำพูน

สตวรรษ แสนทน และคณะ (2550) ได้จัดทำแบบจำลองการไหลของน้ำใต้ดิน รวมทั้งจัดทำ แบบจำลองสาธิตแสดงการเคลื่อนที่และการแพร่กระจายตัวของสารอินทรีย์ในดินและน้ำใต้ดิน เพื่อศึกษา ผลกระทบที่อาจเกิดขึ้น โดยจำลองสมมุติให้มีการปนเปื้อนของสาร Trichloroethylene (TCE) แล้ว แสดงผลการจำลอง ณ เวลาต่างๆ กัน ได้แก่ 5, 10, 15 และ 30 ปี อย่างไรก็ตามผลการจำลองที่แสดงไว้ใน รายงาน คณะผู้ศึกษาได้ระบุว่า ไม่ใช่การเคลื่อนที่และแพร่กระจายของ TCE ในสภาพความเป็นจริง เนื่องจากค่าพารามิเตอร์ที่ใช้ในการจำลอง เป็นเพียงค่าที่สมมุติขึ้น ดังนั้น ผลการจำลองดังกล่าวจึงเป็น เพียงแนวโน้มของขอบเขตและทิศทางการปนเปื้อนเท่านั้น

#### 8. สภาพธรณีวิทยาบริเวณพื้นที่ศึกษาและพื้นที่ใกล้เคียง

พื้นที่ศึกษาตั้งอยู่ทางด้านใต้ของแอ่งเชียงใหม่และอยู่ในหน่วยหินตะกอนยุคควอเทอร์นารี หรือ อยู่ในพื้นที่ราบของแอ่งสะสมตะกอนมหายุคซีโนโซอิก (Cenozoic basin) ชั้นตะกอนยุคควอเทอร์นารี สามารถแบ่งได้เป็น 2 ส่วนตามลักษณะการเกิดคือ (1) ตะกอนที่สะสมในที่ราบถ้านอะพักและตะกอนที่ สะสมในที่ราบน้ำท่วมถึง (2) ชั้นตะกอนที่ตกทับถมในบริเวณที่ราบน้ำท่วมถึงของแม่น้ำปิงและ น้ำแม่กวง ชั้นตะกอนประกอบด้วย ดินเหนียว ตะกอนทรายแป้ง ตะกอนทราย (รูปที่ 4)

สภาพธรณีวิทยาใต้พื้นผิว ศึกษาจากการลำดับชั้นตะกอนของข้อมูลหลุมเจาะ สามารถแบ่งชั้น ตะกอนใต้ดินในพื้นที่ศึกษา ออกเป็น 3 Sequence คือ Sequence I ช่วงความลึก 0-20 เมตร Sequence II ช่วงความลึก 20-45 เมตร Sequence III ช่วงความลึก 45-65 เมตร ในแต่ละ Sequence พบว่า ประกอบด้วยชั้นตะกอน 3 แบบ คือ ชั้นตะกอนดินเหนียว (clay) ชั้นตะกอนทราย (sand) และชั้น ตะกอนกรวด (gravel) ที่เหมือนๆ กัน แต่มีรายละเอียดทางคุณสมบัติย่อยแตกต่างกันไปได้อีกหลายชนิด เมื่อนำมาจัดทำเป็นแผนที่แสดงลักษณะปรากฏชั้นหิน (Lithofacies map) ที่ระดับความลึกจาก 5 เมตร ลงไปจนถึงความลึก 100 เมตร อาจจะสรุปลักษณะการแผ่กระจายของชั้นตะกอนในพื้นที่ศึกษาได้ดังนี้

ที่ระดับความลึกจากผิวดิน ลงไปถึงความลึกประมาณ 20 เมตร พบว่าชั้นตะกอนส่วนใหญ่เป็น ตะกอนดินเหนียว เกือบทั้งหมด มีชั้นตะกอนทรายและกรวดแผ่เป็นแนวยาวในแนวตะวันออกเฉียงเหนือ ใปยังทิศใต้

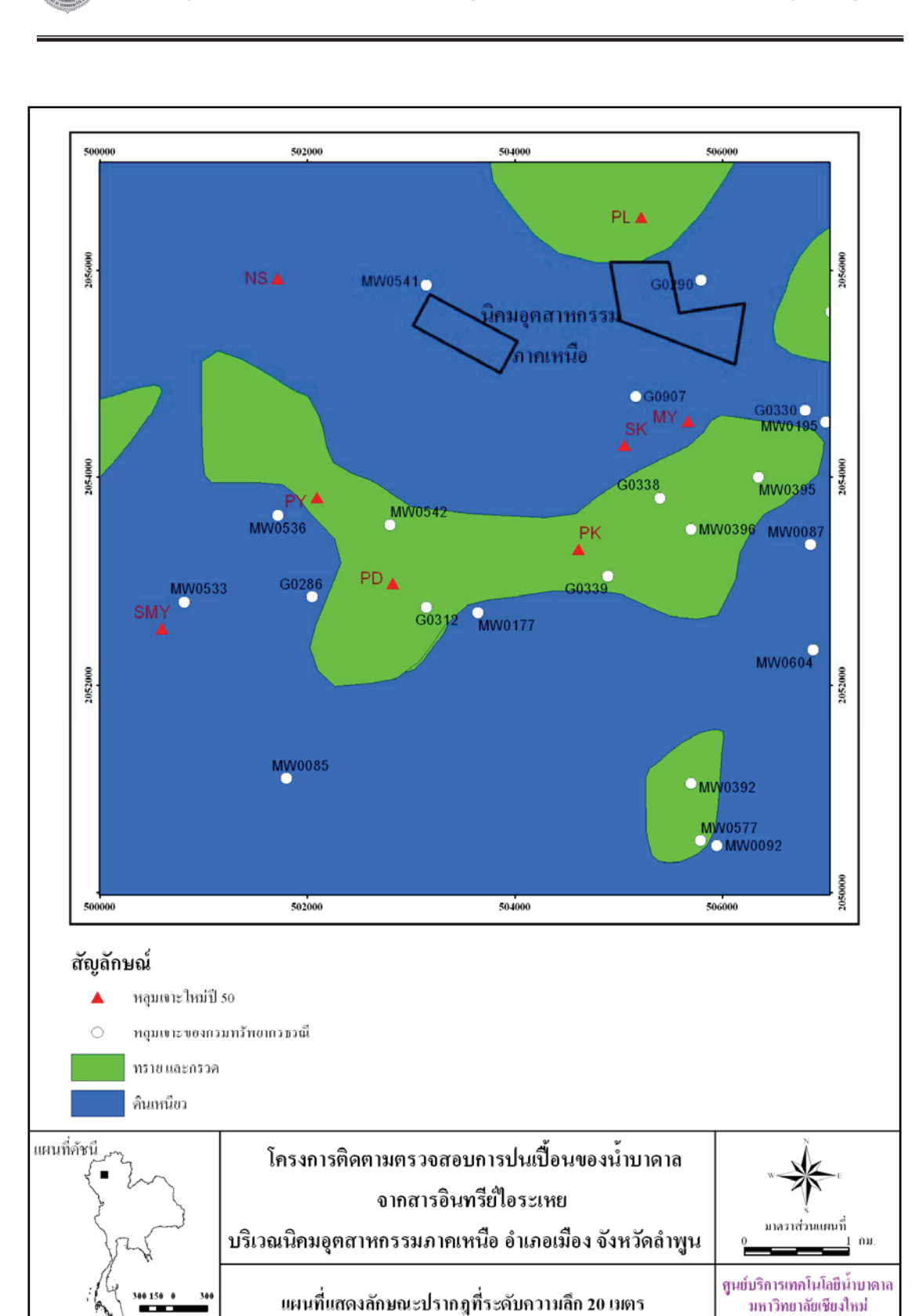
ที่ระดับความลึก 20-45 เมตร ชั้นตะกอนทรายและกรวดพบมากขึ้นทางด้านใต้ โดยกระจายตัว จากทางด้านตะวันออกไปทางด้านตะวันตก วางตัวเป็นแนวยาวคล้ายกับแนวของแม่น้ำโบราณในอดีต มี ความกว้างประมาณ 1 กิโลเมตร โดยมีรูปแบบคดโค้งเหมือน Meandering river ในขณะที่ชั้นตะกอน ดินเหนียวมีมากทางด้านเหนือ

ที่ระดับความลึก 45 เมตรลงไปถึงความลึกประมาณ 100 เมตร ชั้นตะกอนทรายและกรวดมีการ กระจายตัวลดลง แต่ยังคงพบในแนวยาวที่แผ่กระจายจากด้านตะวันออกเฉียงเหนือ ลงมาทางทิศตะวันตก เฉียงใต้ ชั้นตะกอนส่วนใหญ่ภายใต้พื้นที่ศึกษา พบเป็นตะกอนดินเหนียว

รูปที่ 5, 6 และ 7 เป็นแผนที่แสดงลักษณะปรากฏชั้นหิน ที่ระดับความลึก 20 เมตร 40 เมตร และ 80 เมตร ตามลำดับ

รูปที่ 4 แผนที่ธรณีวิทยาบริเวณพื้นที่ศึกษาและพื้นที่ใกล้เคียง (คัดแปลงจากกรมทรัพยากรธรณี, 2543)

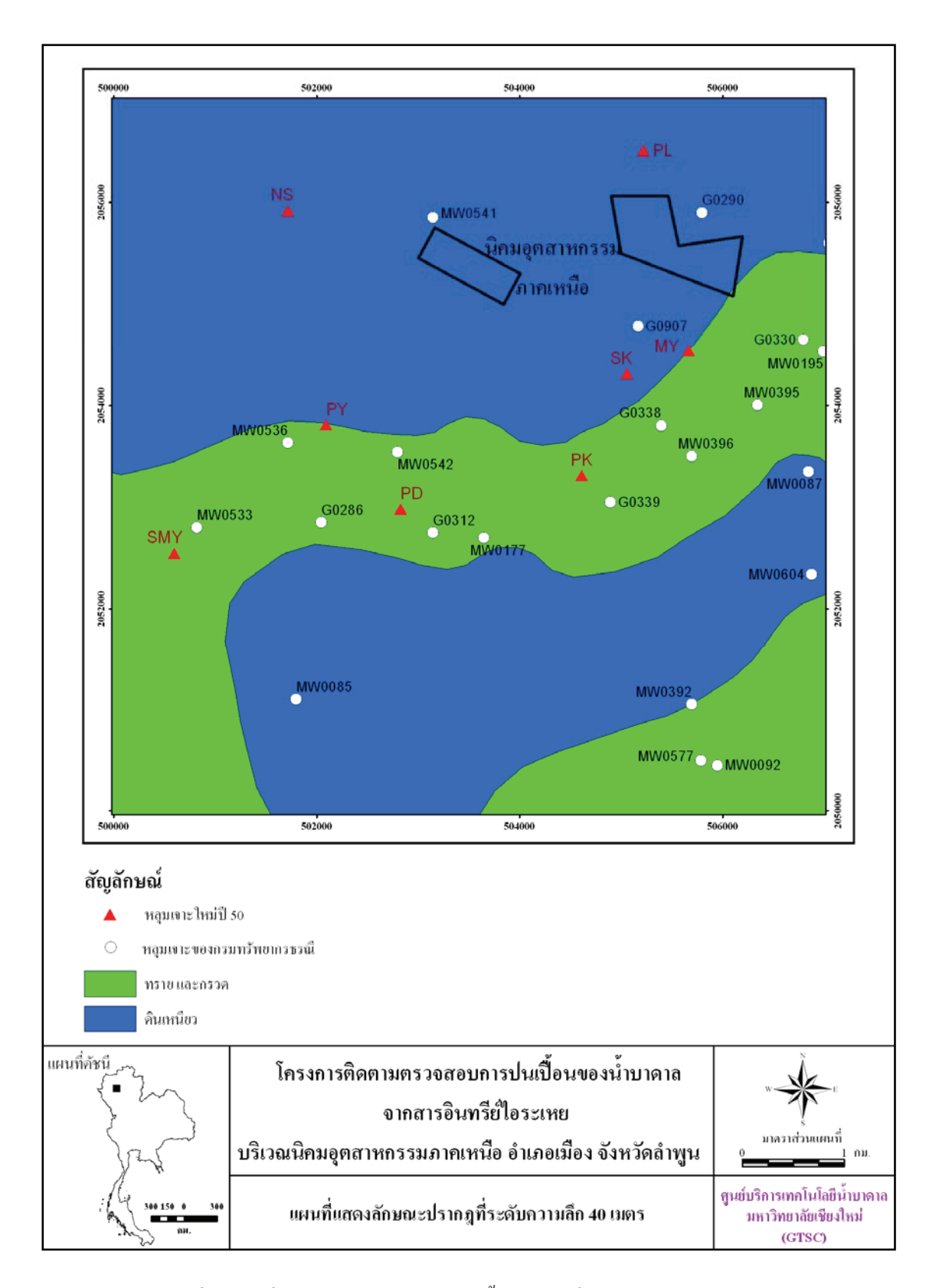




รูปที่ 5 แผนที่แสดงลักษณะปรากฎของชั้นตะกอนที่ระดับความลึก 20 เมตร



(GTSC)



รูปที่ 6 แผนที่แสดงลักษณะปรากฎของชั้นตะกอนที่ระดับความลึก 40 เมตร

รูปที่ 7 แผนที่แสดงลักษณะปรากฎของชั้นตะกอนที่ระดับความลึก 80 เมตร

แผนที่แสดงลักษณะปรากฎที่ระดับความลึก 80 เมตร



มหาวิทยาลัยเชียงใหม่ (GTSC)



#### 9.1 ชั้นน้ำใต้ดิน

ได้ทำการแบ่งชั้นน้ำในรายละเอียดตามลำดับชั้นตะกอนและลักษณะปรากฎของชั้นตะกอน รวมทั้งความลึกที่ให้น้ำในขณะที่ทำการเจาะ พบว่าสามารถแบ่งชั้นน้ำออกได้เป็น 3 ชั้น ตามการแบ่ง Sequence ลักษณะของชั้นน้ำทั้งสาม มีรายละเอียด ดังนี้

- 1) ชั้นน้ำที่ 1 เป็นชั้นน้ำซึ่งอยู่ที่ความถึกประมาณ 0-20 เมตร โดยส่วนบนสุดและ ส่วนล่างเป็นชั้นดินเหนียวค่อนข้างหนา มีชั้นตะกอนทรายปนกรวดที่เป็นชั้นน้ำแทรก อยู่ตรงกลาง มีความหนาไม่สม่ำเสมอ และวางตัวไม่ต่อเนื่อง ในชั้นน้ำที่ 1 นี้ ตะกอน ทรายมีขนาดปานกลางจนถึงหยาบ และในบางพื้นที่พบกรวดปนดินเหนียวอยู่ด้วย
- 2) ชั้นน้ำที่ 2 เป็นชั้นน้ำซึ่งอยู่ที่ความลึกประมาณ 20-45 เมตร มีลักษณะเป็นตะกอนทราย ขนาดละเอียดจนถึงขนาดปานกลาง พบได้หลายชั้นแทรกสลับกับชั้นดินเหนียว ความหนาของชั้นทรายไม่สม่ำเสมอและวางตัวไม่ต่อเนื่อง และในบางพื้นที่พบกรวด ปนอยู่ด้วย
- 3) ชั้นน้ำที่ 3 เป็นชั้นน้ำซึ่งอยู่ที่ความลึกประมาณ 45-65 เมตร มีลักษณะเป็นตะกอนทราย ขนาดหยาบ หรือตะกอนทรายขนาดหยาบปนกรวด มีความหนาไม่สม่ำเสมอและ วางตัวไม่ต่อเนื่อง

### 9.2 สมบัติทางชลศาสตร์ของชั้นน้ำใต้ดิน

ได้ทำการสูบทดสอบในบ่อบาดาล จำนวน 17 ชุด โดยแบ่งออกเป็น การสูบทดสอบแบบ Pumping test จำนวน 11 ชุด และการสูบทดสอบแบบ Slug test จำนวน 6 ชุด สมบัติทางชลศาสตร์ของ ชั้นน้ำ ได้แก่ ค่า Transmissivity (T) , Hydraulic conductivity (K), Storage coefficient (S) และค่า aquifer anisotropy ซึ่งเป็นอัตราส่วนระหว่างค่า K ในแนวคิ่งต่อค่า K ในแนวนอน แสดงเป็นค่าของทั้ง 3 ชั้นน้ำ ไว้ในตารางที่ 1 นอกจากนั้น ได้ทำการทดสอบด้วยสารติดตามหรือ Tracer test ด้วย เพื่อหา สัมประสิทธิ์การแพร่กระจายตัวของสารเคมีที่อยู่ในน้ำใต้ดิน (dispersivity, \OmegaL) สำหรับใช้ประกอบการ สร้างแบบจำลองแสดงการแพร่กระจายของสารปนเปื้อนในน้ำใต้ดิน โดยได้ทำการทดสอบจำนวน 5 ชุด ผลการวิเคราะห์ แสดงไว้ในตารางที่ 2 ซึ่งค่า dispersivity ของชั้นหินอุ้มน้ำความลึกไม่เกิน 50 เมตร มีค่า สัมประสิทธิ์การกระจายตัวตั้งแต่ 8.7 ถึง 22.5 เมตร



ตารางที่ 1 ผลการสูบทคสอบ

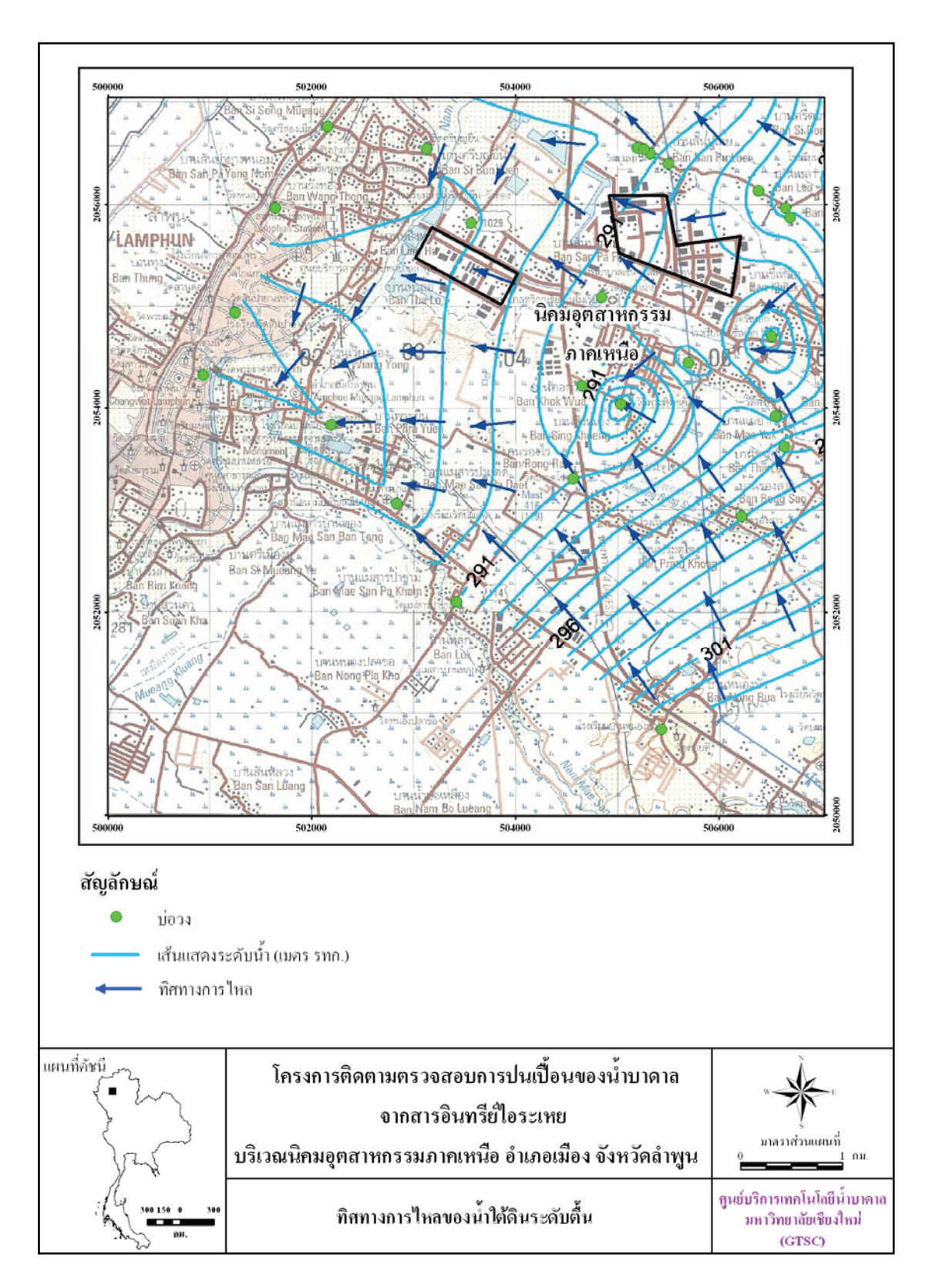
ชั้นน้ำ	ความลึ๊ก	T (m <sup>2</sup> /day)	K (m/day)	S (-)	Anisotropy $(K_{\downarrow}/K_{h})$
ชั้นน้ำที่ 1	0-20	31.2-138.0	2.6-11.5	$2.45 \times 10^{-3}$ - $5.75 \times 10^{-7}$	0.81-1.0
ชั้นน้ำที่ 2	20-45	0.39-55.2	0.049-6.9	1.63×10 <sup>-3</sup> - 8.76×10 <sup>-4</sup>	0.77 – 1.0
ชั้นน้ำที่ 3	45-65	8.88-77.6	1.11-9.7	$1.72 \times 10^{-3}$ - $6.79 \times 10^{-3}$	0.68-1.0

ตารางที่ 2 ผลการทดสอบด้วยสารติดตาม

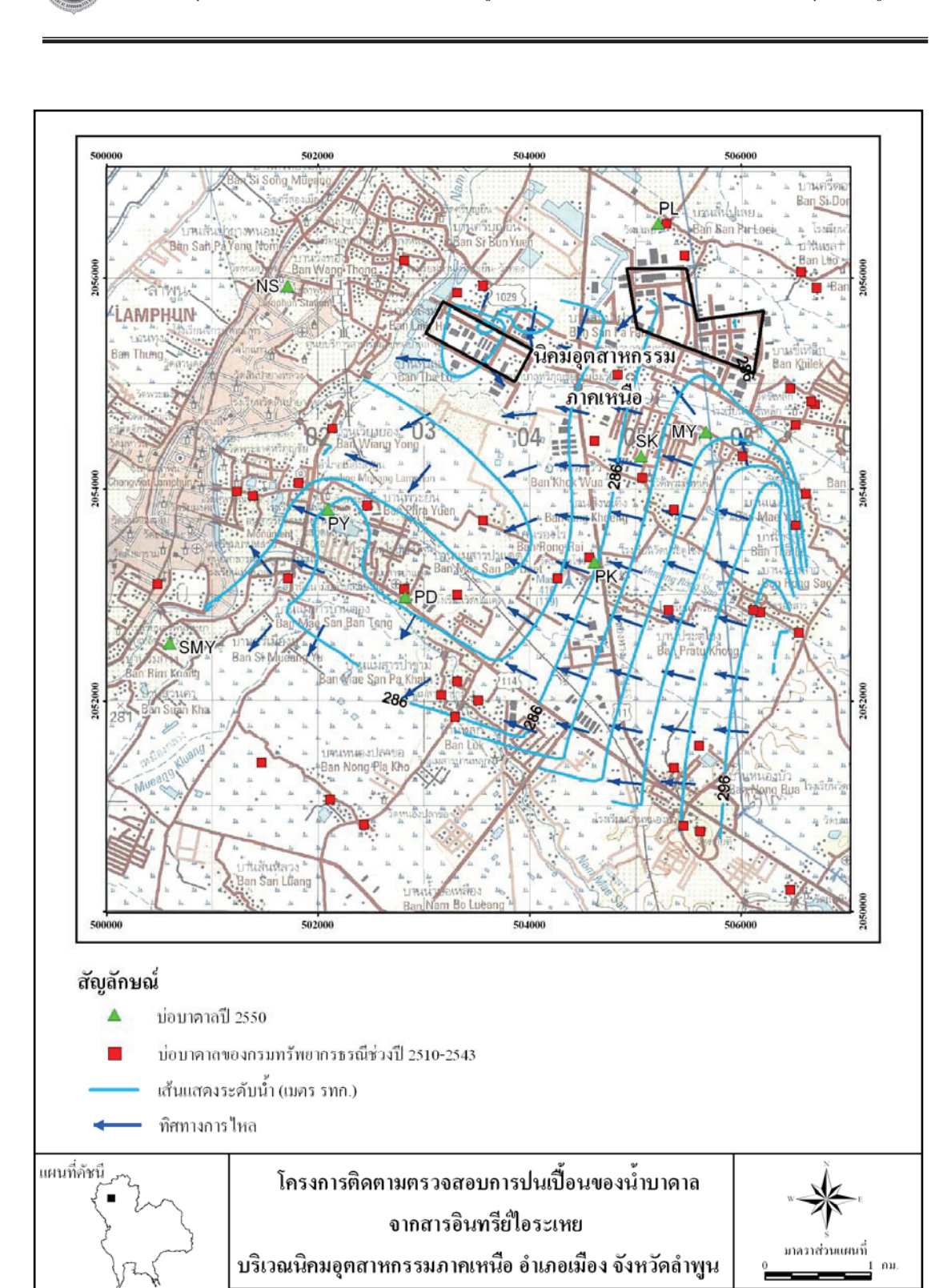
ชั้นน้ำ	ความลึก	Dispersivity, $\alpha_{_L}$ (เมตร)
ชั้นน้ำที่ 1	0-20	16.3-22.5
ชั้นน้ำที่ 2	20-45	9.2-12.1
ชั้นน้ำที่ 3	45-65	8.7

#### 9.3 ระดับน้ำใต้ดินและทิศทางการใหล

ในภาพรวม พบว่าระดับน้ำใต้ดินในบ่อตื้นหรือบ่อวง อยู่ที่ความลึกจากผิวดินประมาณ 1-10 เมตร ในขณะที่ระดับน้ำในบ่อบาดาลหรือบ่อเจาะ มีความลึกจากผิวดินตั้งแต่ 5-25 เมตร ทิสทางการไหล ของน้ำทั้งระดับตื้นและระดับลึก อยู่ในแนวประมาณตะวันออก-ตะวันตก โดยมีบางส่วนไหลไปใน ทิสทางตะวันตกเฉียงเหนือ และทิสทางตะวันตกเฉียงใต้ (รูปที่ 8 และรูปที่ 9) ทั้งนี้ พบว่า การไหลของน้ำ ในระดับตื้น มีทิสทางแปรเปลี่ยนมากกว่าระดับลึก อันอาจจะมีสาเหตุมาจากความไม่ต่อเนื่องกันของ ชั้นหินอุ้มน้ำ (ชั้นกรวด-ทราย มีความหนาไม่สม่ำเสมอ และวางตัวไม่ต่อเนื่อง) หรืออาจเป็นผลมาจาก ชั้นน้ำระดับตื้นได้รับผลกระทบจากกิจกรรมการใช้น้ำของประชาชนในพื้นที่



รูปที่ 8 ทิศทางการใหลของน้ำใต้คินระดับตื้น



รูปที่ 9 ทิศทางการใหลของน้ำใต้ดินระดับลึก

ทิศทางการใหลของน้ำใต้ดินระดับลึก



ศูนย์บริการเทคโนโลยีน้ำบาดาล

มหาวิทยาลัยเชียงใหม่



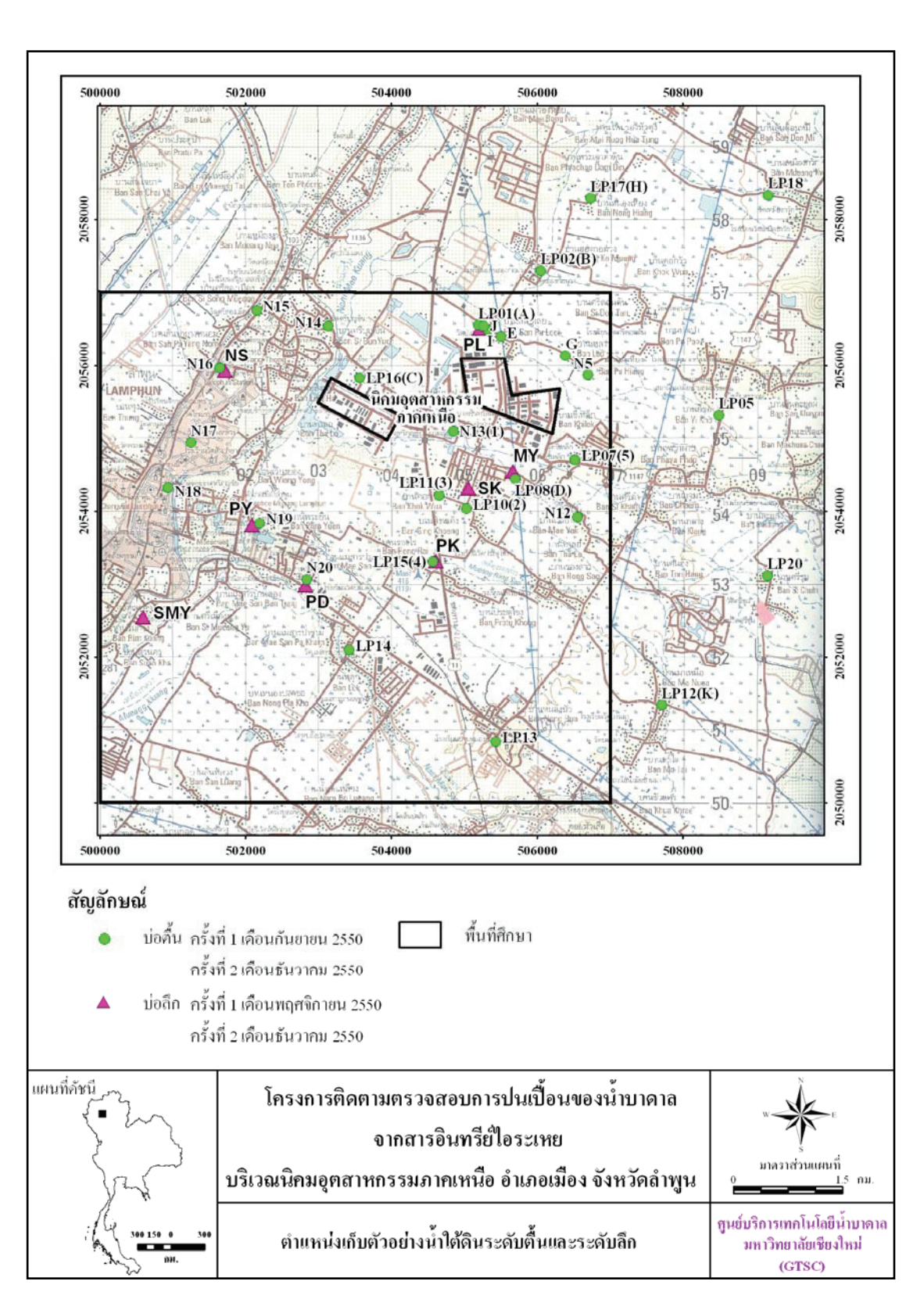
#### 9.4 คุณภาพน้ำใต้ดิน

ได้ทำการเก็บตัวอย่างน้ำใต้ดินจากบ่อวง (บ่อน้ำใต้ดินระดับตื้น) จำนวนทั้งสิ้น 30 จุด ครอบคลุม บริเวณพื้นที่ศึกษา และเก็บตัวอย่างน้ำใต้ดินของบ่อเจาะ (บ่อเจาะ ปี 2550 ) จำนวนทั้งสิ้น 30 หลุม (ตำแหน่งเก็บตัวอย่างน้ำ แสดงในรูปที่ 10) โดยทำการเก็บทั้งหมด 2 ครั้งเพื่อวิเคราะห์ทางกายภาพ เคมี และ โลหะหนัก ข้อมูลผลการวิเคราะห์เมื่อเปรียบเทียบกับค่ามาตรฐานน้ำบาดาลที่ใช้บริโภค พบว่า น้ำใต้ดินจากบ่อวง หรือน้ำใต้ดินระดับตื้น ส่วนใหญ่ไม่เหมาะสมในการนำมาใช้บริโภค เนื่องจากมีค่า ความขุ่น ความกระด้าง ปริมาณสารละลายทั้งหมด เหล็ก แมงกานีส คลอไรด์ ฟลูออไรด์ ในเตรท และ ซัลเฟต ค่อนข้างสูง หรือสูงเกินกว่าเกณฑ์มาตรฐาน ส่วนน้ำใต้ดินของบ่อเจาะ พบว่า มีบางตัวอย่าง ไม่ เหมาะสมในการนำมาใช้บริโภค เนื่องจากมีค่าความขุ่น ความกระด้าง ปริมาณสารละลายทั้งหมด เหล็ก แมงกานีส คลอไรด์ ฟลูออไรด์ ในเตรท และ ซัลเฟต ค่อนข้างสูง หรือสูงเกินกว่าเกณฑ์มาตรฐาน ในแง่ ของปริมาณโลหะหนัก ไม่พบแนวโน้มการปนเปื้อนของโลหะหนัก ยกเว้นพบปริมาณสังกะสีที่ค่อนข้าง สูงแต่ยังไม่เกินเกณฑ์มาตรฐาน ในบางตัวอย่างน้ำเท่านั้น

### 9.5 คุณภาพน้ำใต้ดินกับการปนเปื้อนด้วยสารอินทรีย์ใอระเหย

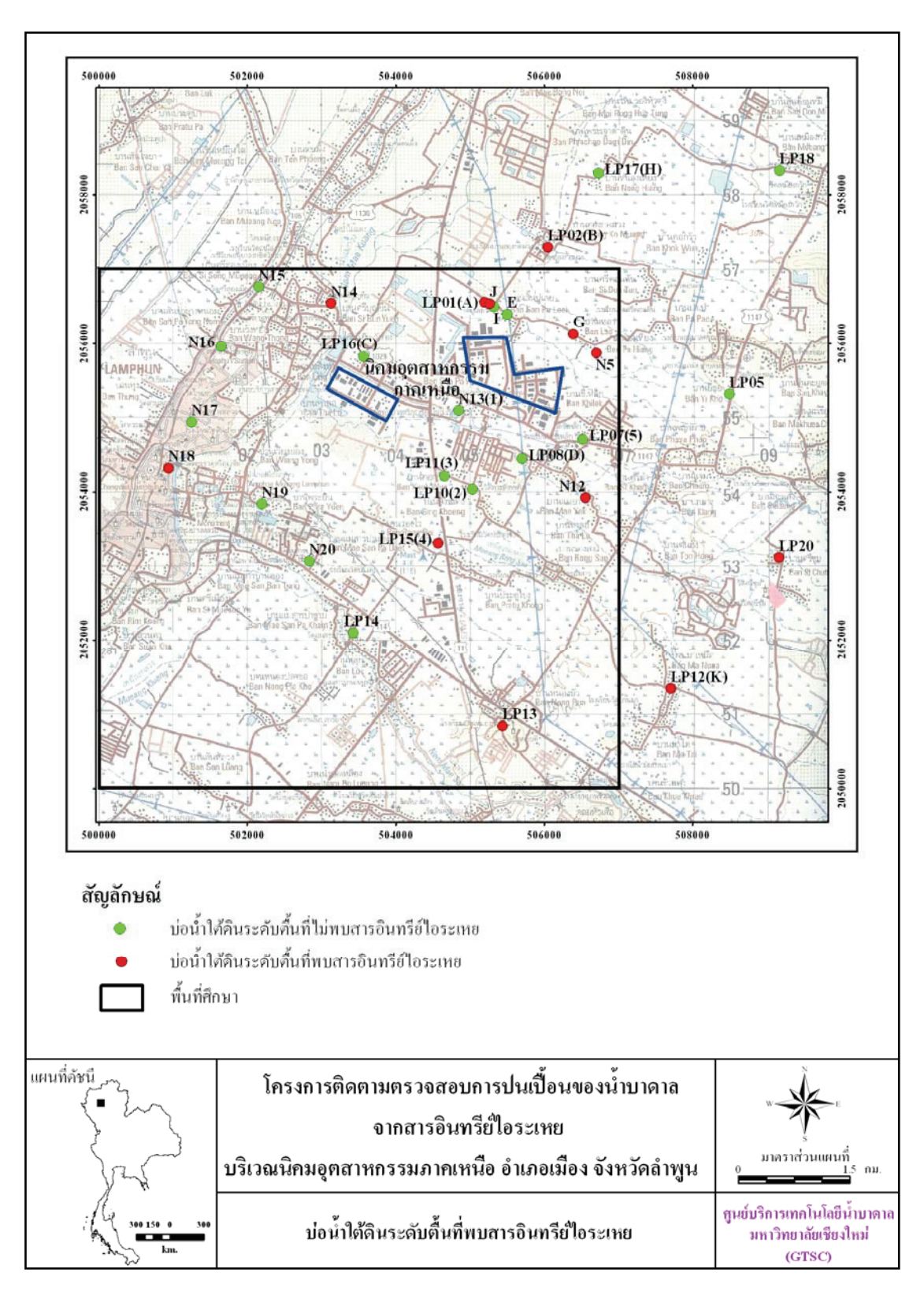
ได้ทำการเก็บตัวอย่างน้ำใต้ดินจากบ่อวงและบ่อเจาะ จำนวนทั้งสิ้น 60 บ่อ ณ ตำแหน่งเดียวกัน กับที่เก็บตัวอย่างน้ำเพื่อวิเคราะห์ทางกายภาพและเคมี โดยทำการเก็บทั้งหมด 2 ครั้ง และได้นำมาวิเคราะห์ หาปริมาณสารอินทรีย์ใอระเหย 13 ชนิด ได้แก่ 1,1- dichloroethylene; trans-1,2-dichloroethylene; cis-1,2-dichloroethylene; Chloroform; 1,2-dichloroethane; Benzene; Trichloroethylene; 1,1,2-trichloroethane; Toluene; Tetrachloroethylene; Ethylbenzene; p-xylene และ o-xylene โดยมี เป้าหมายหลักเพื่อประเมินการปนเบื้อนของน้ำใต้ดิน

ผลการศึกษาวิเคราะห์ตัวอย่างน้ำใต้ดินระดับตื้นและระดับลึก สรุปได้ว่า พบสารอินทรีย์ ใอระเหย ชนิดใดชนิดหนึ่ง หรือพบหลายชนิด จากทั้งหมด 13 ชนิด ในตัวอย่างน้ำใต้ดินระดับตื้น (จากบ่อวง) จำนวน 12 ตัวอย่าง จากทั้งหมด 30 ตัวอย่าง (รูปที่ 11) และระดับลึก (จากบ่อเจาะ) จำนวน 18 ตัวอย่าง จากทั้งหมด 30 ตัวอย่าง (รูปที่ 12) ซึ่งเมื่อเปรียบเทียบข้อมูลผลการวิเคราะห์กับค่ามาตรฐานใน น้ำใต้ดินแล้ว พบว่าในภาพรวม มีค่าไม่เกินมาตรฐาน แต่มีปริมาณค่อนข้างสูงในบางชนิด แสดงให้เห็น อย่างชัดเจนว่า น้ำใต้ดิน (ความลึก ไม่เกิน 50 เมตร) ถูกปนเปื้อนด้วยการกระทำของมนุษย์ เนื่องจาก สารอินทรีย์ใอระเหยไม่ใช่สารที่เกิดตามธรรมชาติ และสามารถคาดการณ์ได้ว่า เกิดผลกระทบต่อสุขภาพ อนามัยของประชากรในพื้นที่อย่างแน่นอน รวมทั้งก่อให้เกิดความเสียหายกับทรัพยากรน้ำใต้ดินอย่างมาก

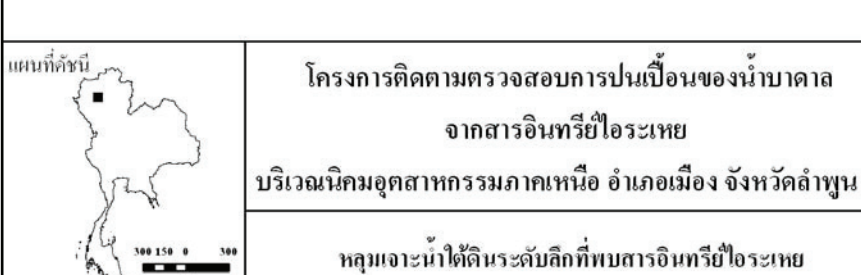


รูปที่ 10 แผนที่ตำแหน่งเก็บตัวอย่างน้ำใต้ดินระดับตื้นและระดับลึก





รูปที่ 11 บ่อน้ำใต้ดินระดับตื้นที่พบสารอินทรีย์ใอระเหย



รูปที่ 12 หลุมเจาะน้ำใต้ดินระดับลึกที่พบสารอินทรีย์ใอระเหย



### 10. แบบจำลองการใหลของน้ำใต้ดิน (Groundwater Flow Model)

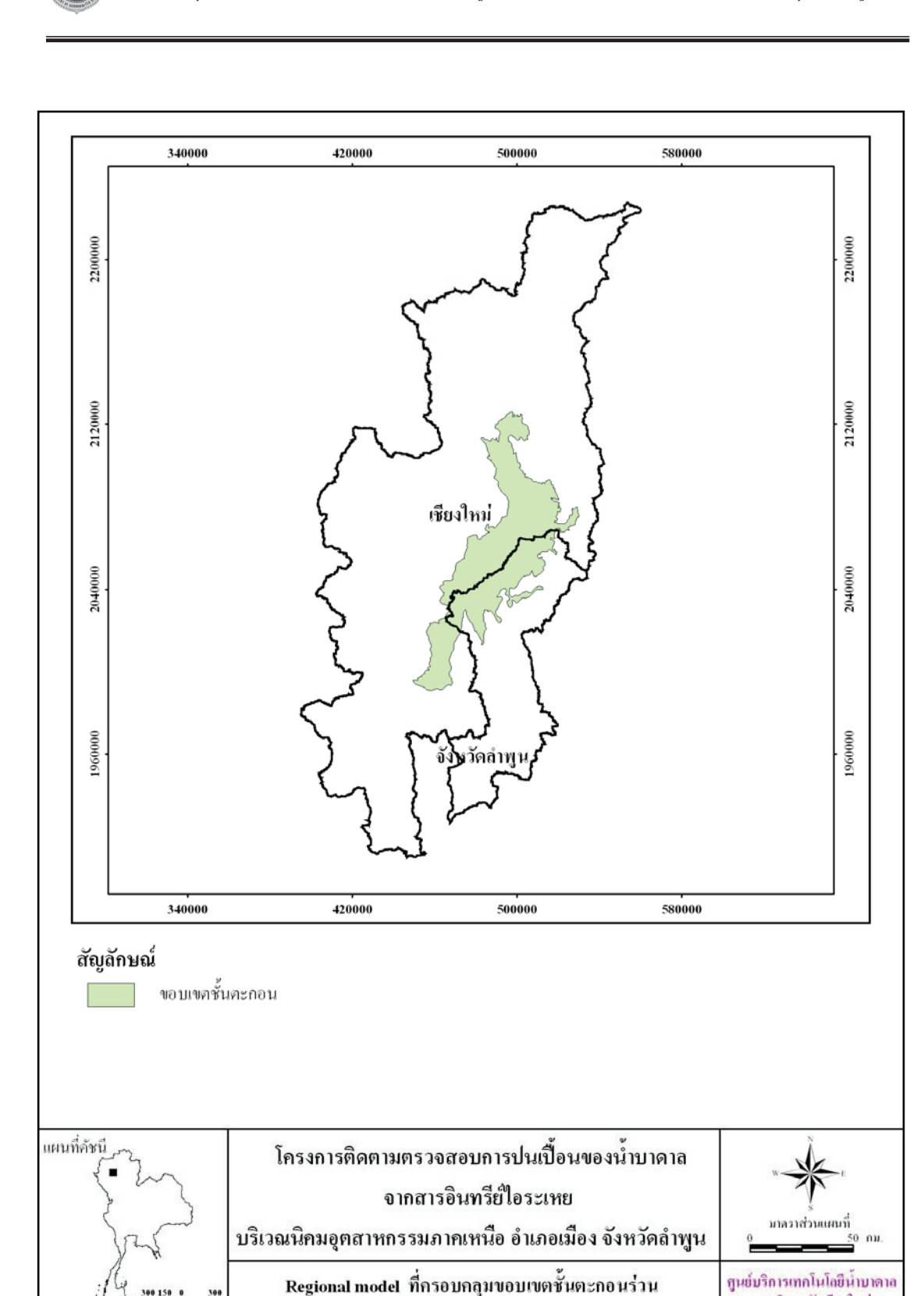
ได้จัดทำแบบจำลองการใหลของน้ำใต้ดิน ทั้งในระดับสเกลใหญ่และเล็ก ซึ่งแบบจำลองสเกล ใหญ่ หรือ regional model ครอบคลุมพื้นที่ประมาณ 2,800 ตารางกิโลเมตร ในแอ่งเชียงใหม่ที่เป็นชั้น ตะกอนร่วนและตะกอนกึ่งแข็งตัว (รูปที่ 13) จากนั้นจึงย่อส่วนลงมาเป็นแบบจำลองสเกลเล็ก หรือ local model ของพื้นที่ศึกษาตามที่กำหนดไว้ คือ 7×7 ตารางกิโลเมตร (UTM-E: 500,000-507,000, UTM-N: 2,050,000-2,057,000) (รูปที่ 14) เพื่อจำลองสภาวะการใหล ในพื้นที่บริเวณนิคมอุตสาหกรรมภาคเหนือ อำเภอเมือง จังหวัดลำพูน ให้ได้ละเอียดยิ่งขึ้น

การจัดทำแบบจำลองการใหลของน้ำใต้คินประกอบไปด้วยขั้นตอนต่างๆ ดังรูปที่ 15 ซึ่งใน ขั้นตอนแรก ต้องสร้างแบบจำลองมโนทัศน์ (Conceptual model) แล้วจึงเปลี่ยนแบบจำลองมโนทัศน์ ให้ เป็นแบบจำลองการใหลเชิงคณิตศาสตร์ (Mathematical flow model) เพื่อจำลองการใหลทั้งที่เป็นการใหล ในสภาวะคงที่ (steady-state) และการใหลในสภาวะไม่คงที่ (transient) ด้วยวิธีไฟในท์ดิฟเฟอร์เรนซ์ (finite difference technique) โดยใช้โปรแกรมสำเร็จรูป Visual MODFLOW เวอร์ชัน 4.2 (Waterloo Hydrogeologic, Inc., 2006) จากนั้นจึงปรับแบบจำลอง (model calibration) เพื่อให้มีสภาพการใหล ใกล้เคียงกับความเป็นจริงมากที่สุด และในขั้นตอนสุดท้าย จึงใช้แบบจำลองที่ได้รับการปรับแล้ว มาศึกษา แนวโน้มการเคลื่อนที่และการแพร่กระจายตัวของสารอินทรีย์ใอระเหยในน้ำใต้คินต่อไป ในลักษณะของ แบบจำลองการเคลื่อนที่ของมวลสาร (Solute transport model)

ระยะเวลาของการทำแบบจำลองคณิตศาสตร์ของแอ่งเชียงใหม่ (regional model) ใช้ข้อมูลระดับ น้ำของปี พ.ศ. 2546 เป็นจุดเริ่มต้นของการจำลอง ซึ่งเป็นการจำลองการไหลในสภาวะคงที่ (steady state) และใช้ข้อมูลระดับน้ำในบ่อสังเกตการณ์ จำลองการไหลในสภาวะไม่คงที่ (transient) ตั้งแต่ปี พ.ศ. 2547-2550 จากนั้นจึงใช้แบบจำลองดังกล่าว ทำนายสภาวะการไหลต่อไปอีก 20 ปี จนถึง พ.ศ. 2570

สำหรับแบบจำลองการ ใหลของพื้นที่ศึกษา (local model) ได้ทำการจำลองการ ใหลในสภาวะ ไม่ คงที่ตั้งแต่ปี 2547-2550 โดยใช้ผลการจำลองจาก regional model มากำหนดเงื่อนไขขอบ (boundary conditions) ทั้งสี่ด้านคือ ทิศเหนือ ใต้ ตะวันออก และตะวันตก จากนั้นจึงใช้แบบจำลองดังกล่าว ทำนาย สภาวะการ ใหลต่อไปอีก 20 ปี จนถึง พ.ศ. 2570

แบบจำลองมโนทัศน์ และการแบ่งกริคของ regional และ local models แสคงไว้ในรูปที่ 16 ถึง รูปที่ 19 ตามลำคับ ส่วนผลการจำลองการใหลในแอ่งเชียงใหม่ (regional model) ในสภาวะคงที่ และผล การจำลองการใหลในพื้นที่ศึกษา (water table contour map) แสคงไว้ในรูปที่ 20 และรูปที่ 21 รวมทั้งได้ แสคงผลการปรับแบบจำลองการใหลในสภาวะไม่คงที่ของแอ่งเชียงใหม่ (regional model) และผลการ ปรับแบบจำลองการใหลในสภาวะไม่คงที่ของพื้นที่ศึกษา (local model) ไว้ในรูปที่ 22 และรูปที่ 23 ตามลำคับ



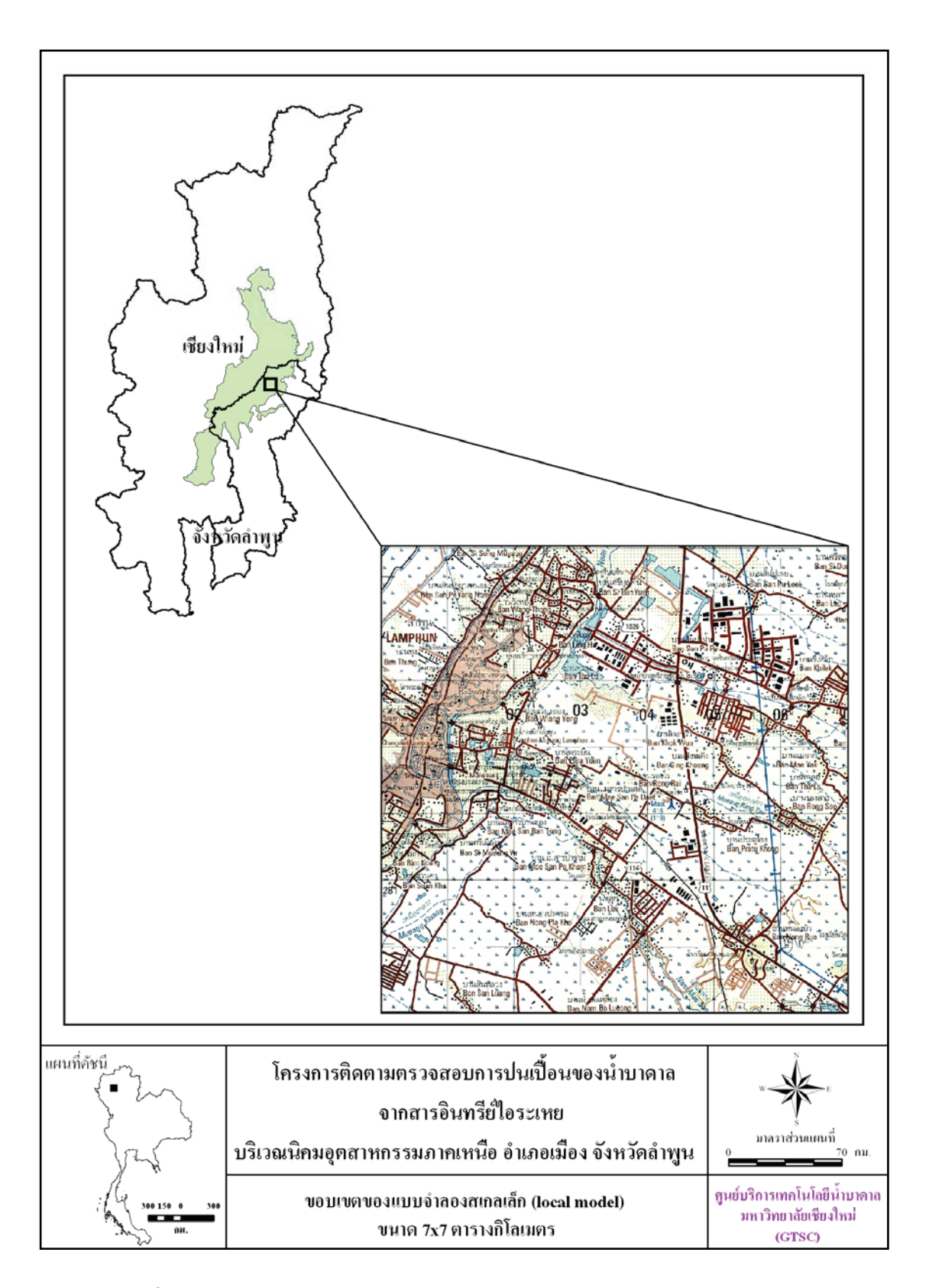
รูปที่ 13 Regional model ที่ครอบคลุมขอบเขตชั้นตะกอนร่วนและตะกอนกึ่งแข็งตัวในแอ่งเชียงใหม่

และตะกอนกึ่งแข็งตัวในแอ่งเชียงใหม่

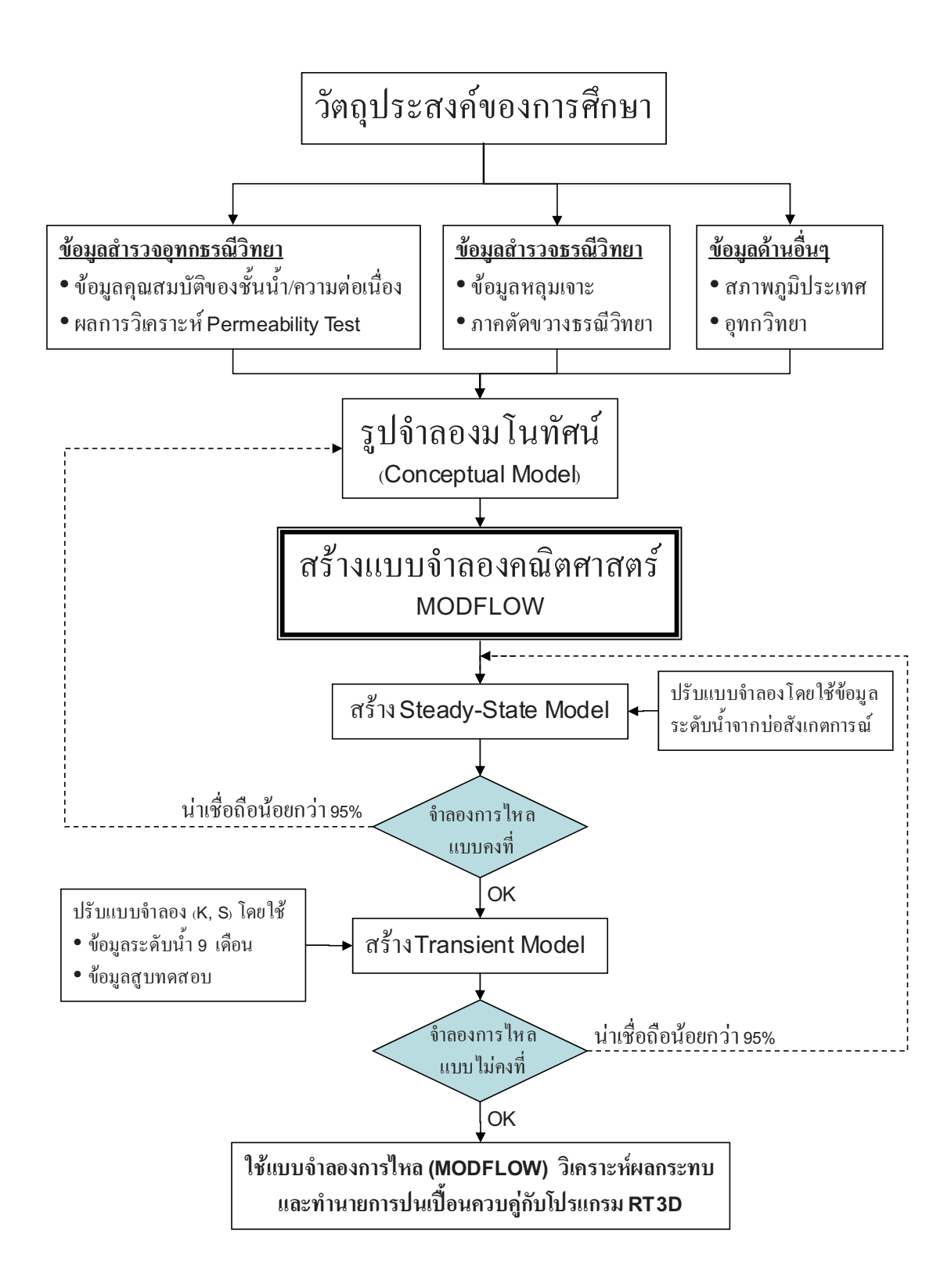


มหาวิทยาลัยเชียงใหม่

(GTSC)

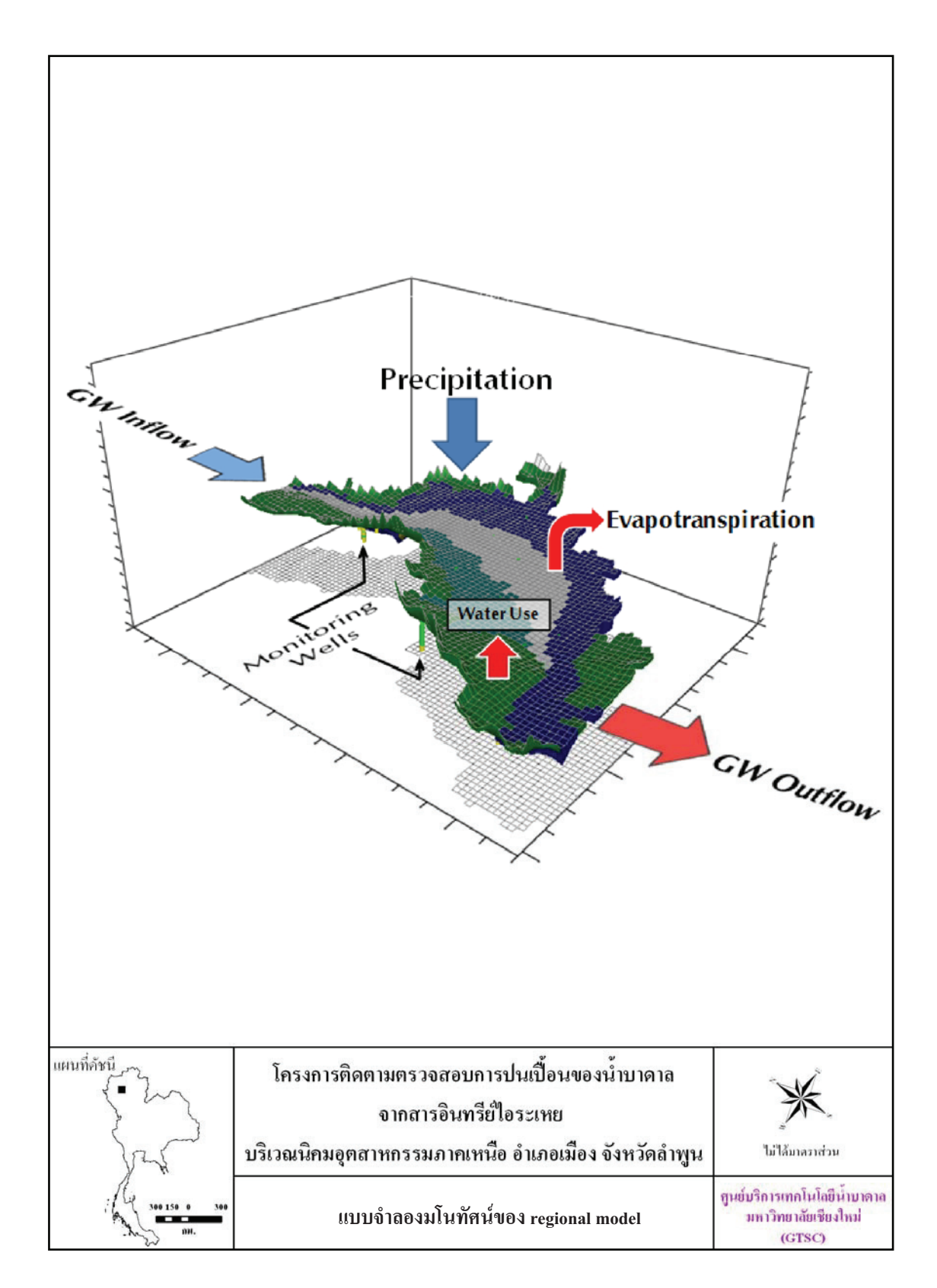


รูปที่ 14 ขอบเขตของแบบจำลองสเกลเล็ก (local model) ขนาด 7×7 ตารางกิโลเมตร



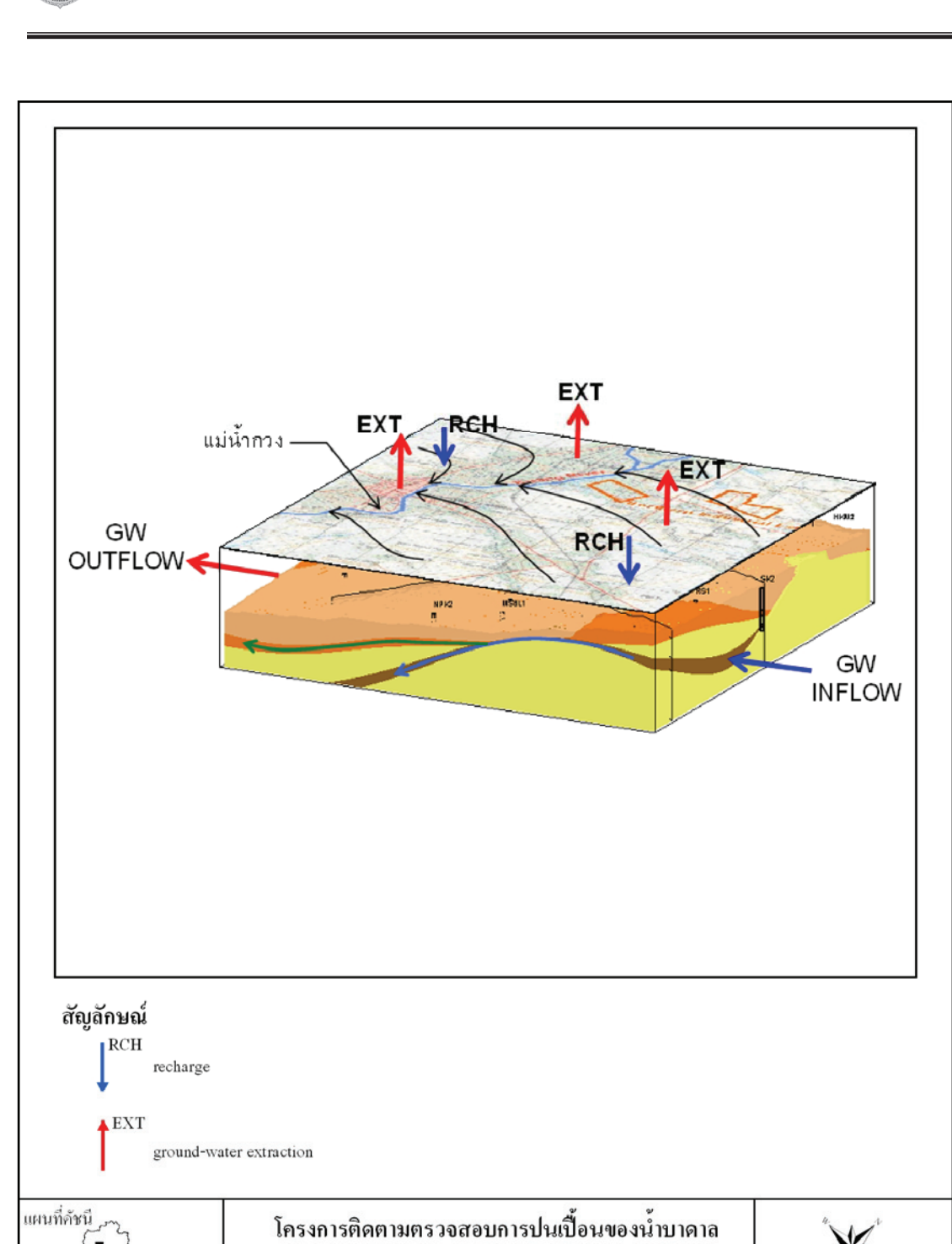
รูปที่ 15 ขั้นตอนการจัดทำแบบจำลองการไหลของน้ำใต้ดิน





รูปที่ 16 แบบจำลองมโนทัศน์ของ regional model





โครงการติดตามตรวจสอบการปนเปื้อนของน้ำบาดาล จากสารอินทรีย์ใอระเหย บริเวณนิคมอุตสาหกรรมภาคเหนือ อำเภอเมือง จังหวัดลำพูน

แบบจำลองมโนทัศน์ของ local model

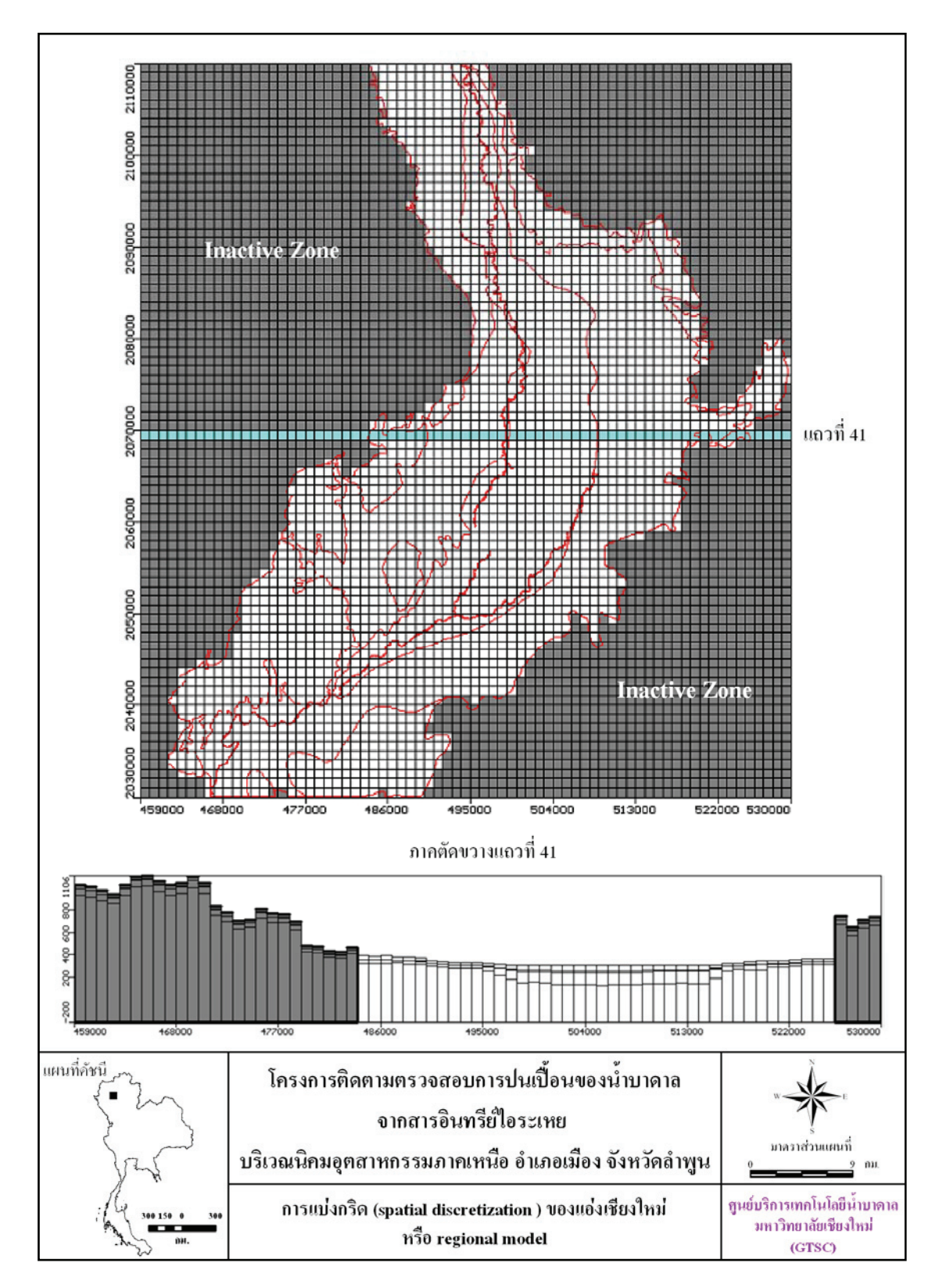


ไม่ได้มาคราส่วน

ศูนย์บริการเทคโนโลยีน้ำบาดาล มหาวิทยาลัยเชียงใหม่ (GTSC)

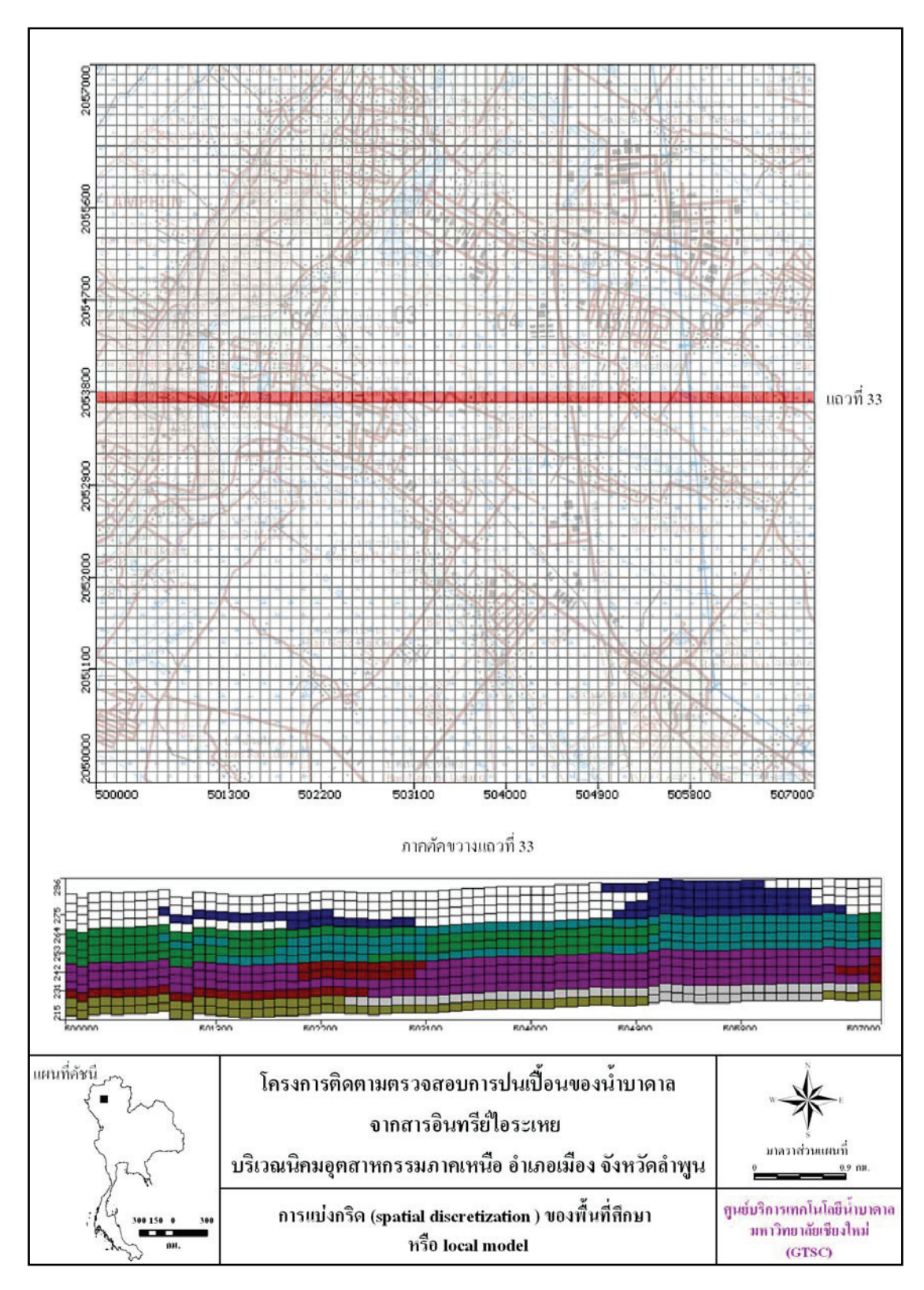
รูปที่ 17 แบบจำลองมโนทัศน์ของ local model





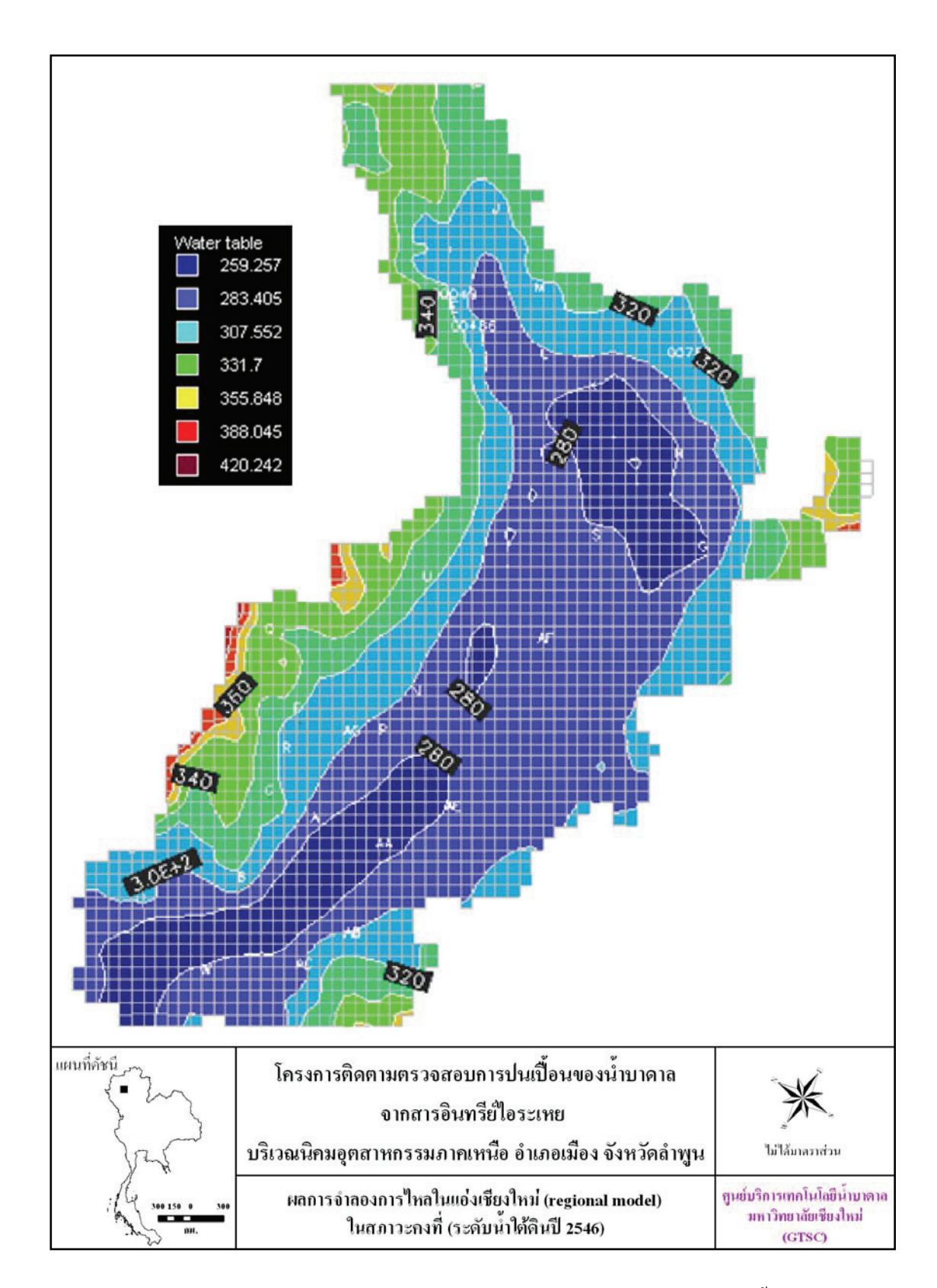
รูปที่ 18 การแบ่งกริด (spatial discretization) ของแอ่งเชียงใหม่หรือ regional model





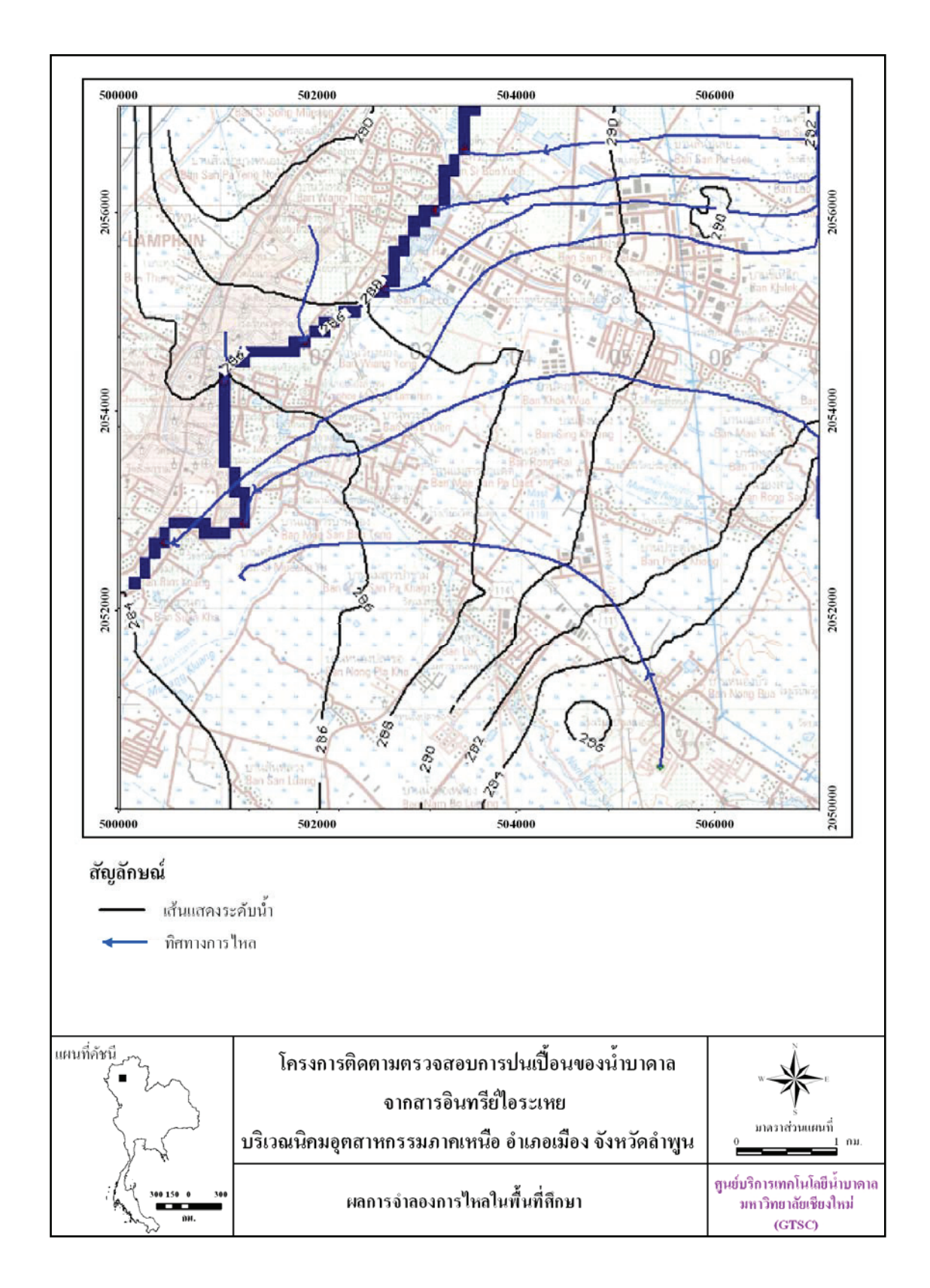
รูปที่ 19 การแบ่งกริด (spatial discretization) ของพื้นที่ศึกษาหรือ local model





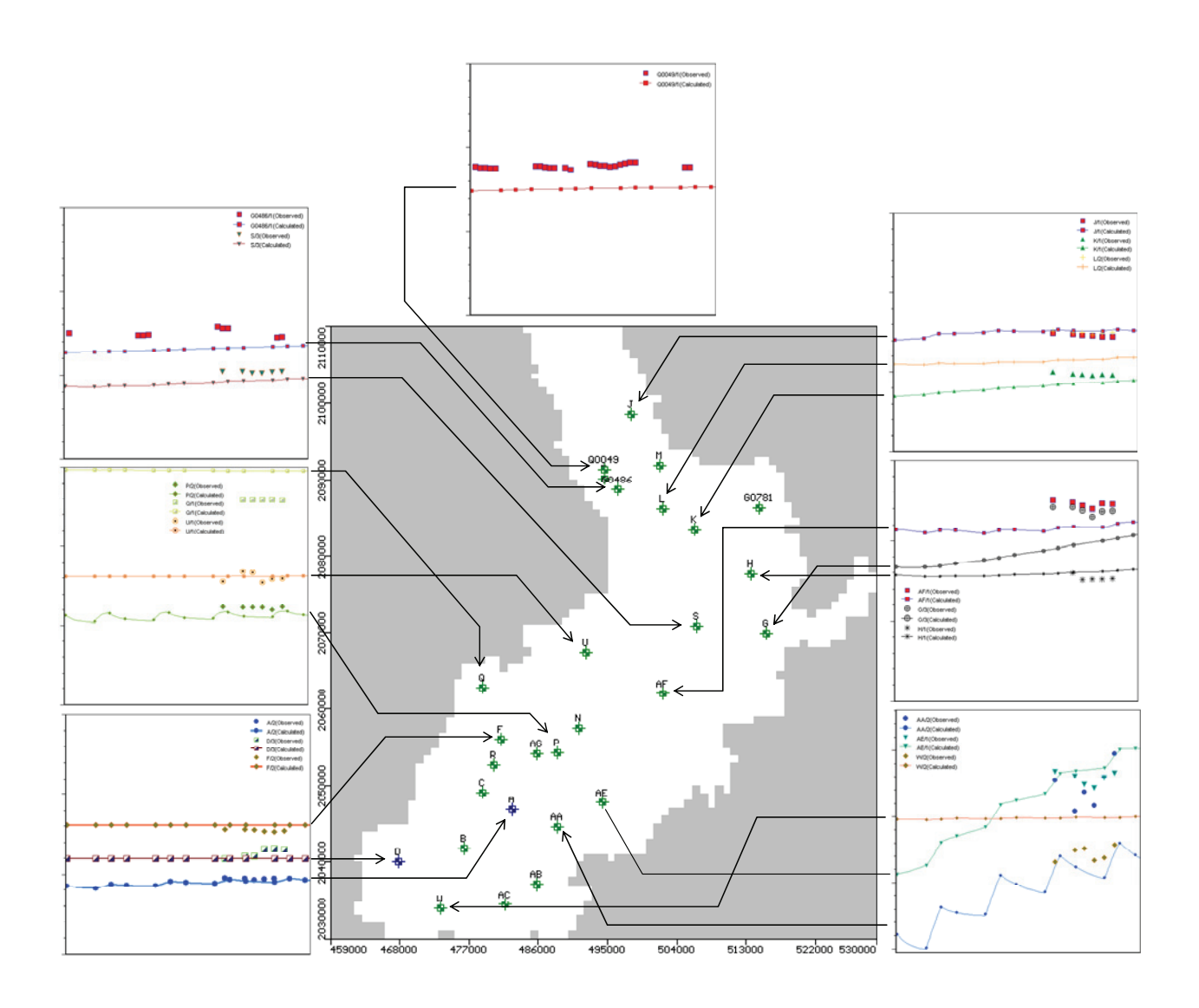
รูปที่ 20 ผลการจำลองการใหลในแอ่งเชียงใหม่ (regional model) ในสภาวะคงที่ (ระดับน้ำใต้ดินปี 2546)





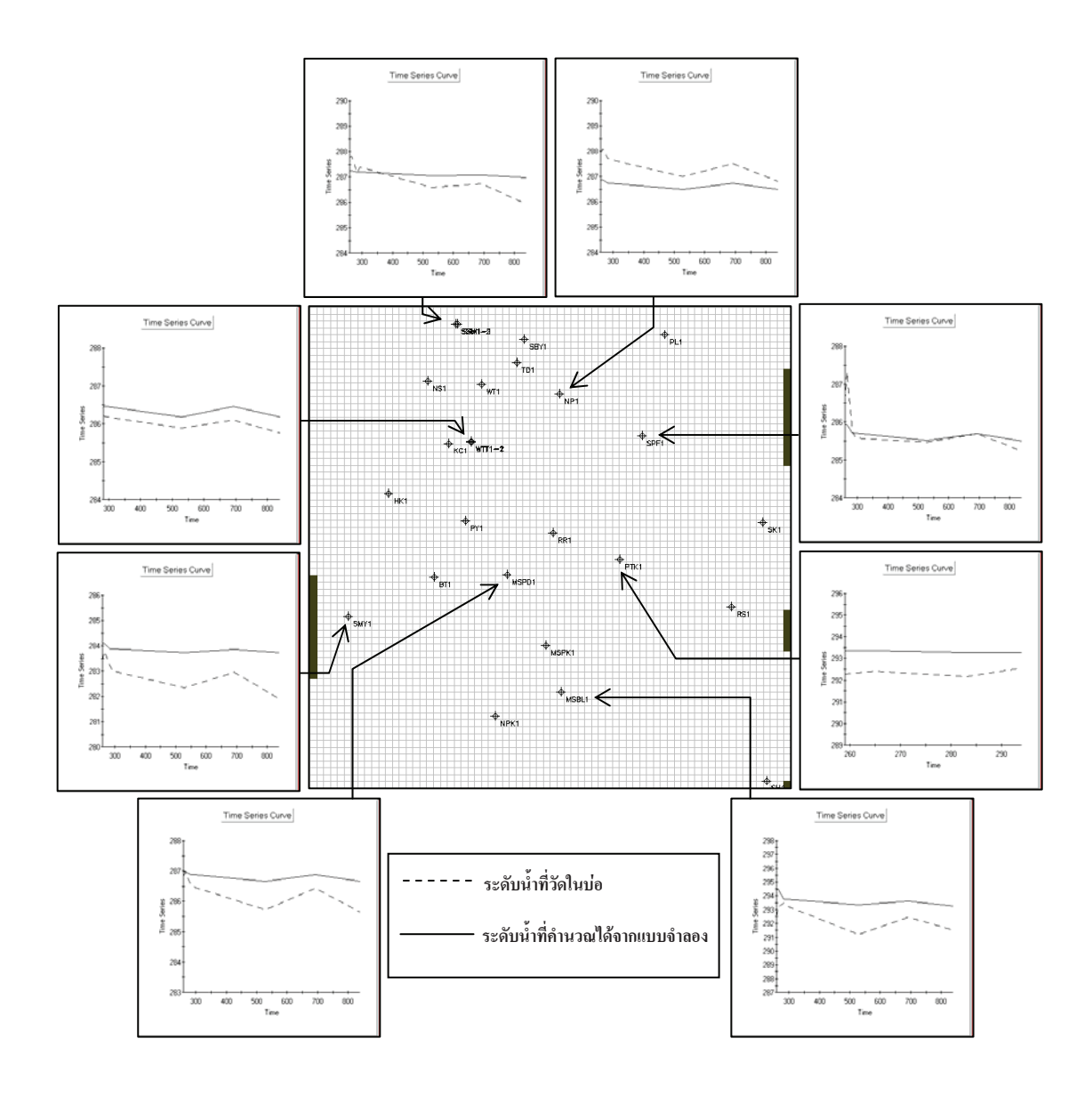
รูปที่ 21 ผลการจำลองการไหลในพื้นที่ศึกษา (water table contour map)





รูปที่ 22 ผลการปรับแบบจำลองการไหลในสภาวะไม่คงที่ของแอ่งเชียงใหม่ (regional model) (ใช้ ข้อมูลระดับน้ำปี พ.ศ. 2547-2550)





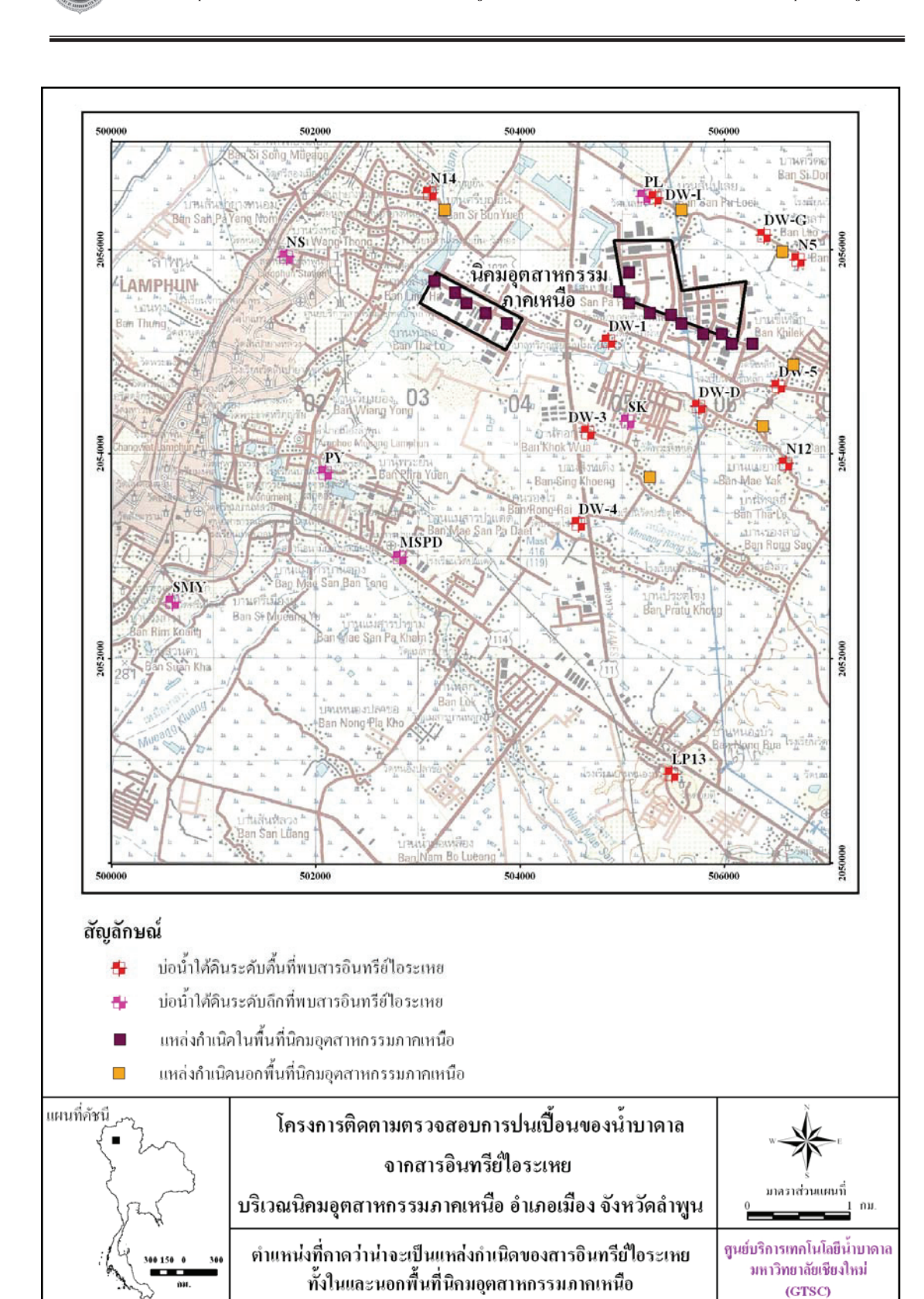
รูปที่ 23 ผลการปรับแบบจำลองการใหลในสภาวะไม่คงที่ของพื้นที่ศึกษา (local model) (ใช้ข้อมูล ระดับน้ำปี พ.ศ. 2547-2550)

## 11. แบบจำลองการเคลื่อนที่ของมวลสาร

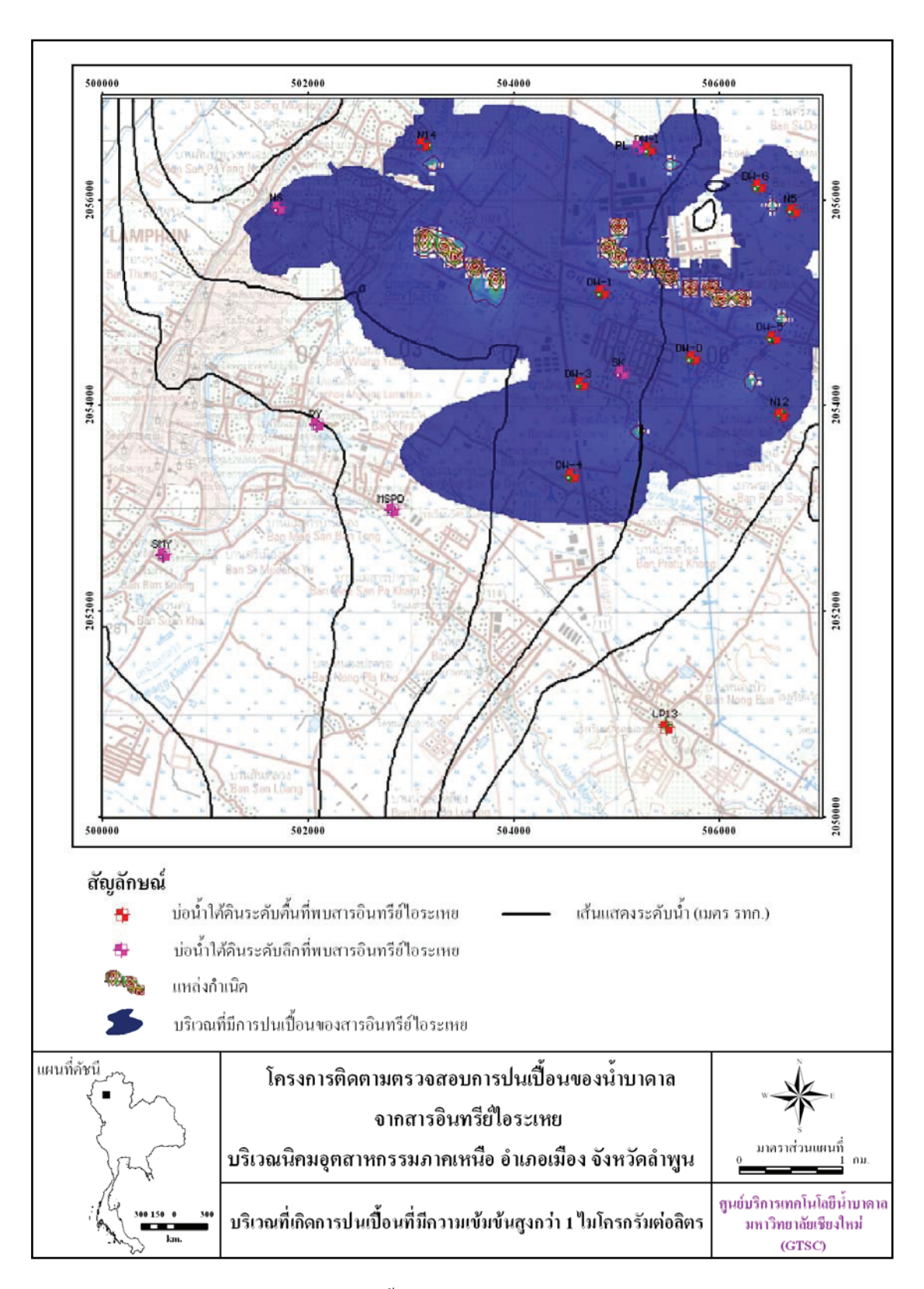
แบบจำลองการเคลื่อนที่และการแพร่กระจายตัวของสารอินทรีย์ใอระเหยในน้ำใต้ดิน ได้จัดทำ ขึ้นด้วยโปรแกรม MODPATH<sup>®</sup> (Pollock, 1998) และ RT3D<sup>®</sup> (Clement, 1997) ใน Visual MODFLOW<sup>®</sup> เวอร์ชัน 4.2 โดยทั้งสองโปรแกรม ใช้วิธีการ finite-difference เช่นเดียวกันกับแบบจำลองการไหลของน้ำใต้ดิน

การจำลองการเคลื่อนที่ของมวลสารในน้ำใต้ดิน ต้องอาศัยอัตราการใหลของน้ำใต้ดิน ที่ได้จาก แบบจำลองการใหล (MODFLOW) เพื่อจำลองการแพร่กระจายตัวของสารอินทรีย์ใอระเหยในพื้นที่ศึกษา หรือ local model โดยในขั้นแรก ได้ใช้แบบจำลองดังกล่าวค้นหาแหล่งกำเนิดสารอินทรีย์ใอระเหย ด้วย ใช้วิธีการคำนวณแบบย้อนกลับ (back-tracking simulation) โดยใช้บ่อสังเกตการณ์ที่ตรวจพบว่ามีการ ปนเปื้อนของสารอินทรีย์เป็นจุดตั้งต้น แล้วใช้แบบจำลองคำนวณย้อนกลับ ไปหาว่า แหล่งกำเนิด สารอินทรีย์ใอระเหยอยู่ตำแหน่งใด จากนั้นจึงใช้จุดกำเนิดดังกล่าวเป็นจุดตั้งต้น ในการจำลองไปข้างหน้า (forward simulation) เพื่อหาขอบเขตการปนเปื้อนและการกระจายตัวของสารอินทรีย์ใอระเหย ณ เวลา ต่างๆ เพื่อประเมินมูลค่าความเสียหายที่เกิดขึ้นกับทรัพยากรน้ำใต้ดินในพื้นที่ศึกษา

ผลการจำลอง แสดงตำแหน่งที่คาดว่าน่าจะเป็นแหล่งกำเนิดสารอินทรีย์ใอระเหย ทั้งในพื้นที่ นิคมอุตสาหกรรมภาคเหนือและชุมชนโดยรอบ (6 ตำแหน่ง) ดังรูปที่ 24 และแสดงให้เห็นว่า ขอบเขต การปนเปื้อนครอบคลุมตำแหน่งบ่อบาดาล/บ่อตื้นที่ตรวจพบว่ามีการปนเปื้อน ดังรูปที่ 25 นอกจากนั้น ผลการจำลองดังกล่าว สามารถนำมาคำนวณหาปริมาตรของน้ำใต้ดินที่มีการปนเปื้อนด้วยสารอินทรีย์ ใอระเหย พบว่า ณ สถานการณ์ปัจจุบัน ปริมาตรน้ำใต้ดินที่ได้รับการปนเปื้อนจากสารอินทรีย์ใอระเหย ที่ มีความเข้มข้นมากกว่า 1.0 ไมโครกรัมต่อลิตร มีประมาณ 44.0 ล้านลูกบาศก์เมตร



รูปที่ 24 ตำแหน่งที่คาดว่าน่าจะเป็นแหล่งกำเนิดของสารอินทรีย์ใอระเหยทั้งในและนอกพื้นที่ นิคมอุตสาหกรรมภาคเหนือ



รูปที่ 25 บริเวณที่เกิดการปนเปื้อนที่มีความเข้มข้นสูงกว่า 1 ไมโครกรัมต่อลิตร



ผลการศึกษาด้วยแบบจำลองการเคลื่อนที่ของมวลสาร แสดงขอบเขตการปนเปื้อนดังรูปที่ 25 โดยพบว่า ณ สถานการณ์ปัจจุบัน ปริมาตรน้ำใต้ดินที่ได้รับการปนเปื้อนจากสารอินทรีย์ไอระเหย ที่มี ความเข้มข้นมากกว่า 1.0 ไมโครกรัมต่อลิตร มีประมาณ 44.0 ล้านลูกบาศก์เมตร

สำหรับระดับของการปนเปื้อน พบว่า ถึงแม้ปริมาณสารอินทรีย์ใอระเหยที่ตรวจพบ ยังอยู่ใน มาตรฐานน้ำบริโภค (ยกเว้น ตรวจพบปริมาณเบนซิน สูงเกินมาตรฐาน ในตัวอย่างน้ำใต้ดินระดับลึก 1 ตัวอย่าง) แต่จัดได้ว่าอยู่ในระดับที่สูง โดยเฉพาะสารอินทรีย์ใอระเหยชนิด 1,1- dichloroethylene ; 1,2-dichloroethane ; Benzene ; Trichloroethylene ; 1,1,2-trichloroethane ; Tetrachloroethylene และ o-xylene นอกจากนั้นอาจกล่าวได้ว่า ระดับการปนเปื้อนในบ่อน้ำใต้ดินระดับลึก (บ่อเจาะ/บ่อบาดาล) มี มากกว่าบ่อน้ำใต้ดินระดับตื้น (บ่อวง)

ผลการศึกษา แสดงให้เห็นอย่างชัดเจนว่า น้ำใต้ดิน (ความลึกไม่เกิน 50 เมตร) ถูกปนเปื้อนด้วย การกระทำของมนุษย์ เนื่องจากสารอินทรีย์ใอระเหยไม่ใช่สารที่เกิดตามธรรมชาติ และสามารถคาดการณ์ ได้ว่า เกิดผลกระทบต่อสุขภาพอนามัยของประชากรในพื้นที่อย่างแน่นอน รวมทั้งก่อให้เกิดความเสียหาย กับทรัพยากรน้ำใต้ดินอย่างมาก ทั้งนี้ได้เสนอแนวทางการบำบัดฟื้นฟู ทั้งในลักษณะของแผนระยะสั้น และระยะยาว

สำหรับข้อเสนอแนะ จากผลการศึกษาของโครงการนี้ คือ ต้องใช้มาตรการทางด้านกฎหมายเข้า มาช่วย ในเรื่องของการแก้ไขหรือบรรเทาปัญหา รวมทั้งต้องทำการติดตามตรวจสอบการปนเปื้อนของ น้ำใต้ดินระดับตื้น ตามโครงการนี้ต่อไป และมีความจำเป็นอย่างยิ่งที่จะต้องทำการศึกษาการปนเปื้อนของ น้ำใต้ดิน ในระดับที่ลึกกว่า 50 เมตร

# **Executive Summary Report**

# Monitoring of Groundwater Contamination from Volatile Organic Compounds in Northern Region Industrial Estate, Mueang District, Lamphun Province

### **Submitted to**

**Department of Groundwater Resources** 

**March 2008** 

Prepared by
Chiang Mai University



## **Executive Summary Report**

#### 1. Rationale and Project Background

The Northern Region Industrial Estate (NRIE) is the first provincial industrial estate in Thailand. It was established in according with the Fourth and Fifth National Economic and Social Development Plans that aimed to extend the industrial development to the regions outside Bangkok. Construction of NRIE was completed in March 1985, located in Tambon Ban Klang, Mueang District, Lamphun Province, with more than 37,000 employees (data of 2006). The types of industries operated in NRIE include electronic, heavy equipment's spare parts manufacturing, agricultural, leather, food, wood-furniture, gems, and so on.

The Environmental Research and Training Center of the Department of Environmental Quality Promotion conducted a survey in the NRIE area and found the contamination of soils and shallow groundwater system from VOCs, especially Trichloroethylene (TCE), Toluene and Ethyl-methyl ketone. TCE is considered to be Group 2A carcinogen (probably carcinogenic to humans) according to International Agency for Research on Cancer (IARC) and World Health Organization (WHO). Remediation technologies are complex and expensive. Therefore, monitoring of groundwater contamination from VOCs in Northern Region Industrial Estate, Mueang District, Lamphun Province, is necessary. Then appropriate remediation techniques can be designed accordingly.

#### 2. Objectives of the Study

- To monitor the level and extent of groundwater contamination from volatile organic compounds in Northern Region Industrial Estate, Mueang district, Lamphun province and its immediate vicinity.
- 2) To evaluate the degree of contamination and contaminant dispersion pattern; and foresee the impact or threat to public health, and
  - 3) To find appropriate remediation techniques for the contaminated groundwater system.

#### 3. Study Area

The study area is located in the Northern Region Industrial Estate, Mueang District, Lamphun Province and its immediate vicinity, as shown in Figure 1.



#### 4. Scope of Study

- 1) Compile and review existing data and information.
- 2) Study geologic and hydrogeologic conditions of the NRIE area to delineate subsurface geologic formations.
- 3) Survey uses of groundwater by local people and measure the groundwater level to determine the groundwater flow direction.
  - 4) Conduct geophysical (resistivity) survey at AB/2 = 100 meters for 40 stations.
- 5) Build a network of groundwater monitoring wells to monitor the groundwater level and groundwater quality.
- 6) Study hydrogeologic conditions of the NRIE area to delineate the type and distribution of aquifers and evaluate the aquifers' hydraulic properties using pumping tests. Conduct a tracer test to determine the groundwater flow direction and contaminant dispersivity.
- 7) Conduct groundwater sampling and analyze for volatile organic compounds (1,1-dichloroethylene; trans-1,2-dichloroethylene; cis-1,2-dichloroethylene; chloroform; 1,2-dichloroethane; benzene; trichloroethylene; toluene; 1,1,2-trichloroethane; tetrachloroethylene; ethylbenzene; p-xylene and o-xylene) and heavy metals.
- 8) Construct a conceptual model and develop into a groundwater flow model, and eventually a solute transport model to predict the contamination trend and dispersion of volatile organic compounds.
  - 9) Analyse and assess the degree of contamination.
  - 10) Evaluate the degree of groundwater deterioration if restoration is not feasible.
- 11) Propose remedial measures, including budget estimation, if contamination does occur and needs remediation. Assess the positive and negative impacts of each remedial measure. If no contamination is detected, guidelines for the setup of a monitoring system will be proposed.



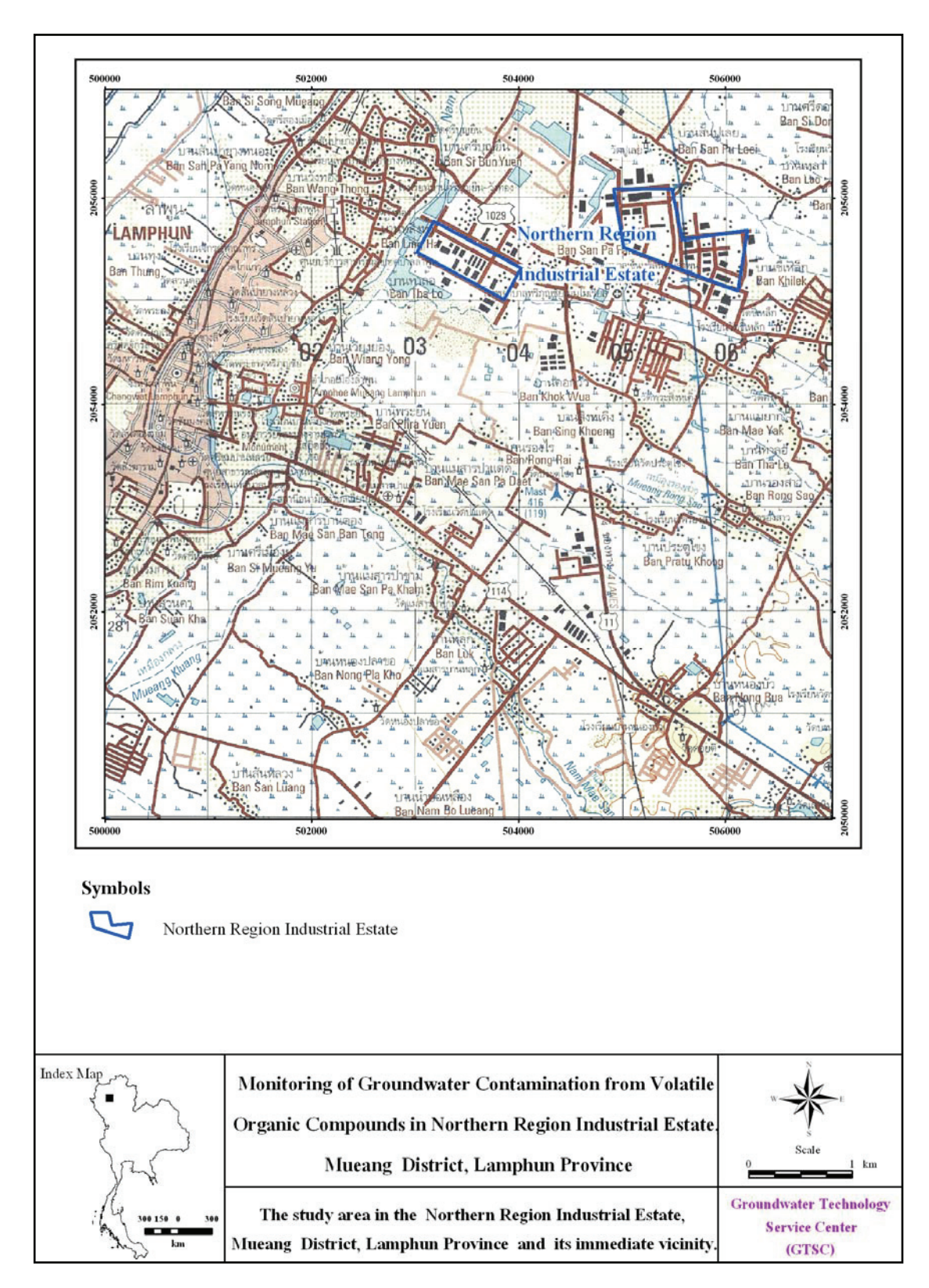


Figure 1 The study area in the Northern Region Industrial Estate, Mueang District, Lamphun Province and its immediate vicinity.



#### 5. Method of Study

A workflow of this study is shown in Figure 2. These include review of previous work; geological, geophysical and hydrogeological field surveys. All these data are compiled and integrated, then preparesd as the GIS data to be used for mathematical groundwater modeling. Groundwater deterioration is evaluated from the solute transport modeling. Remedial measures and guidelines for the setup of a monitoring system is proposed accordingly.

#### 6. Volatile Organic Compounds (VOCs)

Volatile Organic Compounds (VOCs) are classified as Non Aqueous Phase Liquids (NAPLs) which generally referred as organic fluids with low solubilities. NAPLs move as a separate phase and are often visible to the naked eye, as opposed to soluble contaminants that travel in groundwater. NAPLs have been widely used in various industries and are known to be present at numerous industrial and waste disposal sites. Due to their potential toxicity and widespread occurrence, they constitute a serious environmental problem.

NAPLs can be divided into two sub-groups, a light non-aqueous phase liquid (LNAPL) and a dense non-aqueous phase liquid (DNAPL). LNAPL are light liquids with a density less than water, implying that they tend to float and move along the top of the saturated groundwater zone. Examples of LNAPL are gasoline, benzene and xylene. DNAPL are dense liquids with a density higher than water, implying that they have a tendency to penetrate the water table and move deeper into the aquifer system. Examples of DNAPL are chlorinated solvents like TCE, TCA and PCE. The nature of contamination by NAPL in soils and groundwater are different from each other, as shown in Figure 3.

Thailand's groundwater standards set the safety criteria for the amount of dissolved substances in groundwater, including VOCs. Trichloroethylene (TCE), an industrial solvent used in dry cleaning, degreaser, fat extraction, and resin removers, is frequently found to be contaminant in many places. The effect of TCE on lab-animal and human health has continually been a subject of research, especially overseas. TCE is considered to be Group 2A carcinogen (probably carcinogenic to humans) according to International Agency for Research on Cancer (IARC) and World Health Organization (WHO).



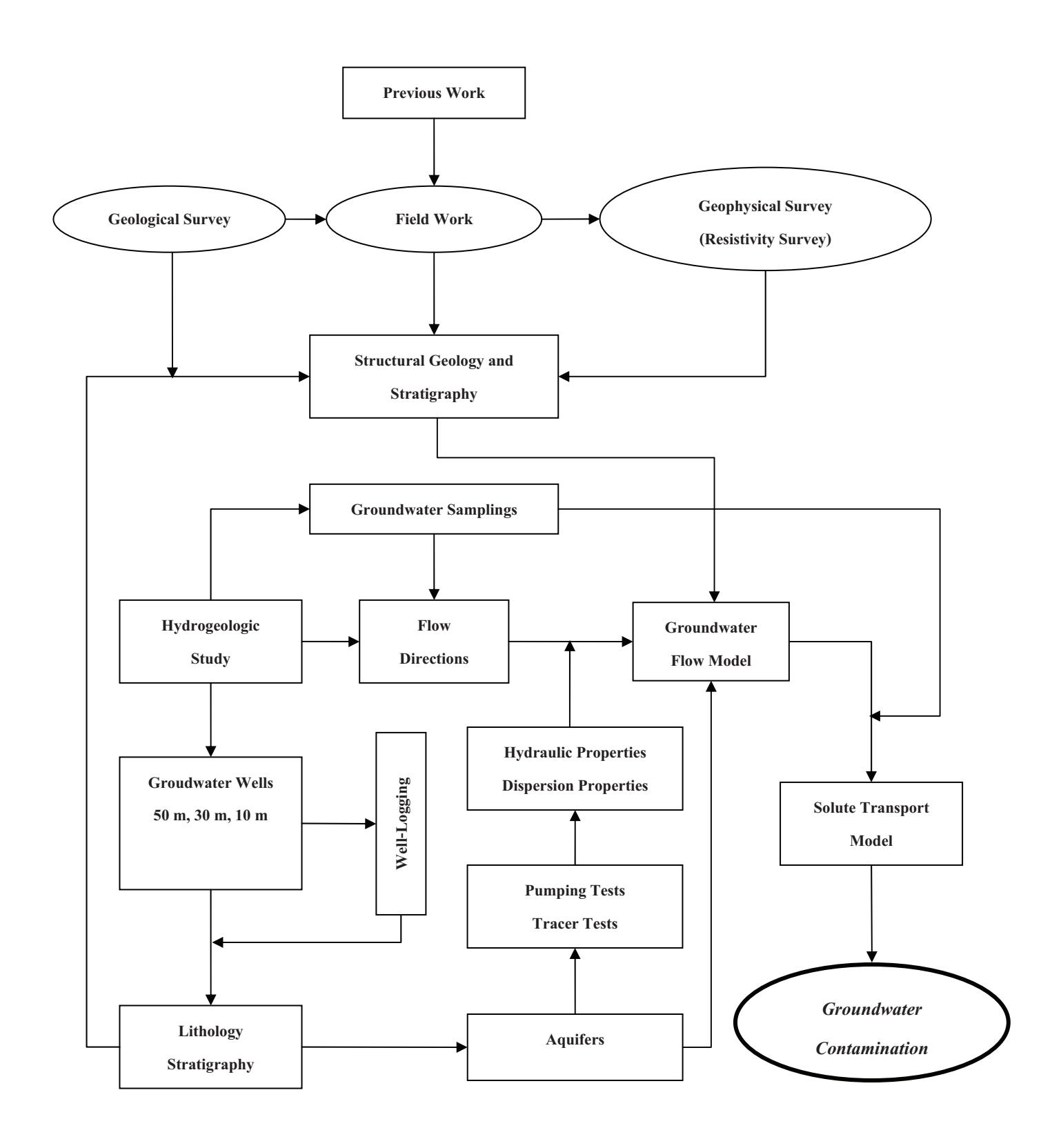
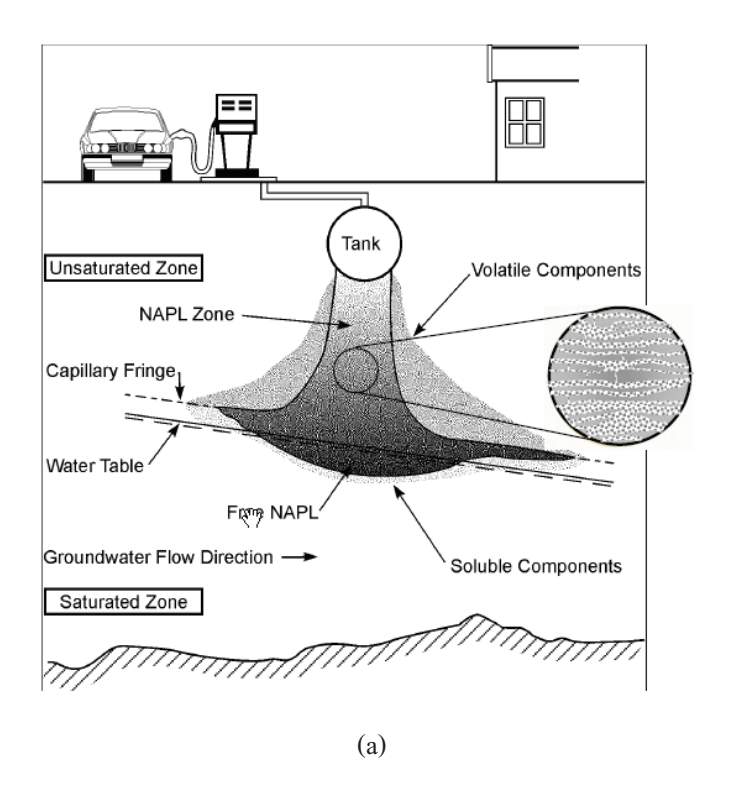


Figure 2 Project workflow.





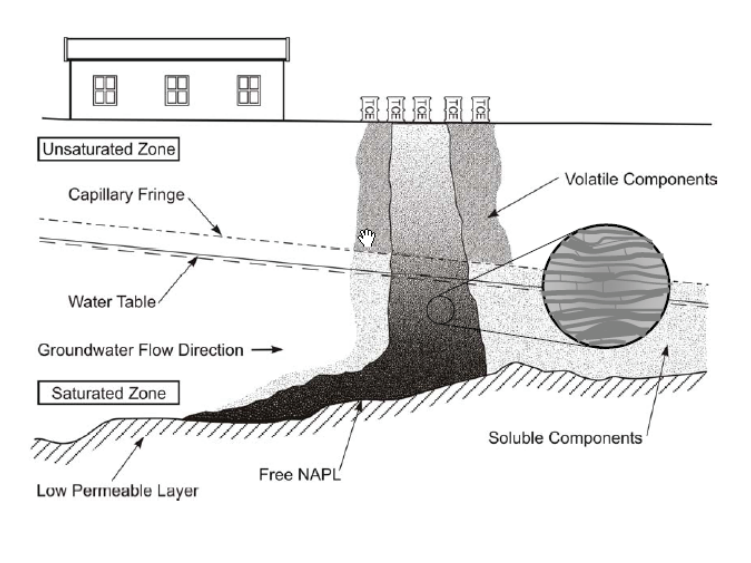


Figure 3 Idealized migration of (a) an LNAPL plume and (b) DNAPL plume (after Mayer and Hassanizadeh, 2005).

(b)

#### 7. Existing data and information

Subtavewang and Singharajwarapan (2007) assessed groundwater contamination vulnerability of the Chiang Mai basin by means of a GIS-based map which was created by the DRASTIC method using hydrogeologic elements. According to the vulnerability map, aquifer of the study area is ranked as low to moderate vulnerability except for the western part where the vulnerability was relatively high. This was resulted from its generally flat topography which was a flood-prone area. In addition to a high flood-risk potential, a general groundwater flow direction trending west and southwest resulted in a crucial need for rigorous groundwater monitoring of the area.

The Environmental Research and Training Center of the Department of Environmental Quality Promotion found chlorinated ethylene contamination in soils and groundwater of at least 3 factories in the NRIE (Milintapismai and others, 2001). These compounds included trichloroethylene; cis-1,2-dichloroethylene; trans-1,2-dichloroethylene and vinyl chloride whose concentrations were 7.22, 0.57, 0.35, and 0.32 mg/L, respectively. All of these compounds were far significantly beyond maximum contaminant levels (MCL).

The Good Governance for Social Development and the Environment Institute had funded an innovative research project on the Good Governance, Public Participation and the Decision making Process for Environmental Protection in 2006. The study uncovered significant destruction of the natural resources and environment due to rapid industrial expansion. The critical problem was shallow groundwater contamination from volatile organic chemicals used in the electronics industries in the NRIE which was in turn directly related to worker's health problems.

Singharajwarapan and others (2006) conducted a preliminary study on the assessment of shallow groundwater contamination from volatile organic compounds in the vicinity of the NRIE. The groundwater samples were taken from sixteen dug wells and it was found that twelve dug wells were already contaminated with one or more types of VOCs.

The Department of Environmental Promotion Quality (2004) conducted a preliminary investigation of the contaminated site nearby NRIE. The study included detailed geologic, sedimentological, hydrogeologic investigations, and groundwater modeling of the area. It was found that shallow groundwater generally flowed from east to west passing the NRIE and eventually reached the Kuang river.

Saenton and others (2007) used detailed information of the NRIE site to construct a steadystate groundwater flow model and a solute transport model to assess the size of the contaminant plume and damage to groundwater resource. They used trichloroethylene (TCE) as a contaminant of concern



and simulated contaminant transport for 30 years. However such model was only for demonstrative purpose because several model parameters, especially the solute transport model, were not determined or evaluated from field tests. The results could only be used to approximate the extent of the

#### 8. Geologic Setting

contaminant plume.

The study area is located in Quaternary deposits in the southern part of Chiang Mai basin. The Quaternary deposits can be divided into 2 groups namely, low terrace and alluvial deposits, and the alluvial deposits of Ping and Kuang rivers which consist of clay, silt and sand.

Well log data have been used in delineating the subsurface geology. Three sequences are proposed as Sequence I of depth 0-20 meter, Sequence II of depth 20-45 meter, and Sequence III of depth 45-65 meter. Each sequence generally consists of clay, sand and gravel with difference detailed properties. Lithofacies maps are constructed every 5 meter of depth, start from 5 meter down to 100 meter. Distribution of sediments are revealed as follows

From ground surface down to 20 meter, sediments are mainly clay. Sand and gravel are found as elongated shape in northeast-south direction.

At depth between 20-45 meter, sand and gravel are more distributed in the southern part as a strip from east to west. This strip has a width of about 1 kilometer, and winding with a pattern like meandering river. Clay is mostly found in the northern part.

At depth between 45-100 meter, sand and gravel are less distributed than the shallow part. However, a strip of sand and gravel is still presented in northeast – southwest direction. Major sediments are clay.

Lithofacies map at depth of 20, 40, and 80 meter are illustrated in Figure 5, 6, and 7 respectively.





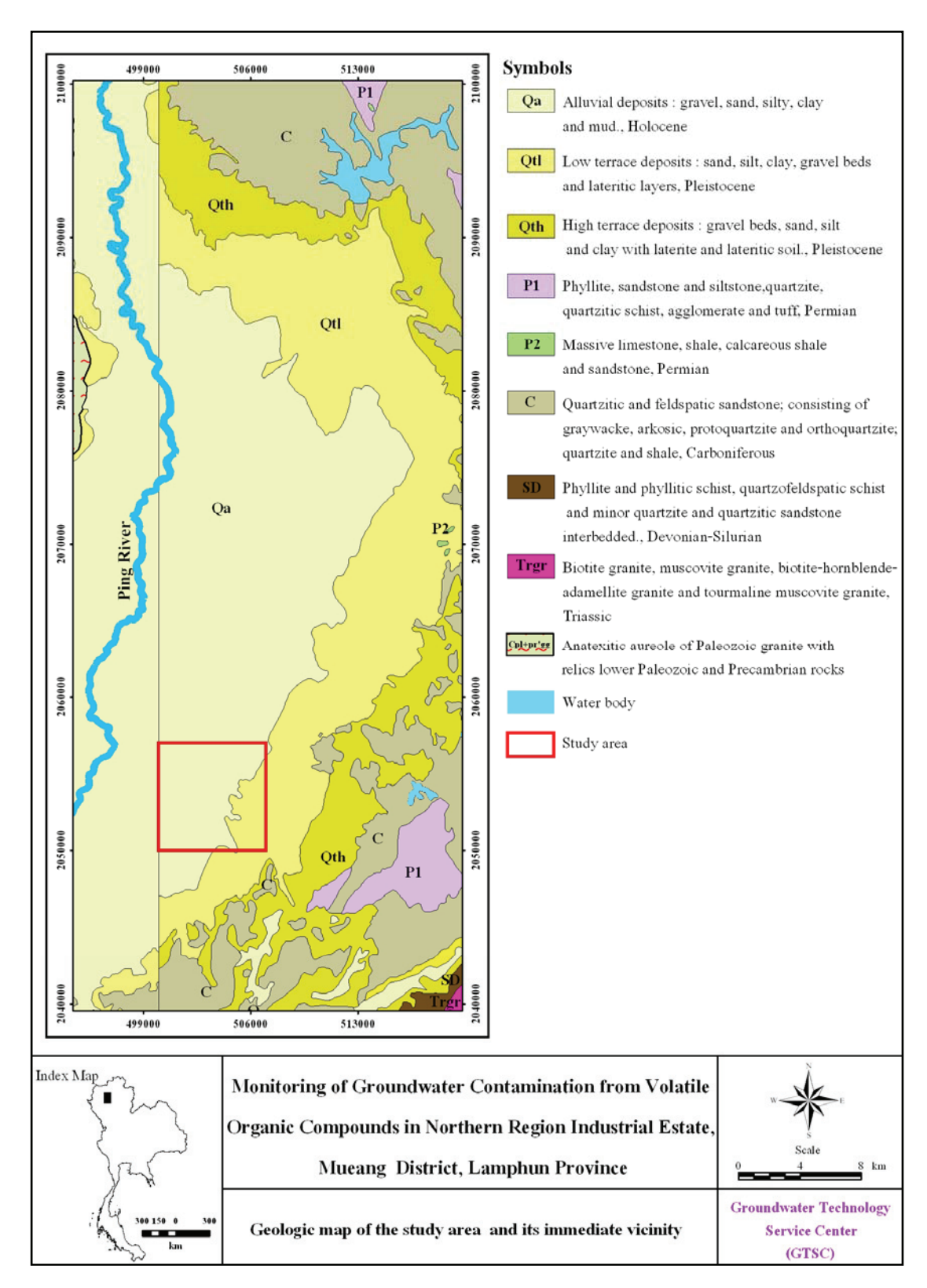


Figure 4 Geologic map of the study area and its immediate vicinity (modified from Department of Mineral Resources, 2000).

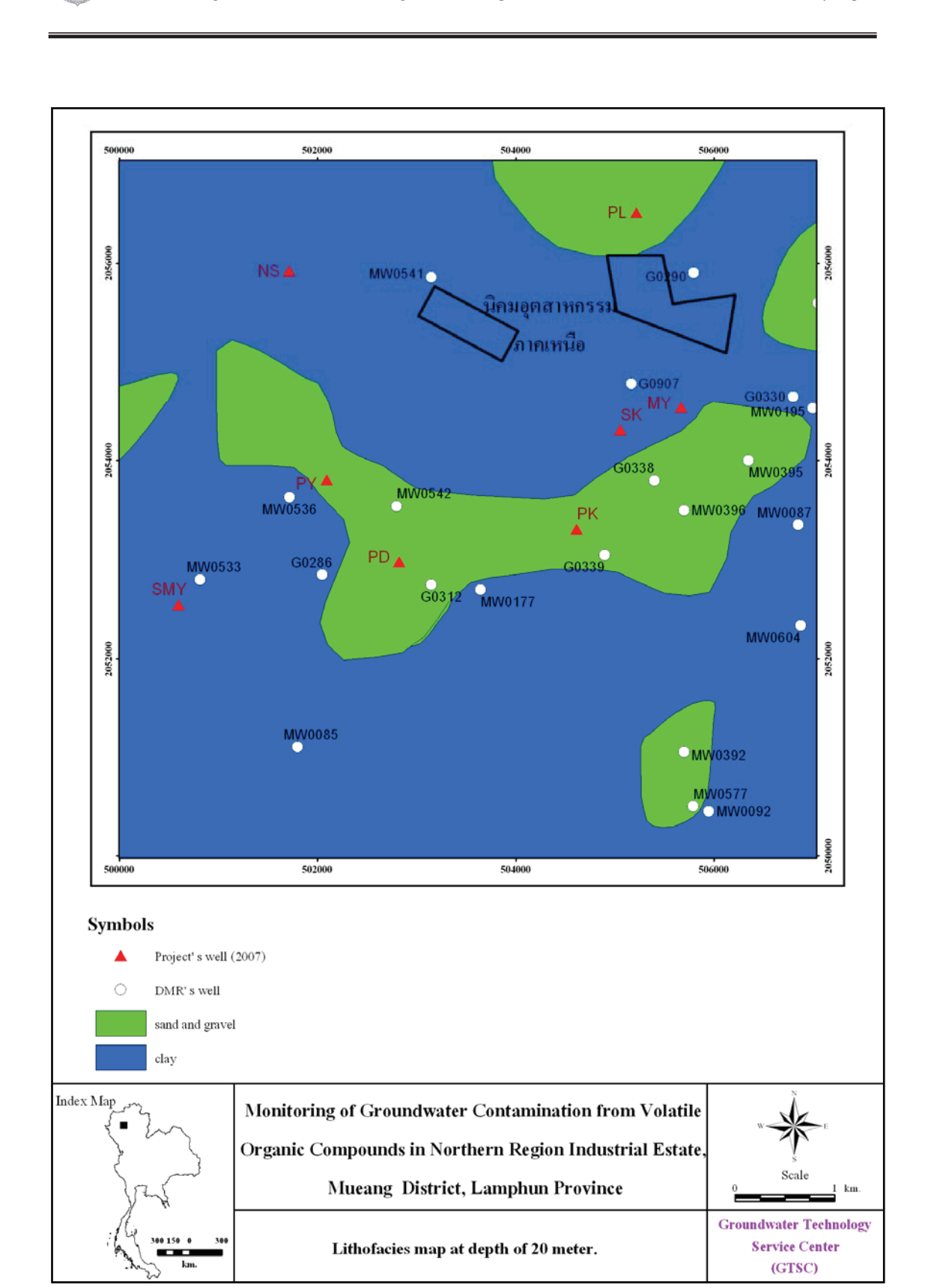


Figure 5 Lithofacies map at depth of 20 meter.

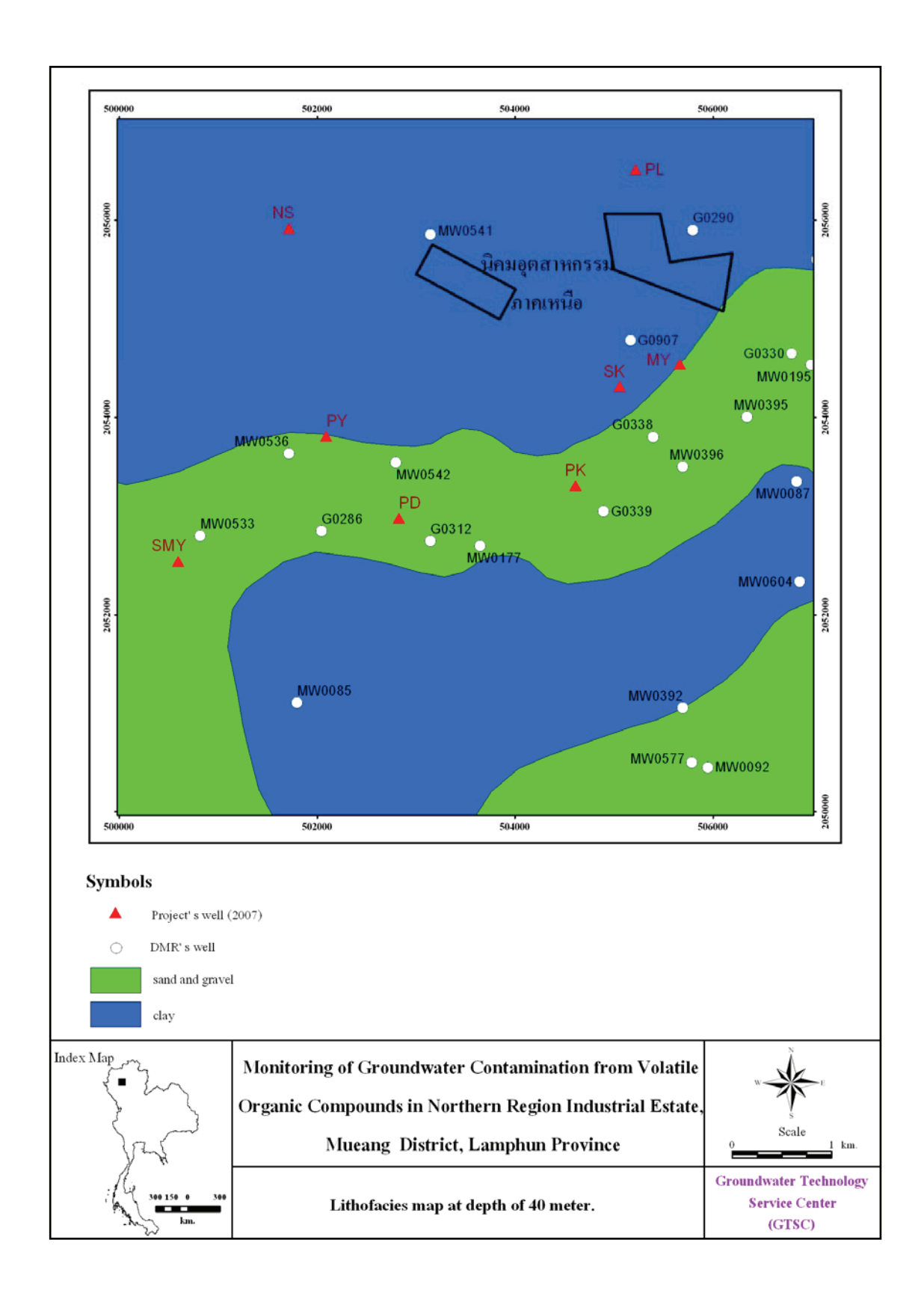


Figure 6 Lithofacies map at depth of 40 meter.



Figure 7 Lithofacies map at depth of 80 meter.

Lithofacies map at depth of 80 meter.



Service Center (GTSC)



#### 9. Hydrogeologic Setting

#### 9.1 Groundwater Aquifers

Using detailed information on lithologic- and geophysical-logs of the shallow groundwater aquifers, this study subdivided aquifers into three main aquifers which included:

- Aquifer I: This aquifer is located at the depth of 0-20 m. The uppermost and lowermost hydrogeologic units consist of thick layer of clays. The middle portion is the main aquifer consisting of non-continuous gravelly sand lenses with varying thickness. Sands are typically medium to coarse. In some areas clayey gravel are also common.
- 2) Aquifer II: This aquifer is located at the depth from 20 to 45 m. The aquifers are multiple medium- to fine-sand lenses inter-fingering with clays. The thicknesses of these aquifers are not uniform and they lack of continuity. In some areas, gravelly aquifers are also found.
- 3) Aquifer III: This aquifer is located at the depth of 45-65 m. They consist of mostly coarse sands with some existence of gravels. Similar to the first two aquifer, thickness and lateral continuity are spatially variable.

#### 9.2 Hydraulic Properties of Aquifers

In this study, several hydraulic tests were conducted to obtain parameters needed for subsequent setup of groundwater flow and solute transport models. Eleven pumping tests and six slug tests were carried out for aquifers in all sequences. The values of transmissivity (T), hydraulic conductivity (K), storage coefficient (S), and aquifer ansisotropy ( $K_{\downarrow}/K_{h}$ ) were determined based on these results and shown in Table 1.

In addition, conservative tracers test were also performed for all aquifers to determine longitudinal dispersivities ( $\Omega_L$ ) which will subsequently be used in solute transport model. Five tracer tests were executed and the resulting dispersivities were shown in Table 2 which ranged from 8.7 to 22.5 m.



Table 1 Pumping test results.

Sequence	Depth	$T$ $(m^2/day)$	K (m/day)	S(-)	Anisotropy $(K_{\nu}/K_{h})$
		(III /day)	(III/day)		$(\mathbf{K}_{\sqrt{\mathbf{K}_{h}}})$
	0.20	21.2.120.0	26115	$2.45\times10^{-3}$	0.01.1.0
1 (	0-20	31.2-138.0	2.6-11.5	5.75×10 <sup>-7</sup>	0.81-1.0
2 20-4	20.45	0.39-55.2	0.049-6.9	1.63×10 <sup>-3</sup> -	0.77 – 1.0
	20-45			8.76×10 <sup>-4</sup>	
3	45-65	8.88-77.6	1.11-9.7	1.72×10 <sup>-3</sup> -	0.68-1.0
				6.79×10 <sup>-3</sup>	

Table 2 Conservative tracer test results.

Sequence	Depth	Dispersivity, $\alpha_L$ (m)
1	0-20	16.3-22.5
2	20-45	9.2-12.1
3	45-65	8.7

#### 9.3 Groundwater Levels and Flow Directions

Generally, the shallow groundwater level of the dug wells were in the range of 1-10 m, while groundwater level of drilled wells were in the range of 5-25 m. The groundwater flow directions in both shallow and deep aquifers were toward the western and southwestern parts of the study area with some of the flow lines directing toward the northwest (Figures 8 and 9). It should be noted that shallow groundwater flow directions were more variable than deep aquifer. This could be due to the lateral discontinuity and variable thickness of the aquifers. Another possibility could arise from differential water use in some areas compared to the others.

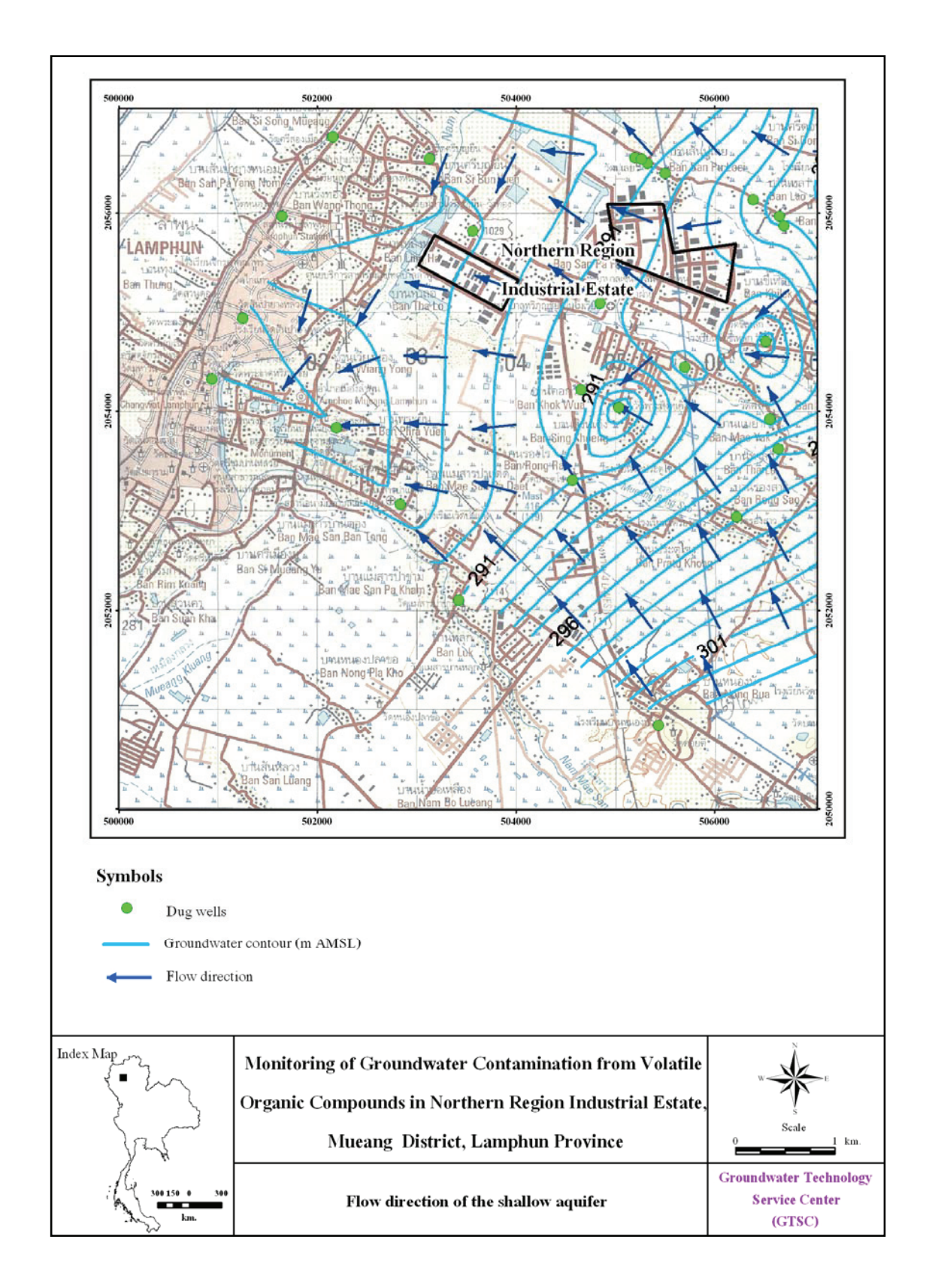
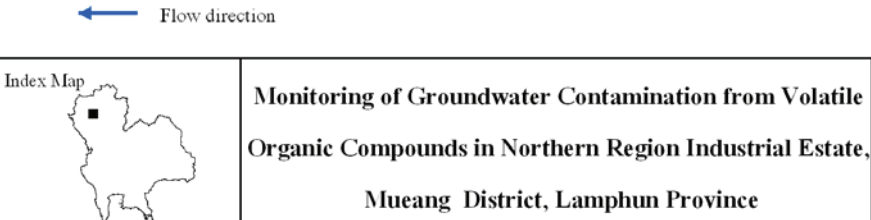


Figure 8 Flow direction of the shallow aquifer.







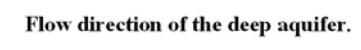


Figure 9 Flow direction of the deep aquifer.



#### 9.4 Groundwater Quality

In this study, thirty shallow groundwater samples from dug wells and thirty deep groundwater samples from boreholes (Figure 10) were collected and analyzed for physical and chemical properties including heavy metal contents. It was found that most of the shallow groundwaters were not suitable for use as a drinking water supply according to the regulated standards in the following categories: turbidity, hardness, total dissolved solids, anions contents (chloride, fluoride, nitrate, and sulfate) and iron and manganese contents. For deeper aquifers, it was found that groundwater at some locations were not potable due to the same reason mentioned above. Nevertheless, the contamination of heavy metals was not detected except for some samples where zinc content was high but still lower than standards.

#### 9.5 Groundwater Quality with Respect to Volatile Organic Comounds

Sixty groundwater samples were collected from dug wells and groundwater wells twice during wet and dry seasons. The samples were analyzed for thirteen commonly found volatile organic compounds including 1,1- dichloroethylene; trans-1,2-dichloroethylene; cis-1,2-dichloroethylene; chloroform; 1,2-dichloroethane; benzene; trichloroethylene; 1,1,2-trichloroethane; toluene; tetrachloroethylene; ethylbenzene; p-xylene and o-xylene, in order to assess the groundwater contamination. The results of analyses indicated that at least one or more volatile organic compounds in the aforementioned list were detected in 12 out of 30 dug wells (Figure 11) and 18 out of 30 groundwater wells (Figure 12). Although VOC concentrations in groundwater were not exceed maximum contaminant levels of the groundwater standard, but some VOC concentration is obviously high. This result implied that groundwater contamination in the study area was of anthropogenic origin. It was speculated that there would be significant impacts on public health and groundwater resource in the area.

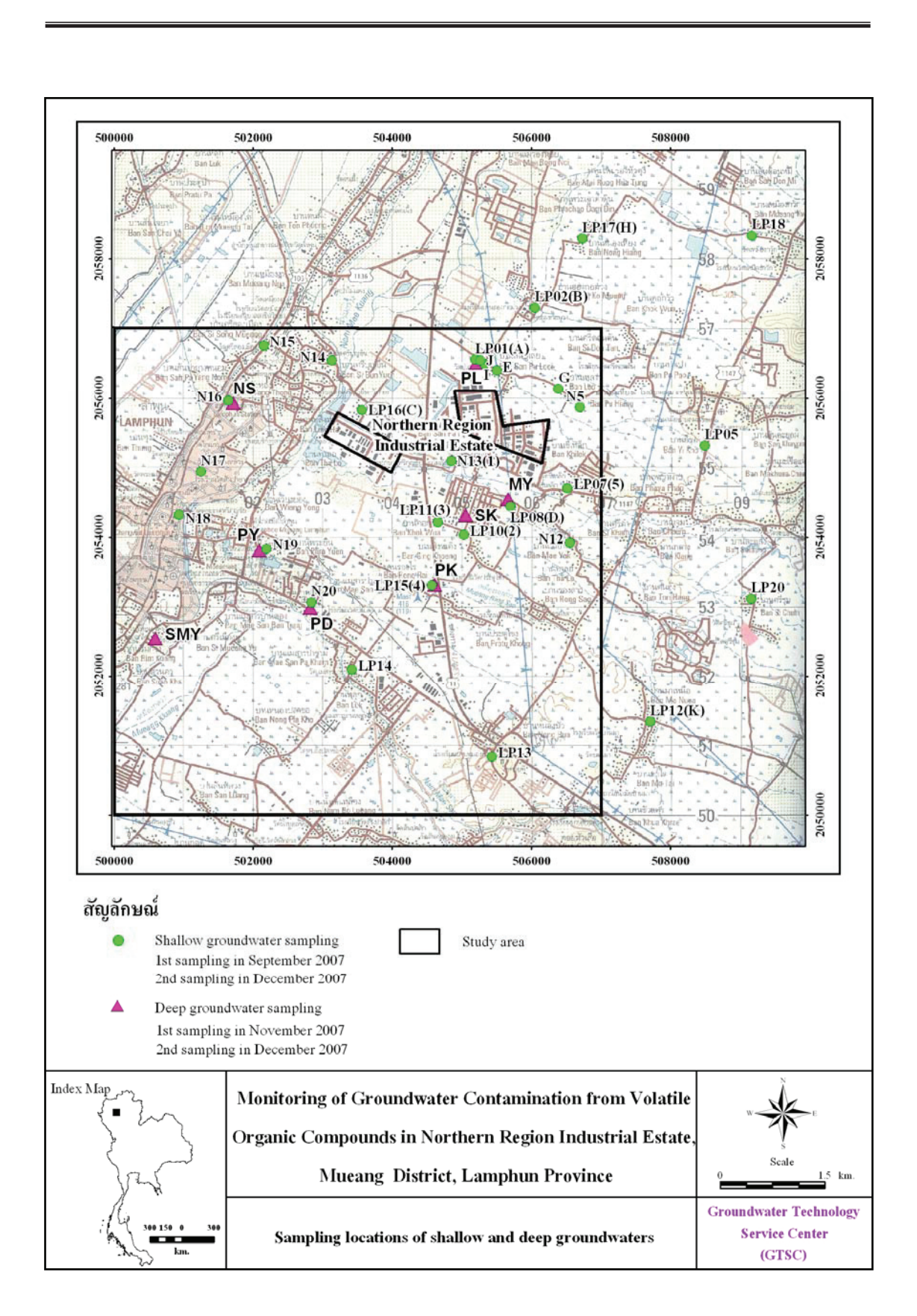


Figure 10 Sampling locations of shallow and deep groundwaters.



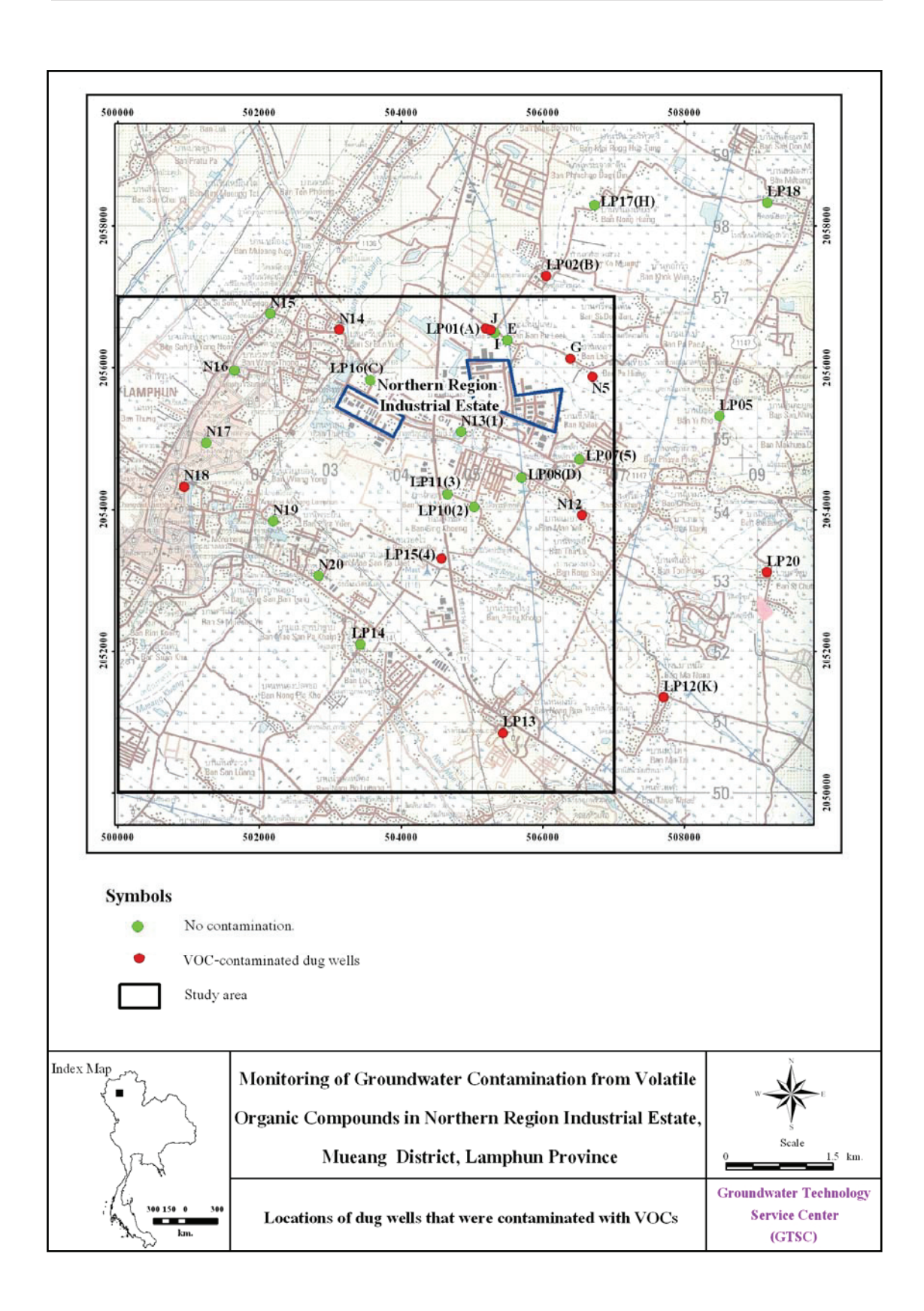


Figure 11 Locations of dug wells that were contaminated with VOCs.



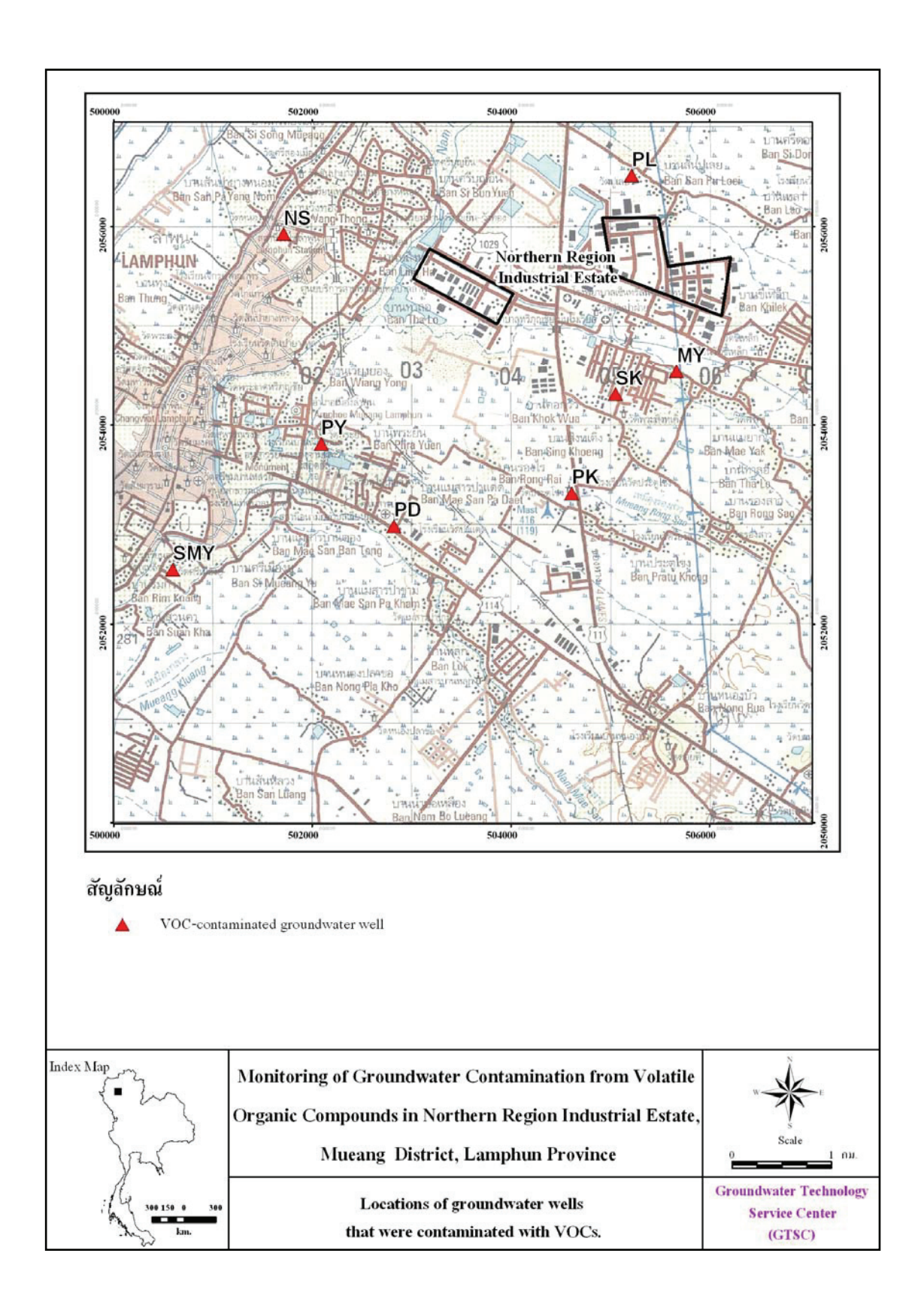


Figure 12 Locations of groundwater wells that were contaminated with VOCs.



Monitoring of Groundwater Contamination from Volatile Organic Compounds



#### 10. Groundwater Flow Model

Groundwater flow models of the study area were set up using telescoping mesh refinement technique which resulted in two flow models namely regional- and local-scale flow models. The largerarea regional model represented the entire unconsolidated and semi-consolidated aquifers of the 2,800km<sup>2</sup> Chiang Mai-Lamphun basin (Figure 13). The latter, a more-refined, local-scale model covered an area of 7×7 km<sup>2</sup> (UTM-E:500,000-507,000, UTM-N: 2,050,000-2,057,000) which included the study area of the Northern Region Industrial Estate (NRIE), Lamphun province (Figure 14).

Groundwater flow model setup for both scales followed generic steps described in Figure 15. First, a conceptual model of the area was developed. Then, such conceptual model was converted to a mathematical flow model to simulate groundwater flow regime under both steady-state and transient conditions. The mathematical model is a finite-difference based program called MODFLOW which is a package in Visual MODFLOW version 4.2 (Waterloo Hydrogeologic, Inc, 2006). Next, a model calibration was carried out in order to reproduce actual flow conditions by automatically adjusting model parameters. Lastly, the calibrated flow model was used to construct a solute transport model for simulating fate and transport of volatile organic compounds in the study area.

In simulating groundwater flow and solute transport of both regional and local flow models, groundwater levels averaged over the year 2003 were used in a steady-state simulation which was then used as a starting point for subsequent transient runs. The transient flow model simulation used groundwater levels monitored during 2004-2007 for calibration, and predicted the flow regime for the next 20 years. The values of hydraulic heads in the regional model were used as head-dependent boundary conditions for local-scale model. The simulation time periods in a local model corresponded exactly to the regional model.

Figures 16-19 illustrated conceptual models and spatial discretization of both the regional and local models. The steady-state simulations, presented as water table contour maps, for both models were illustrated in Figures 20 and 21, respectively.. The transient model calibrations for both models were also shown in Figures 22 and 23, respectively.

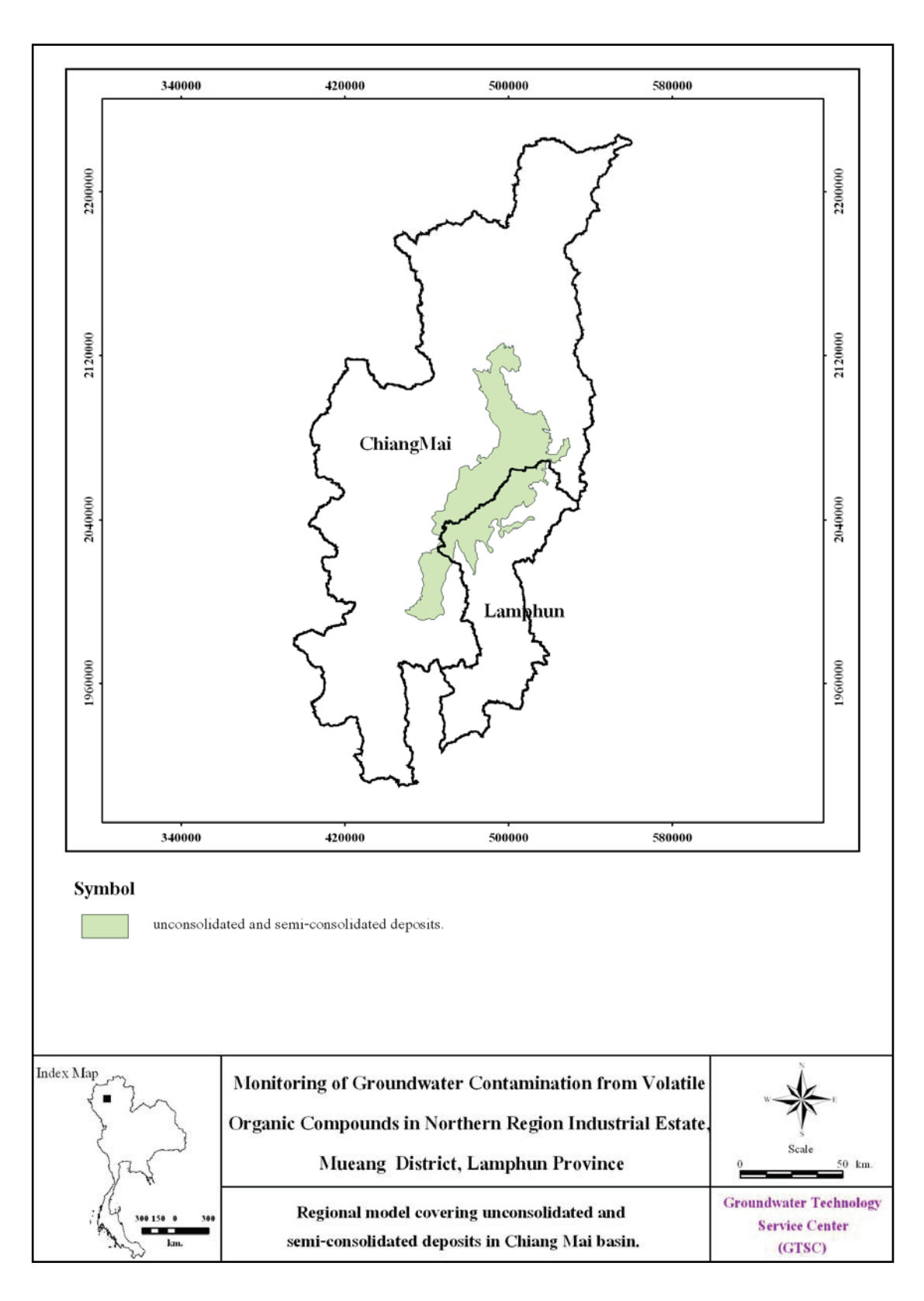


Figure 13 Regional model covering unconsolidated and semi-consolidated deposits in Chiang Mai basin.

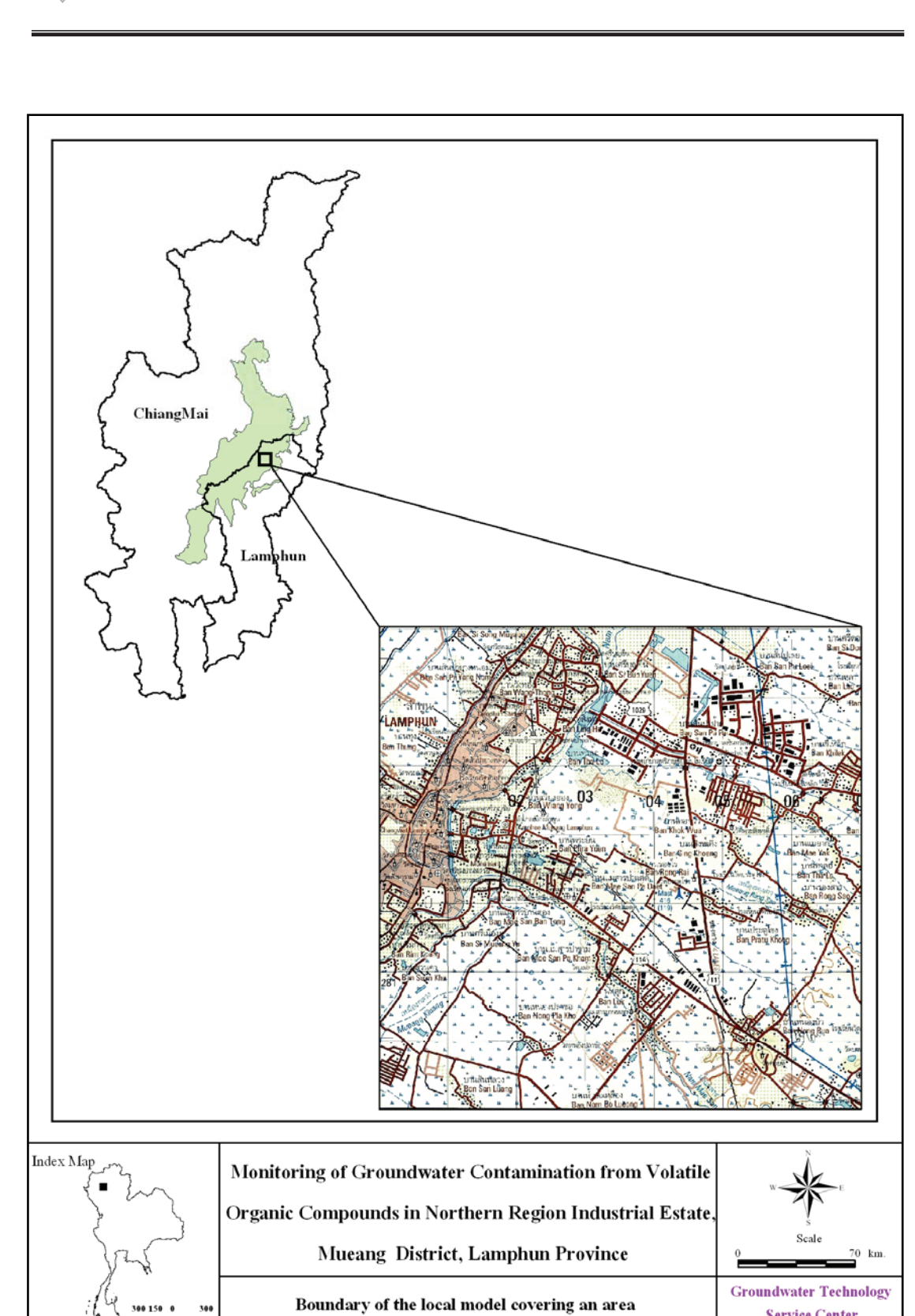


Figure 14 Boundary of the local model covering an area of 7×7 km<sup>2</sup>.

of 7X7 square kilometers



Service Center

(GTSC)

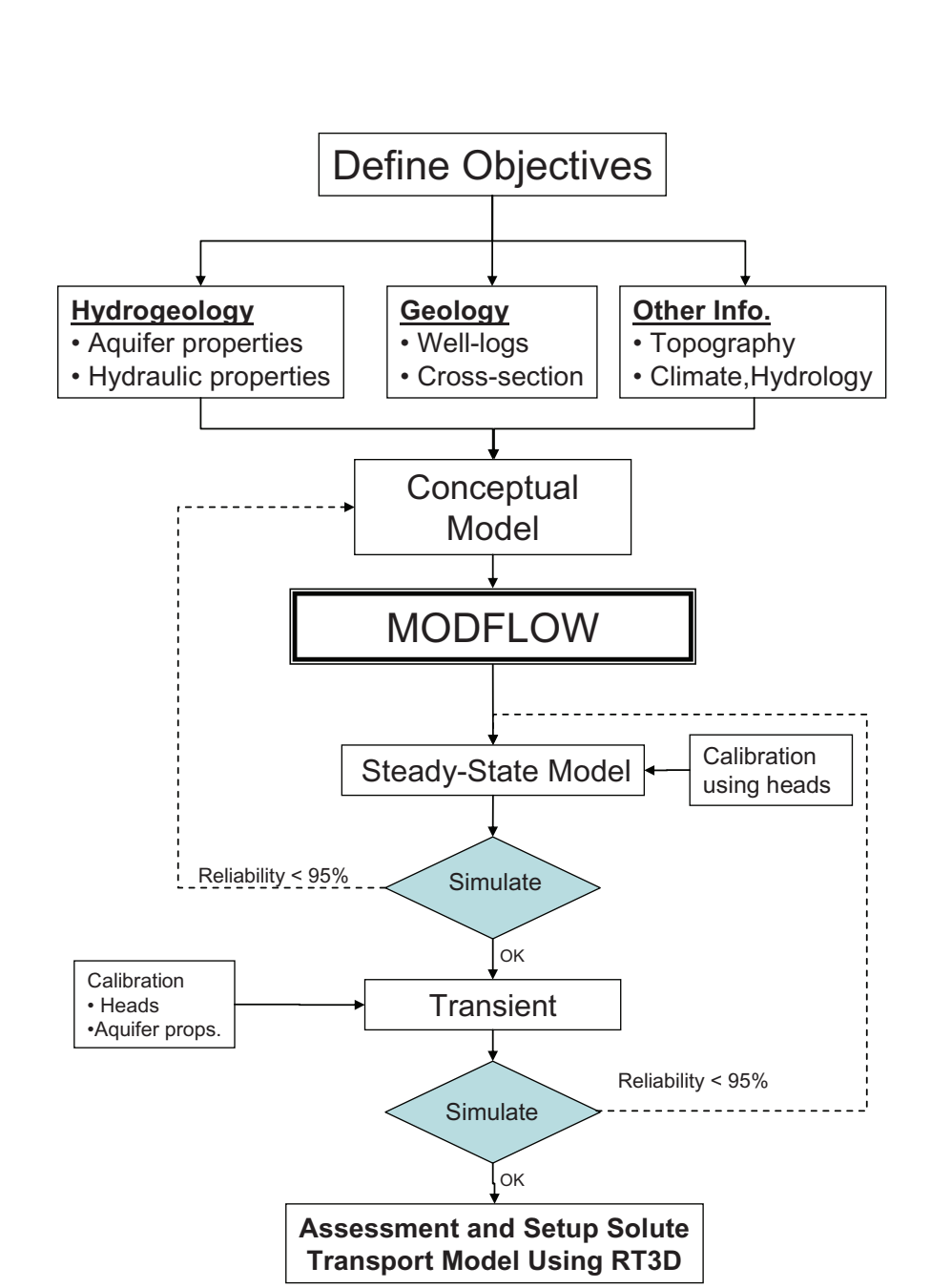


Figure 15 Model setup algorithms.



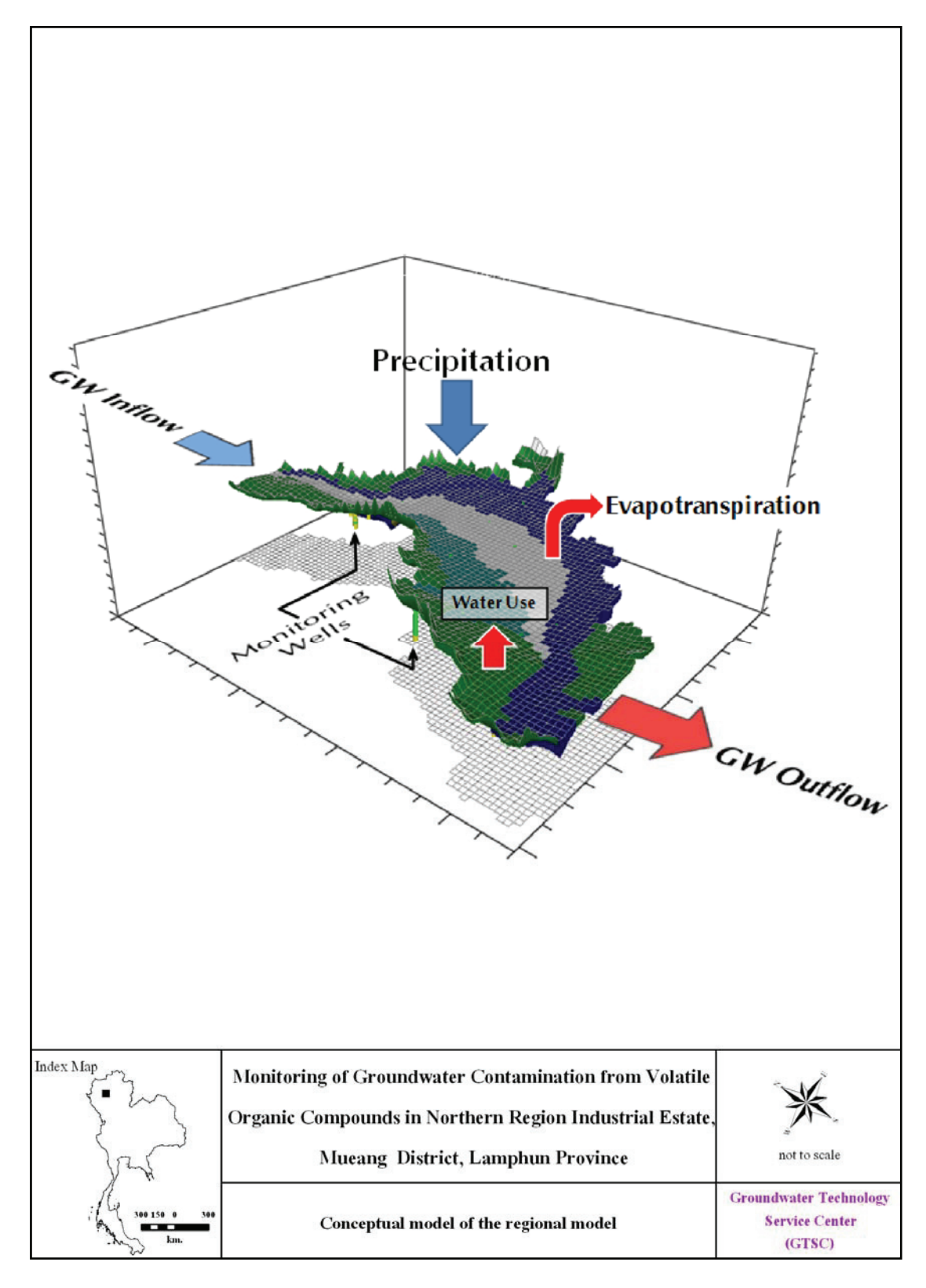


Figure 16 Conceptual model of the regional model.

Figure 17 Conceptual model of a local model.

Conceptual model of a local model.



Service Center (GTSC)

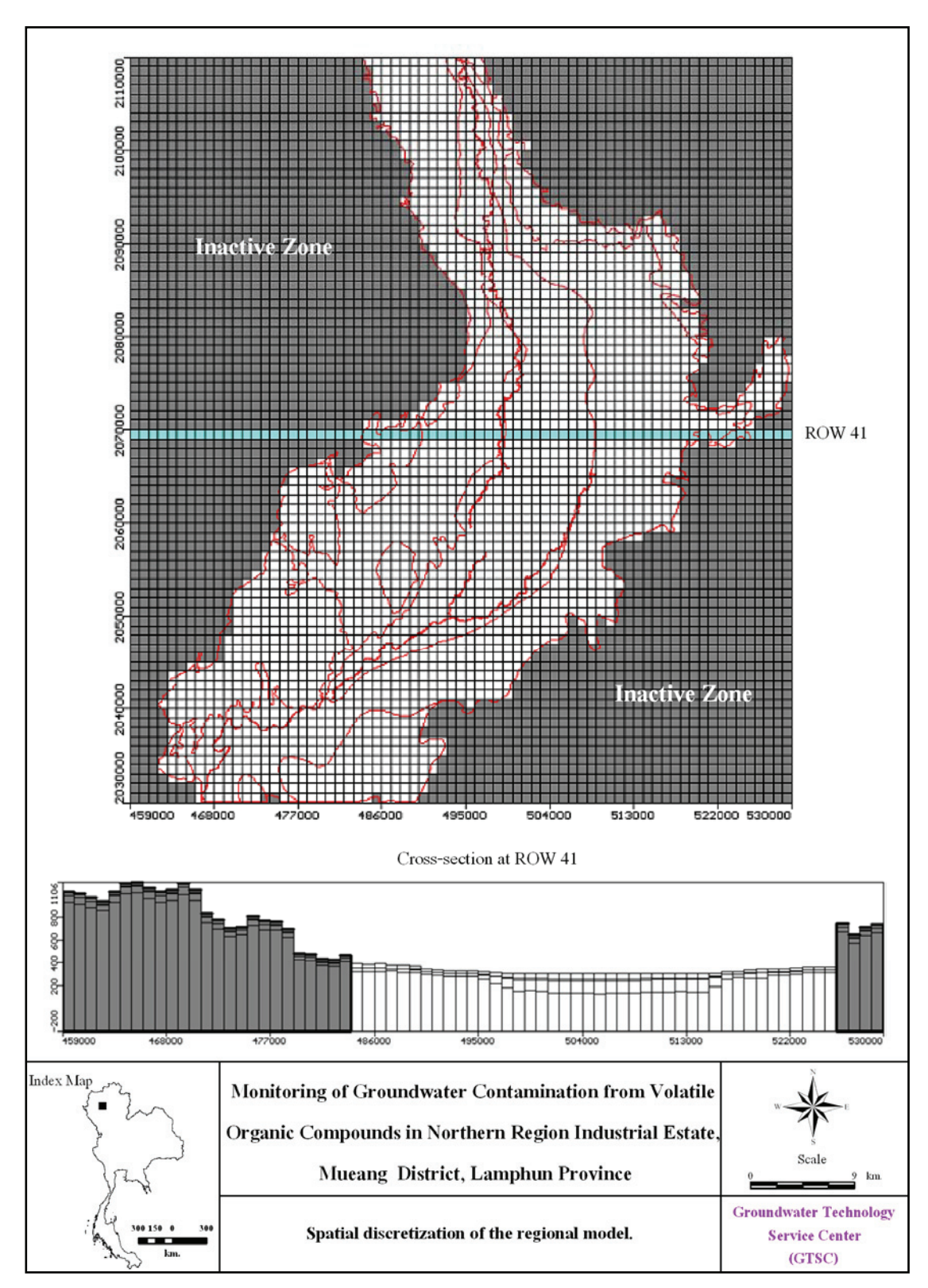


Figure 18 Spatial discretization of the regional model.



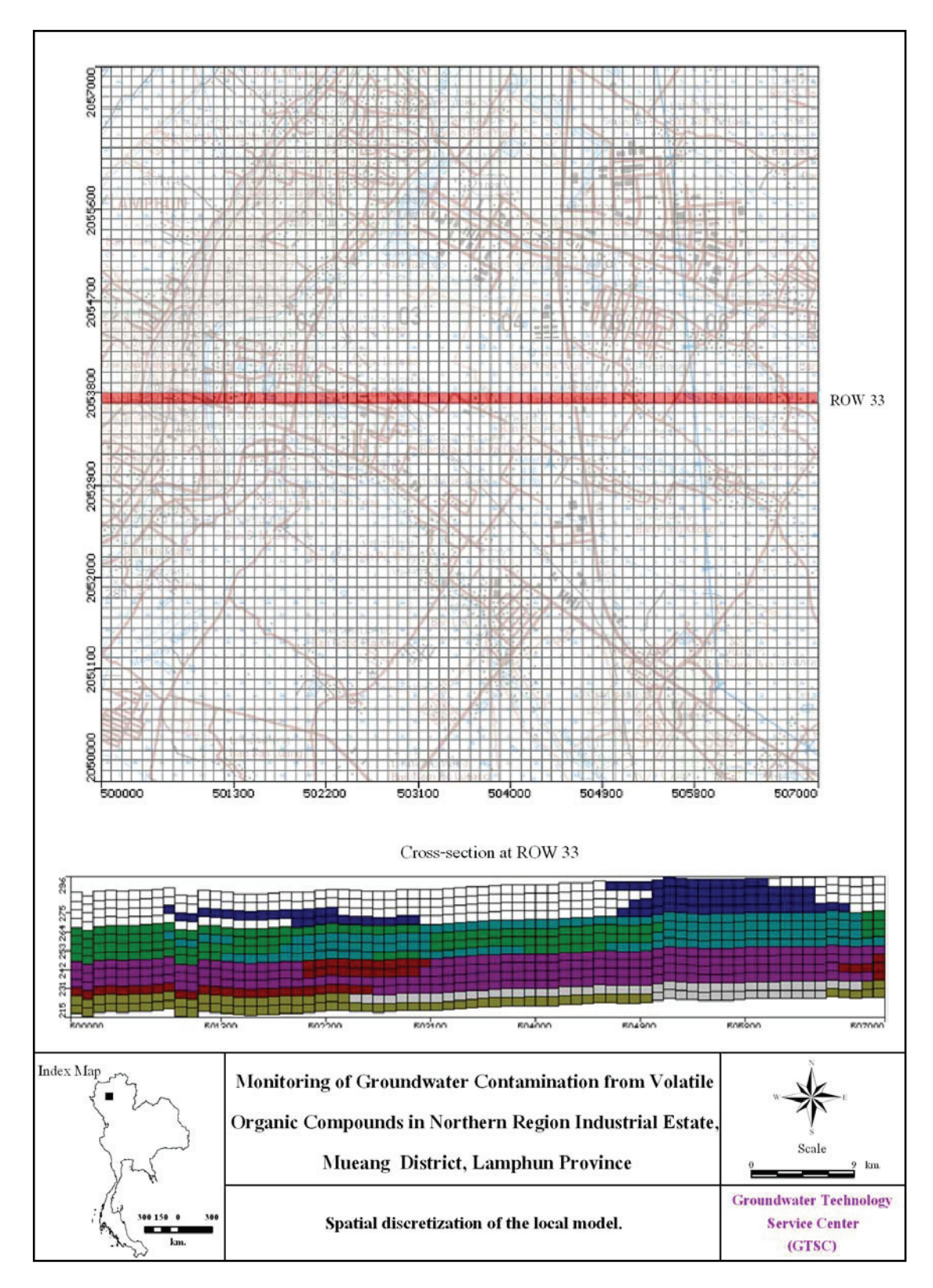


Figure 19 Spatial discretization of the local model.



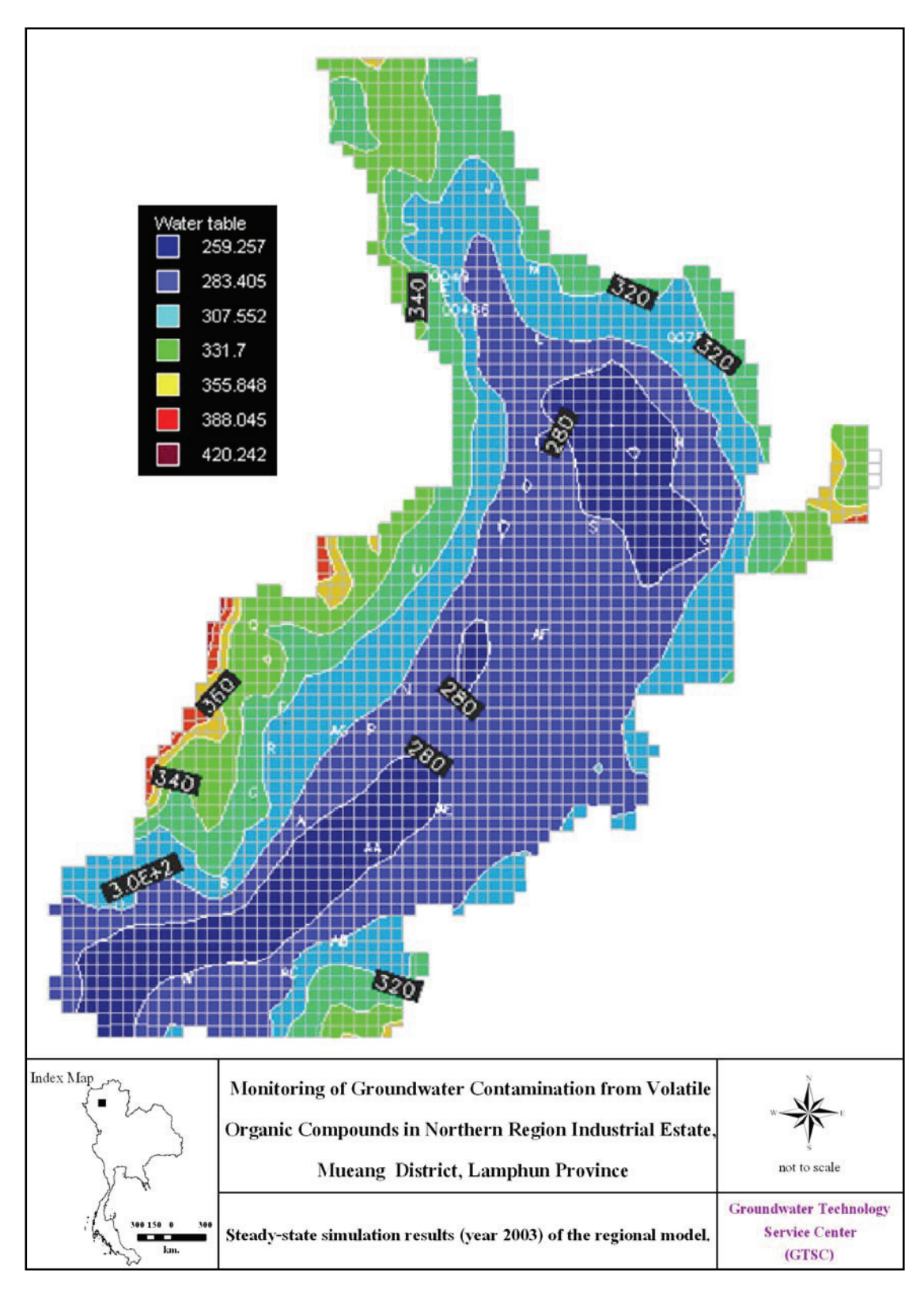


Figure 20 Steady-state simulation results (year 2003) of the regional model.



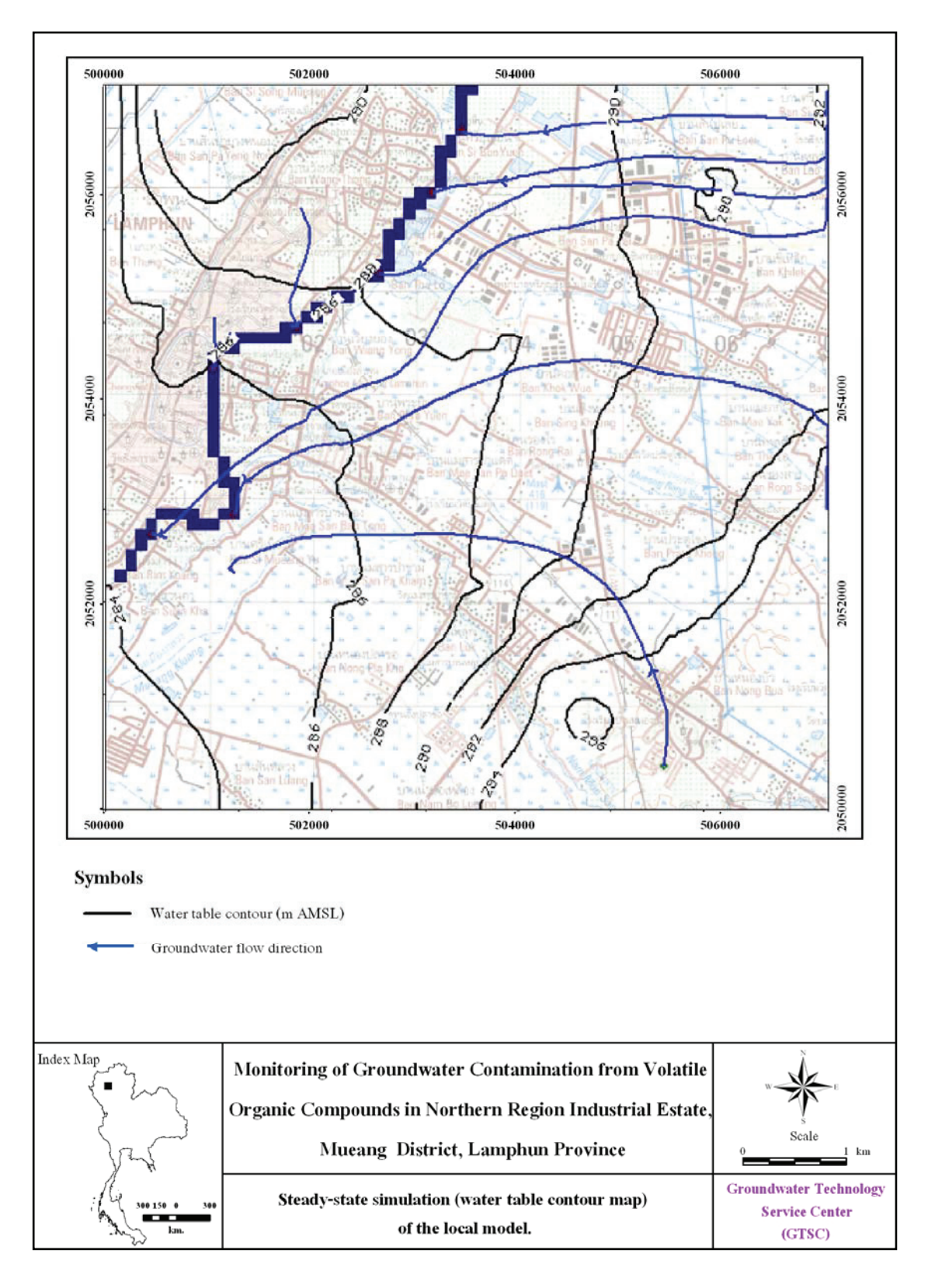


Figure 21 Steady-state simulation (water table contour map) of the local model.

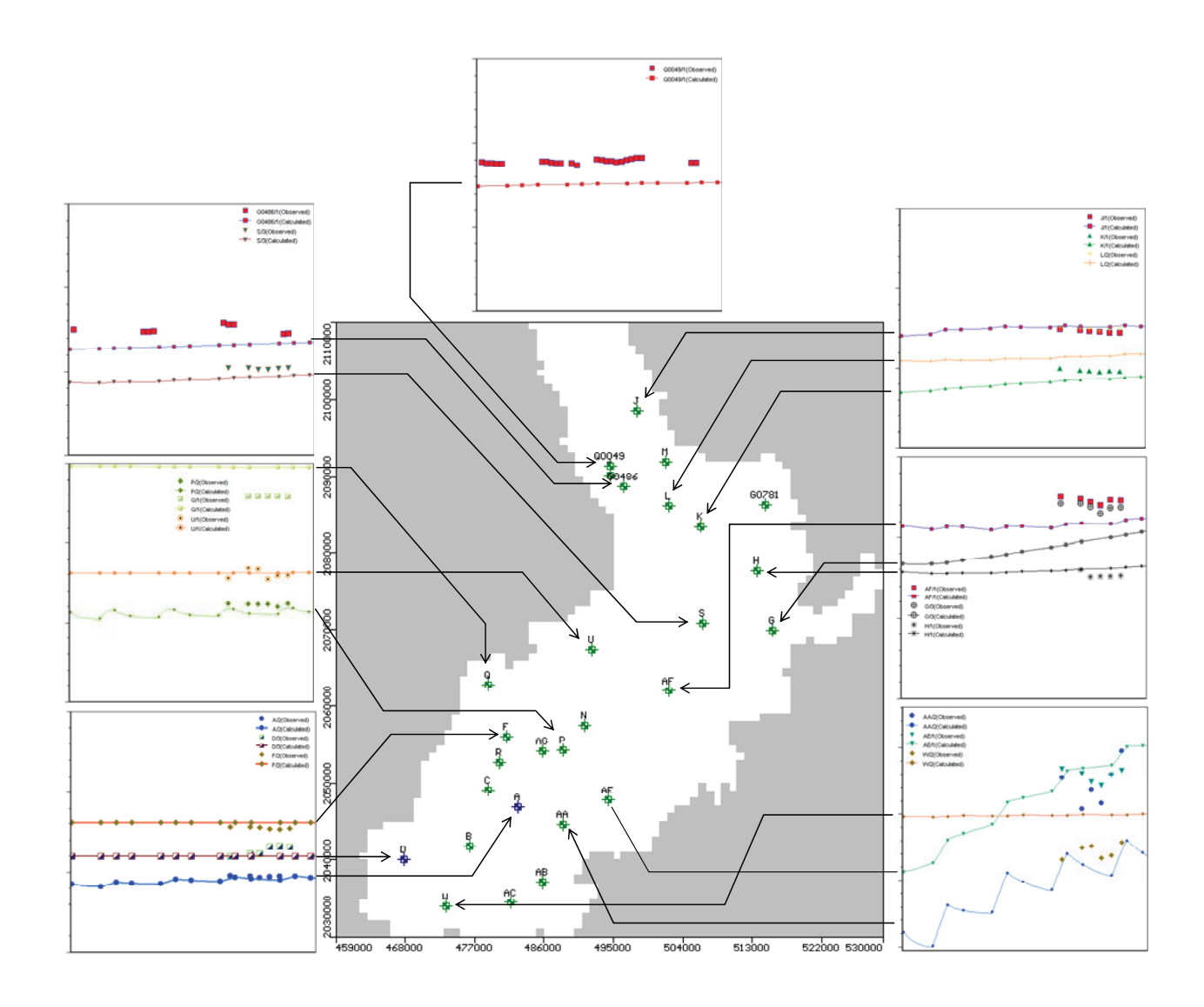


Figure 22 Transient flow model calibration results of the regional model.

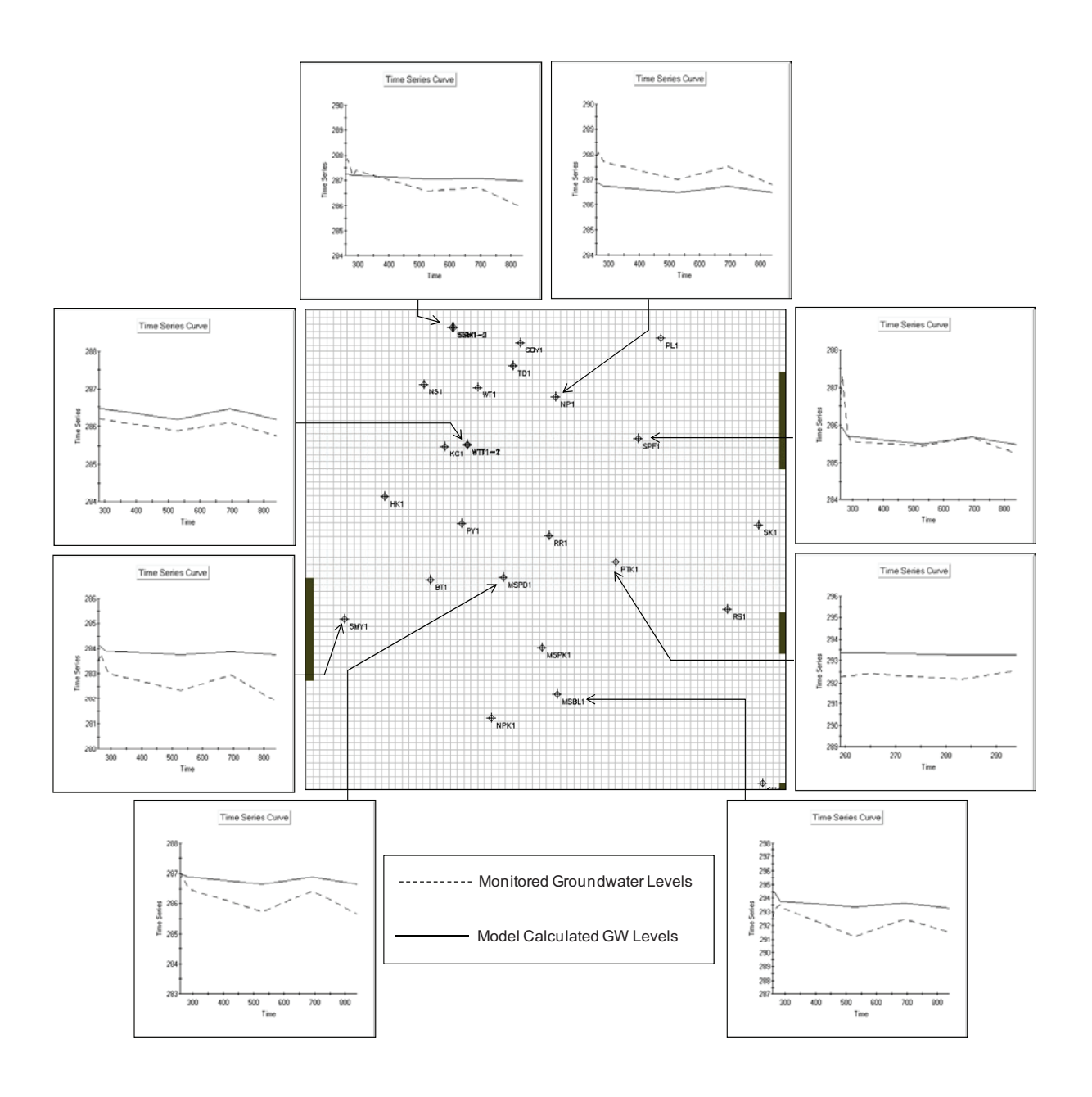


Figure 23 Transient flow model calibration of the local model.



#### 11. Solute transport model

The solute transport model for simulating fate and transport of the volatile organic compounds (VOCs) was set up using programs MODPATH<sup>®</sup> (Pollock, 1998) and RT3D<sup>®</sup> (Clement, 1997) which were already included in Visual MODFLOW<sup>®</sup> version 4.2. Both programs were finite-difference based numerical model. The simulation of solute transport model required the solutions from groundwater flow model (MODFLOW) which were groundwater velocities. The solute transport simulation was carried out in the local model only. First, a back-tracking simulation was conducted to trace the travel paths of contaminants and determined where they originated. Then, a forward simulation was performed to determine plume concentration and to assess the extent and damage of groundwater contamination.

Figure 24 showed possible sources of VOCs both inside and outside the NRIE. These locations were used as a source zone in the simulation of solute transport model. The resulting contaminant plume was shown in Figure 25. The volume of contaminated groundwater was then calculated from the model and it was found that 44.0 million cubic meters of groundwater was contaminated at concentration higher than  $1.0 \,\mu\text{g/L}$ .

#### 12. Conclusions and Recommendations

The VOCs contaminant plume was shown in Figure 25, as a result from the simulation of solute transport model. At present, the volume of contaminated groundwater with VOCs concentration higher than 1.0  $\mu$ g/L, was 44.0 million cubic meters.

Although the VOCs concentration found in both shallow and deep groundwaters in the study area were not exceed the groundwater standard, some VOCs concentration is obviously high. These include 1,1-dichloroethylene; 1,2-dichloroethane; benzene; trichloethylene; toluene; 1,1,2-trichloroethane; tetrachloroethylene and o-xylene.

This result implied that groundwater contamination (at depth between 0-50 meters) in the study area was of anthropogenic origin. It was speculated that there would be significant impacts on public health and groundwater resource in the area. Remedial measures both short and long term action plans were proposed.

Monitoring of groundwater contamination both in shallow and deep wells were recommended. Legislative measure should also take into consideration.

Figure 24 Possible sources of VOCs inside and outside NRIE.

Possible sources of VOCs inside and outside NRIE.



Groundwater Technology Service Center

(GTSC)

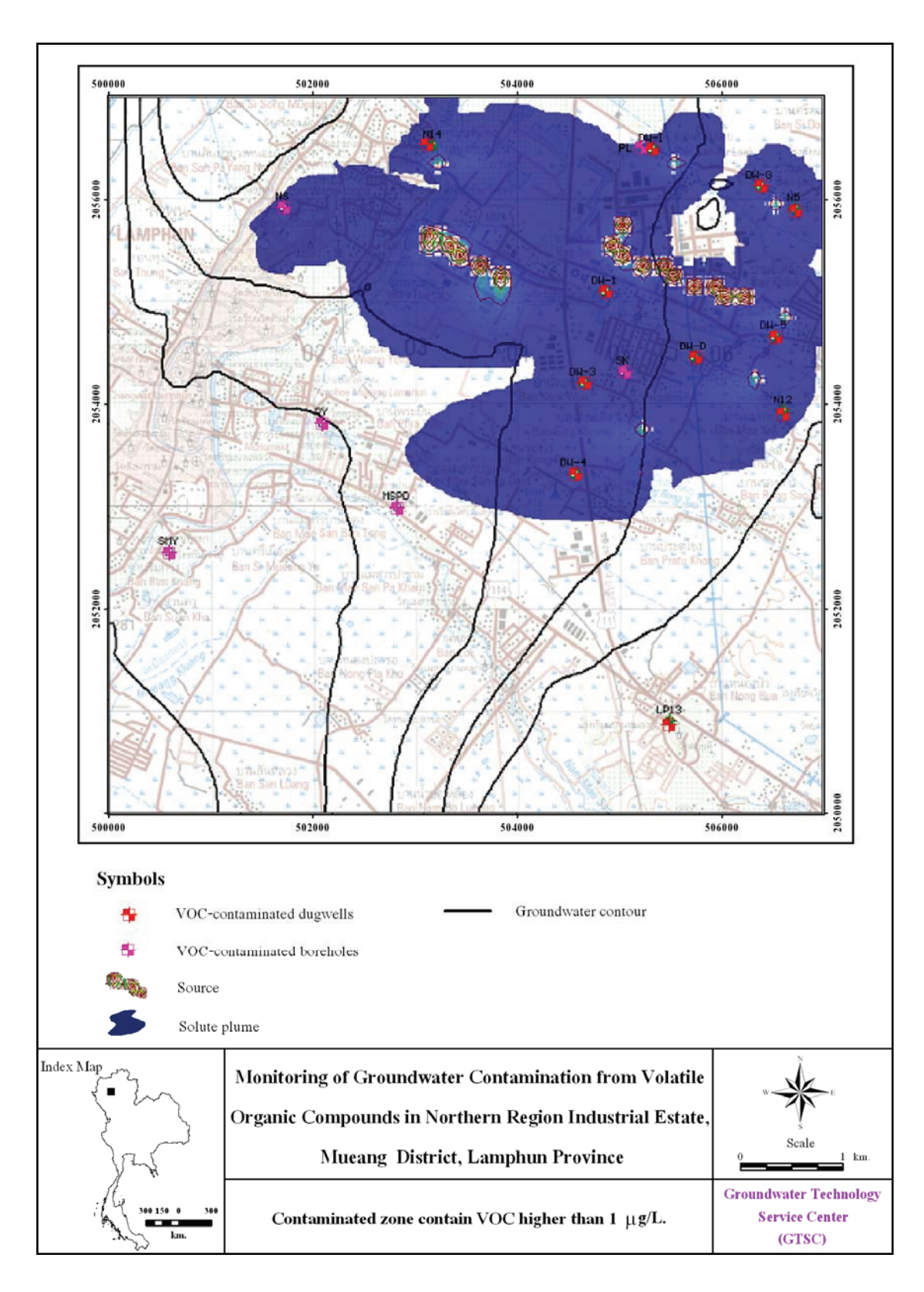


Figure 25 Contaminated zone contain VOC higher than 1  $\mu g/L$ .